

უაკ 534.14

62-752

პ. წულაია, ნ. წულაია

მექანიკური რხევების თეორია

და

ვიბრაციული მანქანები

თბილისი

2010

განხილულია რხევების ის ძირითადი სახეები, რომლებიც გხვდება მექანიკურ რხევით სისტემებში ერთი და ორი თავისუფლების ხარისხით, ასევე განაწილებული პარამეტრებით.

მოყვანილია წრფივი და არაწრფივი მექანიკური რხევითი სისტემების მახასიათებელი პარამეტრების გაანგარიშების მეთოდები.

მოცემულია ისეთი ვიბრაციული მანქანების გაანგარიშებისა და დაგეგმარების საფუძლები, რომლებიც გამოიყენება მრეწველობისა და ტექნიკის მრავალ დარგში.

გარკვეული ტიპის ვიბრაციული მანქანების საგესპლუატაციო პარამეტრების მისაღებად მოცემულია ანგარიშის საინჟინრო მეთოდები.

განკუთვნილია უმაღლესი ტექნიკური სასწავლებლის ბაკალავრიატისა და მაგისტრატურის სტუდენტებისათვის, ასევე ინჟინერ-ტექნიკური მუშაკებისათვის, რომლებსაც შეხება აქვთ ვიბრაციული სისტემების გაანგარიშებასა და დაპროექტებასთან.

ISBN 978-9941-0-2235-7

## შესავალი

მრეწველობის მრავალ დარგში მექანიზაციისა და ავტომატიზაციის დანერგვა, წარმოებაში ახალი ტექნოლოგიური პროცესების შემოტანა, სახალხო მეურნეობის ცალკეული დარგების მუდმივი განვითარება, მოითხოვს ახალი მაღალეფებური მანქანების შექმნას. ამ მიზნის მიღწევაში მნიშვნელოვანი ადგილი უჭირავს ვიბრაციულ ტექნიკას.

მრეწველობაში ვიბრაციული მანქანების გამოყენებას გააჩნია დაახლოებით ერთნახევარი საუკუნის ისტორია. თავდაპირველად ისინი გამოიყენებოდნენ ფხვიერი მასალების დასაცალკევებლად ნაწილაკების სიდიდის მიხედვით და მხოლოდ მას შემდეგ რაც აღმოჩენილი იქნა გარკვეულ პირობებში მასალის გადაადგილება ვიბრირებად ზედაპირზე დაიწყო ვიბრაციულ-სატრანსპორტო და სატრანსპორტო-ტექნოლოგიური მანქანების შექმნა.

მრავალფეროვანი მოდიფიკაციის სრულყოფილი ვიბრაციული ამძრავების დამუშავებამ კი განაპირობა ვიბრაციული ტექნიკის როგორც დარგის ჩამოყალიბება და მისი ფართო მასშტაბით გამოყენება მრეწველობის ისეთ დარგებში, როგორიცაა მანქანათმშენებლობა, მეტალურგია, ქიმია, სამთო გამამდიდრებელი წარმოება, მშენებლობა, სოფლის მეურნეობა, მედიცინა და სხვა.

ვიბრაციულ-ტექნოლოგიური პროცესები გამოირჩევიან თავიანთი მრავალფეროვნებით და ერთმანეთისაგან განსხვა-

ვდებიან საპირისპირო შედეგებითაც კი. ვიბრაციის გამოყენებით შესაძლებელია მასალების დახარისხება ფრაქციებად და, პირიქით, შეიძლება სხვადასხვა ინგრედიენტების შერევა. ასევე შესაძლებელია მასალების შემჭიდროება ან მათი გაფხვიერება, მყარი სხეულის დანაწევრება ან ცალკეული ნაწილაკების ერთ მთლიან სხეულად შეკვრა.

მრეწველობაში ვიბრაციული ტექნიკის დანერგვა ხელს უწყობს ტექნოლოგიური პროცესების ინგენიორიკაციას, ზრდის ეკონომიკურ ეფექტურობას და ამსუბუქებს ამ პროცესების ავტომატიზაციას. გარდა ამისა ქმნის ხელსაყრელ პირობებს გაზირებული და დამტკერიანებული მასალების გადაადგილებისას, ამარტივებს ჩატვირთვა გადმოტვირთვის ოპერაციებს, საშუალებას იძლევა ერთმანეთს შევუთავსოთ სხვადასხვა ტექნოლოგიური პროცესები და ა. შ.

ვიბრაციული მანქანების გამოყენების მაღალი ეფექტურობა განპირობებულია, როგორც მუშა პროცესის ხასიათით, რომელიც ხორციელდება მაღალი სიხშირის ცალკეული იმპულსებისა და შედარებით მცირე ამპლიტუდის ჯამური მოქმედების შედეგად, ასევე კონსტრუქციის სიმარტივით, მათი შენახვისა და რემონტის მცირე დანახარჯებით და ასევე მცირე ენერგომოხმარებით.

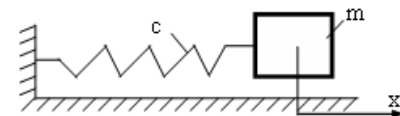
ვიბროტექნიკის განვითარება ხასიათდება, ერთის მხრივ, ფართო გამოყენების სხვადასხვა ვიბრაციული მანქანების შექმნით და მეორეს მხრივ, კონსტრუქციული გადაწყვეტილებების მრავალფეროვნებით, თითოეული ტიპისთვის.

ვიბრაციული მანქანების პრინციპული მოწყობის თავისებურება, ძირითადად, განისაზღვრება მასში გამოყენებული ვიბრაციული ამძრავის ტიპით. დღეისათვის შედარებით გავრცელებულს წარმოადგენენ ინერციული, ელექტრომაგნიტური, ექსცენტრული, პნევმატიკური და ჰიდრავლიკური ამძრავები.

## I. რხევითი სიტემების თეორიის საფუძვლები და გაანგარიშების მეთოდები

### §1. ერთი თავისუფლების ხარისხის მქონე ვიბრაციული სისტემების თავისუფალი რხევები

განვიხილოთ მარტივი მექანიკური რხევითი სისტემა ერთი თავისუფლების ხარისხით, რომელზეც არ მოქმედებს არც გარეშე იძულებითი ძალა და არც შინაგანი ხახუნის ძალები (ნახ.1.1). ასეთი სისტემები იმთლირებულნი არიან გარემო პირობებისაგან და იწოდებიან კონსერვაციულ სისტემებად. კონსერვაციულ სისტემებში მათი ნებისმიერი ხერხით წონასწორობის მდგომარეობიდან გამოყვანის შემდეგ ინერციის ძალები დროის ნებისმიერ მომენტში წონასწორდებიან დრეკალობის ძალებით და, შესაბამისად, ენერგიის მარაგი არის მუდმივი. თვით სისტემის მოძრაობები კი წარმოადგენენ თავისუფალ რხევებს.



ნახ.1.1

იმისათვის რომ მათემატიკურად აღვწერთ თავისუფალი რხევები, ვიყენებთ ლაგრანჯის მეთოდების გვარის განტოლებას, რომელსაც აქვთ შემდეგი სახე:

$$\frac{d}{dt} \left( \frac{\partial T}{\partial \dot{q}} \right) + \frac{\partial \Pi}{\partial q} = Q_*,$$

სადაც  $T$  – არის სისტემის კინეტიკური ენერგია,  $\Pi$  - სისტემის პოტენციური ენერგია,  $Q$  – სისტემაზე მოქმედი განჩოგადებული ძალა, ხოლო  $q$  - განჩოგადებული კოორდინატა.

ამ განტოლებაში შემავალ კინეტიკური და პოტენციური ენერგიების გამოსახულებებს განსახილევთ სისტემისათვის, როდესაც სისტემა არის წრფივი და ვიზილავთ მცირე რხევებს, აქვთ შემდეგი სახე:

$$T = \frac{1}{2} m x^2; \quad \Pi = \frac{1}{2} cx^2, \quad (1.1)$$

სადაც  $m$  - სისტემის მასაა გამოკლებით,  $c$  - სისტემის სიხისფეა,  $x$  - სისტემის გადადგილებაა, რომელიც ამ შემთხვევაში შე- ქაბამება განჩოგადებულ კოორდინატას,  $x$  - სისტემის მოძრაობის სიჩქარეა.

ვიპოვოთ კერძო წარმოებულები

$$\frac{\partial T}{\partial x} = mx; \quad \frac{d}{dt}(mx) = mx; \quad \frac{\partial \Pi}{\partial x} = cx.$$

რომელთა ჩასმით დაგრანჯის განტოლება მიიღებს შემდეგ სა- ხეს:

$$mx + cx = 0.$$

$$\text{ან} \quad x + p^2 x = 0, \quad (1.2)$$

სადაც  $p^2 = c/m$  მუდმივი სილიდეა და დამოკიდებულია სის- ტემის თვისებებზე.  $p$  - სისტემის საკუთარი წრიული სიხშირეა და იგი ტოლია :

$$p = \sqrt{\frac{c}{m}}. \quad (1.3)$$

1.2 განტოლება აღწერს განხილული სისტემის მოძრაობას დროის ნებისმიერ მომენტში. ამ განტოლებაზე დაიყვანება მრავალი ამოცანები რხევებზე, რომლებიც გარეგნულად სრულიად არ ჰგავს გან- ხილულ სისტემას.

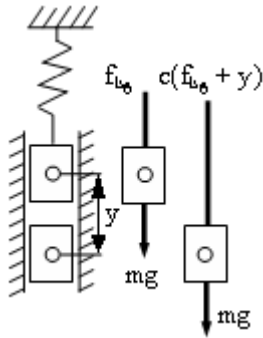
ცხადია, იგივე განტოლება აღვილად გამოიყვანება ე.წ. დალამბერის პრინციპით, რომელიც საშუალებას იძლევა, დინამიკური ამოცანა გადავწყვიტოთ სტატიკური ხერხით. ეს პრინციპი მდგომარეობს შემდეგში. თუ მექანიკურ სისტემას მოვდებთ ინერციის ძალებს, მაშინ ინერციის ძალები გაწონასწორდებიან სისტემაზე მოქმედი გარეშე ძალებით და შესაბამისი კავშირების რეაქციებით. მთლიანად სისტემა კი შეიძლება განვიხილოთ სტატიკურ წონასწორობაში.

ამის საილუსტრაციოდ და იმის გამოსარიცხად, რომ სისტემის საკუთარი სიხშირე არაა დამოკიდებული გამბარის სივრცეში ორიენტაციაზე, განვიხილოთ სისტემა, როდესაც გამბარა დაკიდებულია ვერტიკალურად (იხ. ნახ.1.2). ამ მდგომარეობაში ტვირთზე მოქმედებს მისი წონა  $mg$  და გამბარის რეაქცია  $cf_{\theta}$  ( $f_{\theta}$  - გამბარის სტატიკური წაგრძელებაა, რომელიც შეესაბამება ტვირთის  $mg$  წონას). ტვირთის წონასწორობის პირობას აქვს შემდეგი სახე:

$$mg - cf_{\theta} = 0,$$

ანუ

$$cf_{\theta} = mg. \quad (1.4)$$



ნახ. 1.2

თუ წონასწორობის მდგომარეობა დარღვეულია და ტვირთი მოძრაობს, დროის მყისიერ მომენტი ტვირთზე მოქმედებს  $mg$  წონის ძალა და გამბარის რეაქციის  $c(f_{b_0} + y)$  ძალა, სადაც  $y$  არის ტვირთის გადახრა წონასწორობის მდგომარეობიდან. მოძრაობის დიფერენციალურ განტოლებას კი ექნება შემდეგი სახე:

$$-c(f_{b_0} + y) + mg = my \quad (1.5)$$

1.4 პირობის გათვალისწინებით 1.5 განტოლება მიიღებს 1.2 განტოლების ანალოგიურ სახეს. სახელდობრ:

$$y + p^2 y = 0. \quad (1.6)$$

1.4 პირობის გათვალისწინებით საკუთარი სიხშირის გამოსათვლელ ფორმულას შეიძლება მივცეთ კიდევ სხვა სახე. კერძოდ, თუ განვსამდერავთ  $c$  სიხისგეს და ჩავსვამთ მას 1.3 - ში მივიღებთ:

$$p = g / f_{b_0} \quad (1.7)$$

1.2 განტოლება (ასვე 1.6-ც) შეიძლება დაკმაყოფილდეს თუ მივიღებთ, რომ  $x = C_1 \cos pt$  ან  $x = C_2 \sin pt$ , სადაც  $C_1$  და  $C_2$  ნებისმიერი

მუდმივებია. შესაბამისად 1.2 - ის განტოლება ამოხსნა მიიღება ამ ორი გადადგილების შეჯამებით, ანუ

$$x = C_1 \cos pt + C_2 \sin pt \quad (1.8)$$

როგორც 1.8 ამონახსნიდან ჩანს მასის მოძრაობის აქცერევითი ხასიათი, რადგან  $\cos pt$  და  $\sin pt$  პერიოდული ფუნქციებია დროში. 1.8 განტოლებით წარმოდგენილ რხევით მოძრაობას ჰარმონიული მოძრაობა ეწოდება.

$C_1$  და  $C_2$  მუდმივების საპოვნელად საჭიროა განვიხილოთ მოძრაობის საწყისი პირობები. ამისათვის დაგუშვათ, რომ დროის საწყის მომენტში ( $t = 0$ ) მასას გააჩნია  $x_0$  გადადგილება წონასწორობის მდგომარეობიდან და ამავე დროს მისი სიჩქარე არის  $x_0$ . თუ 1.8 განტოლებაში ჩავსვამთ  $t = 0$ , მივიღებთ:

$$x_0 = C_1.$$

გავაწარმოთ 1.8 განტოლება დროის მიხედვით და მასშიც ჩავსვათ  $t = 0$ , მაშინ მივიღებთ:

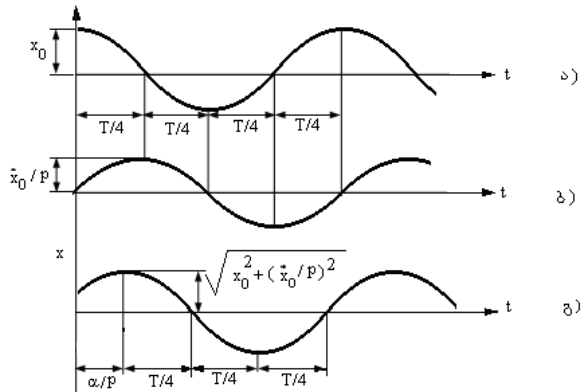
$$\frac{x_0}{p} = C_2.$$

თუ  $C_1$  და  $C_2$  მუდმივების განსაზღვრულ მნიშვნელობებს ჩავსვამთ საწყის 1.8 განტოლებაში, მივიღებთ:

$$x = x_0 \cos pt + \frac{x_0}{p} \sin pt. \quad (1.9)$$

როგორც 1.9 ფოლობიდან ჩანს მასის რხევა შედგება ორი ნაწილისაგან: რხევისაგან, რომელიც პროპორციულია  $\cos pt$  და დამოკიდებულია მასის საწყის  $x_0$  გადადგილებაზე და რხევისაგან,

რომელიც პროპორციულია  $\sin pt$  და დამოკიდებულია საწყისი  $x_0$  სიჩქარეზე. თითოეული აღნიშნული ნაწილებიდან შეიძლება წარმოვადგინოთ გრაფიკები (ნახ. 3 ა და ბ). რხევადი მასის სრული გადაადგილება  $x$  დროის ნებისმიერ მომენტში მიიღება ამ თრი მრუდის ორდინატების შეჯამებით დროის ერთიდაიგივე მომენტისათვის. რის შედეგად მიიღება ჯამური მრუდი, ნაჩვენები ნახ. 1.3 გ-ბე.



ნახ. 1.3

მასის მოძრაობის 1.8 განტოლება შეიძლება ჩაგრძეროთ კიდევ სხვა ტოლობის სახითაც. ამისათვის შემოვიდოთ აღნიშნები:  $C_1 = A \sin \alpha$  და  $C_2 = A \cos \alpha$ . თუ მათ ჩავსვამო 1.8 ტოლობაში შესაბამისად მივიღებთ:

$$x = A \sin(pt + \alpha), \quad (1.10)$$

სადაც

$$A = \sqrt{C_1^2 + C_2^2} \quad (1.11)$$

$$\tan \alpha = \frac{C_1}{C_2}.$$

1.10 ტოლობისათვის ამ თრ უკანასკნელ გამოსახულების ექნება შემდეგი სახე:

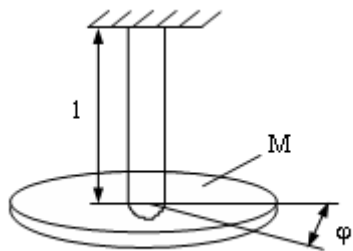
$$A = \sqrt{x_0^2 + \left(\frac{x}{p}\right)^2}, \quad \alpha = \arctg \frac{px_0}{x_0}. \quad (1.12)$$

1.12 ტოლობებში  $A$  არის რხევის მაქსიმალური ამპლიტუდა, ხოლო  $\alpha$  - საწყისი ფაზა და ისინი განისაზღვრებიან საწყისი პირობებით.

ხოლო სისტემის წრიული საკუთარი სიხშირე  $p = \sqrt{\frac{c}{m}}$  და რხევის პერიოდი  $T = \frac{2\pi}{p} = 2\pi \sqrt{\frac{m}{c}}$  საწყისი პირობებისაგან დამოკიდებული არ არიან.

მექანიკურ რხევით სისტემებში გარდა გრძივი რხევებისა ხშირად გხვდება ე.წ. გრეხვითი რხევები. მოძრაობის აღმწერი დოფერულცალური განტოლებები გრეხვითი რხევების შემთხვევაშიც ანალოგიურია გრძივი რხევების განტოლებებისა. ამის საილუსტრიოდ განვიხილოთ ასევე კონსერვატიული სისტემა ერთი თავისუფლების ხარისხით. 1 სიგრძის ვერტიკალურ ლილებები დამაგრებულია  $M$  მასის მრგვალი ჰორიზონტალური დისკი (ნახ. 1.4). თუ დისკის სიბრტყეში მოვდებთ მგრეხავ მომენტს, ხოლო შემდგომ სწრაფად მოვხსნით მას, ალიძვრება გრეხვითი რხევები. დისკის მდებარება დროის ნებისმიერ მომენტში შეიძლება განისაზღვროს მისი მობრუნების ფ კუთხით. ლილების სიხისტე გრეხვაზე ტოლია:

$$c = \frac{GJ}{l}, \quad (1.13)$$



ნახ. 1.4

სადაც  $G$  - ძვრის მოდულია (მჳა), ხოლო  $J$  - ლილვის განივევეთის ინერციის მომენტია ( $\text{სმ}^4$ ). კინეტიკური და პოტენციური ენერგიების განცოლებებს მოცემული შემთხვევისთვის ექნებათ შემდეგი სახე:

$$T = \frac{1}{2}Mr^2\varphi^2; \quad \Pi = \frac{1}{2}c\varphi^2, \quad 1.14$$

სადაც  $T$  - ლილვის ღერძის მიმართ ინერციის რადიუსია.

ლაგრანჯის განცოლებაში 1.14 ფოლობების ჩასმით და იმის გათვალისწინებით, რომ განზოგადებულ კოორდინატას ამ შემთხვევაში წარმოადგენს მობრუნების კუთხე  $\varphi$ , მივიღებთ 1.2 - ის ანალოგიურ დიფერენციალურ განცოლებას გრეხვითი რხევებისათვის:

$$Mr^2\dot{\varphi} + c\varphi = 0,$$

ან

$$\ddot{\varphi} + p^2\varphi = 0, \quad 1.15$$

სადაც  $p$  - გრეხვითი რხევების წრიული სიხშრეა და უდრის:

$$p = \sqrt{\frac{c}{Mr^2}}. \quad 1.16$$

## §2. ვიბრაციულ სისტემებში თავისუფალი რხევების ჩაქრობა წინააღმდეგობის ძალების მოქმედების დროს

ვიბრაციულ მანქანას მუშაობის დროს უხდება სხვადასხვა წინააღმდეგობათა დაძლევა. ამ წინააღმდეგობათა სიდიდითა და ხასიათით განისაზღვრება მნიშვნელოვანწილად ვიბრაციული მანქანების მუშა ორგანოთა მოძრაობების თავისებურებები და ამძრავის მიერ მოხმარებული ენერგიის სიმძლავე.

ვიბრაციული მანქანების მუშა ორგანოების რხევითი მოძრაობების ენერგია იხარჯება მუდმივი და სხვადასხვა ცვალებადი სახის წინააღმდეგობათა დაძლევაზე, რომლებიც აღიძვრებიან დასამუშავებელ გარემოსთან მათი ურთიერთქმედების, გადასაადგილებელ ტვირთზე კინეტიკური ენერგიების მინიჭების, გრუნტებისა და ქანების დამსხვრევის და სხვა სამუშაოთა შესრულების დროს. ადნიშნული ენერგიების საწარმოო დანახარჯების გარდა ვიბრაციული მანქანების ამძრავმა უნდა გადალახოს რიგი მაგნე წინააღმდეგობი. ასეთებია: ვიბროამძრავის ლილვების საკისრებსა და შემამჭიდროებლებში ხახუნის ძალები; ასევე ხახუნის ძალები კბილანურ მოდებებში; დანაკარგები ვიბროამძრავის ელექტრომაგნიტში გამოყენებულ ფოლადში; ვიბრატორის კორპუსში არსებული ზეთის მიერ გამოწვეული ბლანტი ხახუნი და ვიბრომანქანის დრეკად სისტემაში კონსტრუქციული და პისტერეზისული დანაკარგები.

ამრიგად, ვიბრაციული მანქანების მუშა ორგანოებში და მათ კონსტრუქციულ ელემენტებში ძირითადად მოქმედებენ წინააღმდეგობის შემდეგი ძალები: ბლანტი ხახუნი, მაგალითად ვიბროგიურზის ბეტონში ჩაღრმავების დროს; მუშა ორგანოს დასამუშავებელ გარემოსთან მუდმივად მოქმედი მშრალი ხახუნის ძალები; მოლეკულური ხახუნი დრეკად ელემენტებში და დარტყმითი წინააღმდეგობები, რომლებიც მოქმედებენ ვიბრაციულ ცხავებში და ვიბრაციულ-სატრანსპორტო დანადგარებში მუშა ორგანოს შეჯახებისას დასახარისხებელ მასალასთან ან გადასაადგილებელ ტვირთთან. მოქმედების ხასიათის მიხედვით ეს ძალები შესაძლებელია იყოს როგორც გარეშე ასევე შინაგანი.

ვიბრაციულ მანქანებში მოქმედი წინააღმდეგობის ძალების სიდიდესა და მოქმედების ხასიათს საკმაოდ მნიშვნელოვნი გავლენა აქვთ ამ მანქანების მუშაობის რეჟიმზე. წინააღმდეგობის ძალების სიდიდეზეა დამოკიდებული, როგორც ამძრავის ენერგიის ხარჯვა, ასევე ვიბრომანქანის მდგრადი მუშაობა.

ვიბრაციული მანქანების მუშა რეჟიმების ანალიზური გამოკლევისას წინააღმდეგობის ძალების შედარებით მარტივად წარმოდგენას ექვემდებარება ისეთი წინააღმდეგობის ძალები, რომლებიც პროპორციულია მოძრაობის სიჩქარის. ვიბრაციული მანქანების გაანგარიშება, რომლებშიც მოქმედებენ სხვა სახის წინააღმდეგობის ძალები, უმრავლეს შემთხვევაში საკმაოდ რთულდება. სირთულე დაკავშირებულია იმასთან, რომ მშრალი ხახუნის დროს, ასევე მასალებში პისტერეზისული დანაკარგებისა და დარტყმითი წინააღმდეგობისას, ცხადი

სახით ანალიზური გამოსახულებების მიღება შეუძლებელი ხდება. ამის გამო, ანგარიშების გამარტივების მიზნით იყვნებენ მიახლოებით მეთოდს, როდესაც სისტემაში მოქმედი წინააღმდეგობის ძალები იცვლება ექვივალენტური სიდიდის წინააღმდეგობის ძალებით, რომლებიც პროპორციულია მოძრაობის სიჩქარის.

წინა პარაგრაფში განვიხილეთ ისეთი რხევითი სისტემები, რომლებშიც მოქმედებლენჯ მხოლოდ დრეკადი წინააღმდეგობის ძალები. ასეთი სისტემები იწოდებიან იდეალურ სისტემებად. რეალურად, ნებისმიერ მექანიკურ სისტემაში, და როგორც ბემოთ ავლიშნეთ არა მარტო მასში, ყოველთვის მოქმედებს სხვადასხვა ფორმის წინააღმდეგობის ძალები ხახუნის ძალების სახით. განვიხილოთ ეს ძალები ბლანტი ხახუნის სახით.

ერთი თავისუფლების ხარისხის მქონე სისტემის თავისუფალი რხევების შესასწავლად, როდესაც სისტემაში გვაქს ბლანტი ხახუნი, გამოვიყენოთ ლაგრანჯის განტოლება:

$$\frac{d}{dt} \left( \frac{\partial T}{\partial q} \right) + \frac{\partial I}{\partial q} = Q_*, \quad 2.1$$

სადაც  $Q_*$  ამ შემთხვევაში არის ბლანტი ხახუნის განმოგადებული ძალა. როგორც მიღებულია, ბლანტი ხახუნის ძალა პროპორციულია მოძრაობის სიჩქარის, ანუ:

$$R = kV \quad 2.2$$

სადაც  $V$  - მოძრაობის სიჩქარეა, ხოლო  $k$  - ხახუნის კოეფიციენტი.

თუ გამოვიყენებთ განმოგადებული ძალის ძირითად გამოსახულებას და მასში შევიტანოთ 2.2 ტოლობას, მარტივი მათემატიკური

გარდაქმნებით, რომელიც ახლა არ მოგვავს, მივიღებთ ე.წ. რელეს დისიპატიურ ფუნქციას, რომელსაც აქვს შემდეგი სახე:

$$\Phi = \frac{1}{2} h q^2, \quad 2.3$$

სადაც  $h$  - სიბლანტის დაყვანილი კოეფიციენტია.

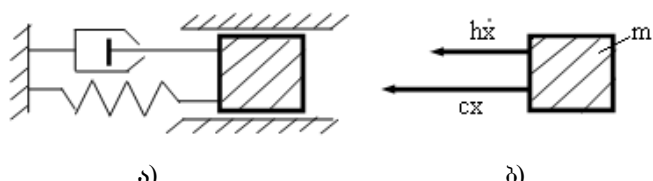
საბოლოო განმოგადებული ძალა, 2.3 განტოლების გათვალისწინებით მიიღებს სახეს:

$$Q_* = -\frac{\partial \Phi}{\partial q} = -hq. \quad 2.4$$

რადგან წინანდებურად  $T = \frac{1}{2} m q^2$ ,  $\Pi = \frac{1}{2} c q^2$ , სადაც  $q$  განმოგადებული კოორდინატა შეესაბამება  $x$  გადაადგილებას, 2.1 განტოლებაში ყველა განსაზღვრული სიდიდის ჩასმით მივიღებთ:

$$mx + hx + cx = 0. \quad 2.5$$

2.5 განტოლება მიიღება უფრო მარტივი ხერხითაც, დალამბერის პრინციპის გამოყენებით. ამისათვის განვიხილოთ ნახ. 2.1 - გამოსახული სქემა.



ნახ. 2.1

ნახ. 2.1 ბ - გამოსახული მასის წონასწორობის პირობას ექნება შემდეგი სახე:

$$-cx - hx = mx. \quad 2.6$$

საიდანაც მიიღება იგივე 2.5 განტოლება. აღნიშნოთ  $h/m = 2n$  და  $c/m = p^2$ , რის შედეგად მივიღებთ საბოლოოდ მასის მოძრაობის დოფერულებრივი განტოლებას:

$$x + 2nx + p^2 x = 0. \quad 2.7$$

2.7 განტოლების ამოქსნისათვის ვისარგებლოთ მუდმივეორეფიუნგებიანი წრფივი დოფერულებრივი განტოლებების ამოქსნის ჩვეულებრივი მეთოდით. ამისათვის მივიღოთ, რომ განტოლების ამონაბსნს აქვს შემდეგი სახე:

$$x = e^{st}, \quad 2.8$$

სადაც  $e$  - ნატურალური ლოგარითმის ფუძეა,  $t$  - დროა,  $s$  - მუდმივია, რომელიც უნდა განისაზღოოს იმ პირობით, რომ 2.8 ტოლობა დააქმნოფილებს 2.7 განტოლებას.

2.8 - ს ჩასმით 2.7 განტოლებაში მივიღებთ მახასიათებელ განტოლებას:

$$s^2 + 2ns + p^2 = 0,$$

რომლის ფესვები უდრის:

$$s = -n \pm \sqrt{n^2 - p^2} = -n \pm i\sqrt{p^2 - n^2}, \quad 2.9$$

სადაც  $i = \sqrt{-1}$ .

ჯერ განვიხილოთ შემთხვევა, როდესაც ბლანტ წინააღმდეგობაზე დამოკიდებული სიდიდე  $n^2$  ნაკლებია  $p^2$ - ის სიდიდეზე. ასეთ შემთხვევაში:

$$p' = \sqrt{p^2 - n^2}, \quad 2.10$$

დადებითი სიდიდეა და  $s$  - სათვის გვექნება ორი კომპლექსური ფესვი:

$$s_1 = -n + p'i \quad \text{და} \quad s_2 = -n - p'i.$$

მიღებული ფესვების ჩასმით 2.8 ტოლობაში მოვტებნით 2.7 განტოლების ორ კერძო ამონახსნს. ამ ორი ამონახსნის ჯამი ან სხვაობა, გამრავლებული ნებისმიერ მუდმივზე, ასევე იქნება ამონახსნი. ამრიგად, ამონახსნებს ექნებათ შემდეგი სახე:

$$\begin{aligned} x_1 &= \frac{C_1}{2} (e^{s_1 t} + e^{s_2 t}) = C_1 e^{-nt} \cos p't, \\ x_2 &= \frac{C_2}{2} (e^{s_1 t} - e^{s_2 t}) = C_2 e^{-nt} \sin p't. \end{aligned}$$

თუ ორ უკანასკნელ ტოლობებს შევკრებთ, მივიღებთ 2.7 განტოლების გრადუალური ამონახსნს, ანუ:

$$x = (C_1 \cos p't + C_2 \sin p't), \quad 2.11$$

ან კიდევ, წინა შემთხვევის ანალოგიურად

$$x = A e^{-nt} \sin(p't + \alpha), \quad 2.12$$

სადაც:

$$A = \sqrt{C_1^2 + C_2^2}, \quad \operatorname{tg} \alpha = \frac{C_1}{C_2}.$$

2.11 ამონახსნში  $e^{-nt}$  გამრავლი დროში თანდათან მიიღება და დასაწყისში აღმრული რჩევებიც თანდათანობით ჩაქრება.

$C_1$  და  $C_2$  მუდმივების საპონელად 2.11 ტოლობაში დაგუშვათ, რომ  $t = 0$  დროის მომენტში რჩევადი სხვული გადახრილია მისი

წონასწორობის მდებარეობიდან  $x_0$  მანძილზე და გააჩნია  $x_0$  სიჩქარე. 2.11 განტოლებაში  $t = 0$  - ის ჩასმით მივიღებთ:

$$C_1 = x_0.$$

იგივე გამოსახულების დროში გაწარმოებით და  $x_0$  - თან მისი გაფოლებით  $t = 0$  დროს, მივიღებთ:

$$C_2 = \frac{x_0 + nx_0}{p'}$$

$C_1$  და  $C_2$  განსაზღვრულ მნიშვნელობებს თუ ჩავსამთ 2.11 განტოლებაში, მივიღებთ:

$$x = e^{-nt} \left( x_0 \cos p't + \frac{x_0 + nx_0}{p'} \sin p't \right). \quad 2.13$$

საბოლოო 2.11 განტოლების გრადუალური ამონახსნი 2.10 ტოლობის გათვალისწინებით მიიღებს შემდეგ სახეს:

$$x = e^{-nt} \left( x_0 \cos \sqrt{p^2 - n^2}t + \frac{x_0 + nx_0}{\sqrt{p^2 - n^2}} \sin \sqrt{p^2 - n^2}t \right). \quad 2.14$$

სხვა ფორმით კი გრადუალური ამონახსნის გქნება შემდეგი სახე:

$$x = A e^{-nt} \sin(\sqrt{p^2 - n^2}t + \alpha), \quad 2.15$$

სადაც:

$$A = \sqrt{x_0^2 + \frac{(x_0 + nx_0)^2}{p^2 - n^2}}; \quad \alpha = \operatorname{arctg} \frac{x_0 \sqrt{p^2 - n^2}}{x_0 + nx_0}.$$

როგორც 2.14 - დან (ასევე 2.15 - დანაც) ჩანს, რომ სისტემის საწყისი პირობებით მინიჭებული რჩევები გარკვეული დროის შემდეგ მიიღევიან მათში  $e^{-nt}$  წევრის არსებობის გამო.

გადადგილებების ორი თანმიმდევრული პიკერი მნიშვნელობების შეფარდება (ტერმინი “რხევის ამპლიტუდა” ამ შემთხვევაში არ შეიძლება იქნას გამოყენებული, რადგან იგი არ ასახავს ამპლიტუდის ცნებას), მუდმივია მთელი მიღევის პერიოდის განმავლობაში და უდრის:

$$\frac{A_1}{A_2} = \frac{A_2}{A_3} = \dots = \frac{A_j}{A_{j+1}} = \dots e^{nt},$$

ანუ პიკერი მნიშვნელობების თანმიმდევრობა შეადგენს გეომეტრიულ პროგრესიას. შესაბამისად, თუ გაგალოგარითმებით წინა ტოლობებს,  $j$  - ს ნებისმიერი მნიშვნელობისთვის სამართლიანი იქნება შემდეგი ტოლობა:

$$\delta = nT = \ln \frac{A_j}{A_{j+1}}. \quad 2.16$$

$\delta$  - ს რხევების ლოგარითმული დეკრემენტი ეწოდება, ან შემოკლებით ლოგარითმული დეკრემენტი და ხშირად გამოყენება რხევად სისტემებში მათი დისიპაციური თვისებების დამახასიათებელ სიდიდედ.

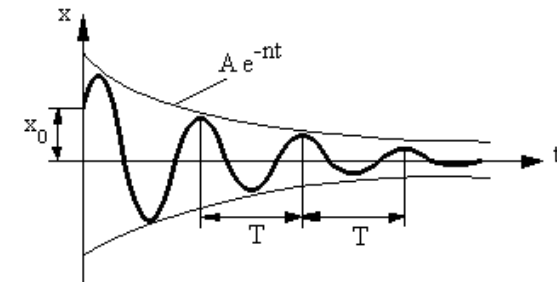
მასის რხევების მიღევის გრაფიკი ნახ. 2.2 - ზე. იქვეა სათანადო აღნიშვნებიც.

მიღევადი რხევის პერიოდი  $T$  კი უდრის:

$$T = \frac{2\pi}{p'} = \frac{2\pi}{\sqrt{p^2 - n^2}}. \quad 2.17$$

დავამყაროთ დამოკიდებულება  $p'$  - მიღევის წრიულ სიხშირეს,  $p$  - საკუთარ წრიულ სიხშირესა და  $\delta$  - ლოგარითმულ დეკრემენტს შორის. ამისათვის ლოგარითმული დეკრემენტის ფორმულიდან:

$$\delta = nT = \frac{2\pi n}{p'} = \frac{2\pi n}{\sqrt{p^2 - n^2}},$$



ნახ. 2.2

განვისაბლვროთ  $n^2$ ,

$$n^2 = p^2 \frac{\left(\frac{\delta}{2\pi}\right)^2}{1 + \left(\frac{\delta}{2\pi}\right)^2}.$$

და ჩატარებათ იგი 2.10 ტოლობაში, მიღიღებთ:

$$p' = \sqrt{p^2 - n^2} = \frac{p}{\sqrt{1 + \left(\frac{\delta}{2\pi}\right)^2}}. \quad 2.18$$

2.18 გამოსახულებიდან ჩანს, რომ საკმაოდ მნიშვნელოვანი ჩაქრობის დროსაც კი, მიღევადი რხევების  $p'$  სიხშირე, მცირედ განსხვავდება საკუთარი რხევების  $p$  სიხშირისაგან.

გემოთ მოყვანილ ანალიტურ გამოსახულებებში ვთვლიდით, რომ  $p^2 > n^2$ . თუ პირიქითაა, ე.ი.  $p^2 < n^2$ , მაშინ 2.9 ტოლობის ორივე ფესვი იქნება ნაძღვილი, მაგრამ უარყოფითი რიცხვები. მათი ჩასმით 2.8 გამოსახულებაში მივიღებთ 2.7 განტოლების ორ კერძო ამონასნს, და ამ განტოლების გოგადი ამონასნი მიიღებს შემდეგ სახეს:

$$x = C_1 e^{s_1 t} + C_2 e^{s_2 t}. \quad 2.19$$

ეს უკანასკნელი ამონასნი არ შეიცავს პერიოდულ წევრს და შესაბამისად არ წარმოადგენს რხევით მოძრაობას. ბლანტი ხახუნი იმდენად დიდია, რომ წინასწორობიდან გადახრილი სხეული კი არ ირჩევა, არამედ მონოტონურად უბრუნდება საწყის მდებარეობას.

არსებობს  $p$  და  $n$  - ს შორის დამოკიდებულების კიდევ მესამე შემთხვევა, როდესაც  $p = n$ . ამ შემთხვევას დემპფირული კრიტიკული მნიშვნელობა ეწოდება. ამ შემთხვევაში სიბლანტის კოეფიციენტის კრიტიკული მნიშვნელობა ფოლია:

$$h_{\text{cr}} = 2\sqrt{mc}. \quad 2.20$$

ბოლოს, შენიშვნის სახით საჭიროა აღვნიშნოთ. ზემოთ ჩვენ ყოველთვის ვგულისხმობით, რომ  $n$  იყო დადებითი სიდიდე, ანუ წარმოადგენდა წინააღმდეგობის ძალას. რაც ნიშნავდა, რომ მისი მოქმედების შედეგად რხევების პიკური მნიშვნელობები თანდათანობით მცირდებოდა. მაგრამ არსებობს შემთხვევები, როდესაც სისტემას მიეწოდება ენერგია და ამის გამო რხევების ამპლიტუდები დროში იზრდება. ამ შემთხვევაში ხშირად ხმარობენ ტერმინს “უარყოფითი ჩაქრობა”. 2.14 ამონასნიდან ჩვენ ვხედავთ, რომ თუ  $n$  უარყოფითია, მაშინ  $e^{-nt}$  მამრავლი დროში იზრდება და შესაბამისად რხევების ამპლიტუდებიც იზრდება. ამიტომ, როდესაც გვაქვს დადებითი  $n$  და რხევები მიიღევიან, სისტემაში ადგილი აქვს მდგრად მოძრაობას, ხოლო უარყოფითი  $n$  - ის შემთხვევაში კი გვაქვს არამდგრადი მოძრაობები.

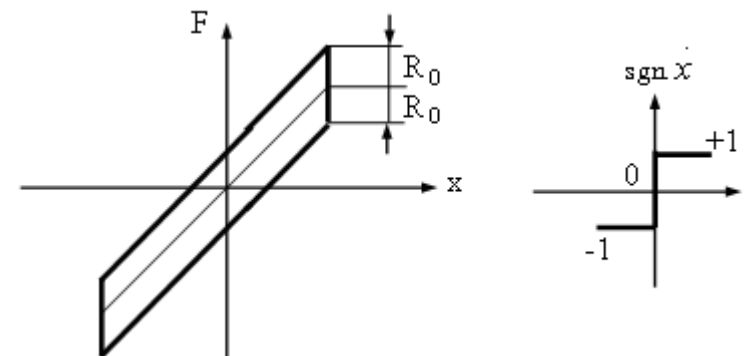
**მშრალი ხახუნი.** განვიხილოთ სქემა, გამოსახული 1.1 ნახაგებ, როდესაც  $m$  მასა დევს ხორციან ბედაპირზე და მათ შორის მოქმედებს მშრალი ხახუნის ძალები. ხახუნის ძალა მოქმედებს მასაზე მუდმივად, ხოლო მისი მიმართულება ყოველთვის მიმართულია მოძრაობის საწინააღმდეგოდ.

ასეთი სისტემის თავისუფალი რხევების მოძრაობის განტოლებას აქვს შემდეგი სახე:

$$mx + cx \pm R_0 = 0, \quad 2.21$$

სადაც ნიშანი პლიუს შეესაბამება მოძრაობის იმ ეტაპს, როდესაც სიჩქარე დადებითია, ხოლო ნიშანი მინუსი - მოძრაობის ეტაპს, როდესაც სიჩქარე უარყოფითია. მთლიანად მოქმედი  $F = cx \pm R_0$  ძალის დამოკიდებულება  $x$  გადაადგილებისაგან ნაჩვენებია ნახ. 2.3 - გვ. ჩავწეროთ 2.21 განტოლება შემდეგი სახით:

$$mx + cx + R_0 \operatorname{sgn} x = 0. \quad 2.22$$



ნახ. 2.3

ნახ. 2.4

$\operatorname{sgn} x$  ფუნქცია (იკითხება როგორც  $x$  - ს ფუნქცია ან სიგნუმ და არის ერთეული ფუნქცია და მას აქვს არგუმენტის ნიშანი (ნახ. 2.4)).

როდესაც  $x > 0 \quad \operatorname{sgn} x = 1$ , ხოლო როდესაც  $x < 0 \quad \operatorname{sgn} x = -1$ .  $x = 0$

შემთხვევაში კი  $\operatorname{sgn} x = 0$ .

2.22 განტოლება შეიცავს არაწრფივ შესაკრებს. ამის მიუხედავად ამ განტოლების ამონახსნის მიღება ადვილია თუ განვიხილავთ თანმიმდევრობით მოძრაობის იმ ინტერვალებს, რომელთაგან თითოეულში სიჩქარის ნიშანი მუდმივია.

გადავხაროთ მასა განაპირა მარჯვენა მდებარეობაში  $A$  სიღილეზე და გავუშვათ იგი საწყისი სიჩქარის გარეშე. ამ შემთხვევაში საწყისი პირობებია:

$$x_0 = A, \quad x_0 = 0.$$

გამბარის დაჭიმულობის მაღის გავლენით პირველ ეტაპზე მასა იმოძრავებს მარცხნივ ( $x_0 < 0$ ) და მოძრაობის განტოლებას ექვება შემდეგი სახე:

$$mx + cx - R_0 = 0,$$

ან თუ შემოვიდეთ აღნიშვნას:

$$c/m = p^2 \quad \text{და} \quad R_0/c = a,$$

მივიღეთ:

$$\ddot{x} + p^2 x = p^2 a. \quad 2.23$$

კოეფიციენტი  $a$  წარმოადგენს მასის გადახრას ხახუნის მაღის მაქსიმალური მნიშვნელობის დროს. მასის გადახრისას  $a - s$  ფოლი ან მასში ნაკლები მნიშვნელობის დროს მოძრაობა არ დაიწყება, რადგან ბამბარის დრეკადობის მაღები საკმარისი არაა ხახუნის მაღის დასაძლევად ( $-a < x < +a$  მონას უძრაობის გრძნა ეწოდება). შესაბამისად 2.23 განტოლებას ადგილი აქვს მხოლოდ  $A > a$  შემთხვევაში.

2.23 განტოლების მოგად ამონახსნს ექნება შემდეგი სახე:

$$x = a + C_1 \cos pt + C_2 \sin pt.$$

ამ უკანასკნელ განტოლებაში ბემოთ მოყვანილი საწყისი პირობების ჩასმით მივიღებთ:

$$x = a + (A - a) \cos pt. \quad 2.24$$

2.24 ფოლობით განსაზღვრული მოძრაობა სამართლიანია მანამ, ვიდრე სრულდება პირობა  $x < 0$ .

რადგან,

$$\dot{x} = -p(A - a) \sin pt,$$

ამიტომ მოძრაობის სიჩქარე იქნება უარყოფითი დროის  $t_1$  მომენტამდე, რომელიც განისაზღვრუბა შემდეგი პირობით:

$$pt_1 = \pi.$$

ამ პირობის შესრულების დროს მასა გაჩერდება. მისი გადაღილება კი ფოლი იქნება:

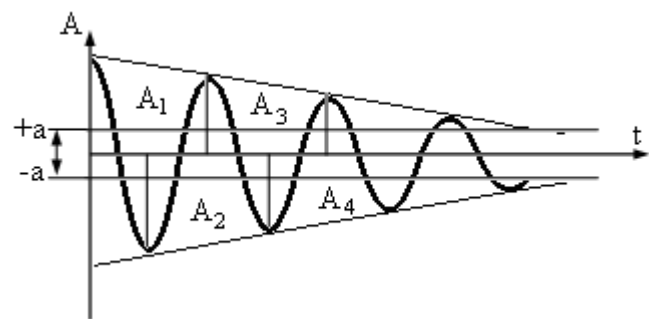
$$x = a + (A - a) \cos \pi = -(A - 2a).$$

როგორც ბოლო ფოლობიდან ჩანს ხახუნის გავლენით მასის გადაბალება შემცირდა  $2a - s$  ფოლი აბსოლუტური მნიშვნელობით.

გაჩერების შემდეგ მასა დაიწყებს მოძრაობას მარჯვნივ. თუ გავიმეორებთ ბემოთ მოყვანილ გაანგარიშებებს, შეიძლება გაჩვენოთ, რომ მარცხნიდან მარჯვნივ მოძრაობაც გრძელდება  $\pi / p$  დროის განმავლობაში. მარცხნივ მაქსიმალური გადახრა ფოლი  $A - 4a$ . მოძრაობის პროცესი გრძელდება მანამ, სანამ მასა არ მოხვდება უძრაობის მონაში და არ გაჩერდება. მოძრაობის თითოეულ ეტაპზე გადახრის დამოკიდებულება დროზე წარმოადგენს კოსინუსოდას, რომელიც დამუშავდება დანართის მიმართ  $+a$  ან  $-a$  სიღილით, ამპლიტუდა კი მცირდება

არითმეტიკული პროგრესიის კანონით. რხევების გრაფიკი მოყვანილია ნახ. 2.5 - ზე. დრო ორ მეტობელ მაქსიმალურ გადახრას შორის, რომელიც მხოლოდ პირობითად შეიძლება მივიჩნიოთ მოძრაობის პერიოდად, უდრის:

$$T = \frac{2\pi}{p}.$$



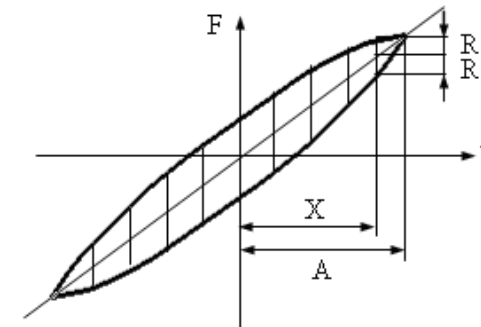
ნახ. 2.5

როგორც მოყვანილი გამოთვლებიდან ჩანს, სისტემაში მშრალი ხახუნის არსებობა მის რხევის სიხშირეს არ ცვლის.

**ჰისტერეზისი.** მასალის შინაგანი ხახუნის გამო, მისი ციკლური დეფორმირების დროს შეიმჩნევა ჰუკის კანონისგან გადახრა (მცირე ამპლიტუდის შემთხვევაშიც კი) და შესაბამისად, კავშირი ძაბვისა და დეფორმაციას შორის აღიწერება არა წრფივი დამოკიდებულებით, არამედ თრი მრულწირული შემთხვევაში. ნახ. 2.6 - ზე ნაჩვენებია, რომ ერთი თავისუფლების ხარისხის მქონე სისტემაში წინააღმდეგობის მთლიანი F ძალა შედგება წრფივი შემდგენისაგან, რომელიც შეესაბამება ჰუკის კანონს, და არადრეკალი R შემდგენისაგან, რომლის ნიშანიც

განისაზღვრება დეფორმირების მიმართულებით (პლიუსი დატვირთვისას, მინუსი - განტვირთვისას).

მრავალი მასალისათვის ექსპერიმენტული მეთოდით დადგენილია, რომ დეფორმირების პროცესის სიჩქარე პრაქტიკულად არ მოქმედებს ჰისტერეზისის მარყევის შტოების კონფიგურაციაზე. ამიტომ მარყევის ფართობი, რომელიც მიღებულია ენერგიის გაბნევის საბომად რხევების ერთი ციკლის განმავლობაში, ნებისმიერი მოცემული მასალი-



ნახ. 2.6

სათვის განისაზღვრება მხოლოდ რხევის ამპლიტუდით. ციკლური დატვირთვის დროს დეფორმაციასა და ძაბვის სიდიდეს შორის დამოკიდებულების განსაზღვრის რამდენიმე მეთოდი არსებობს. ერთ-ერთ ფართოდ გავრცელებულს წარმოადგენს ნ. დავიდენკოვის მიერ შემოთხვაზებული მეთოდი, რომელსაც აქვს შემდეგი სახე:

$$\Psi = k A^{n+1},$$

სადაც  $\Psi$  - ჰისტერეზისის მარყევის ფართობია, ხოლო  $A$  - გადაადგილების ამპლიტუდა.  $k$  და  $n$  - მუდმივებია, რომლებიც დამოკიდებულია მასალაზე.

რხევების მიღევისას პიკური გადაბლივებების შემთმწერი მრუდის განტოლებას სისტემის ერთი თავისუფლების ხარისხის შემთხვევაში აქვს შემდეგი სახე:

$$A = A_0 e^{-\frac{Rt}{cT}},$$

საღაც  $A_0$  - არის საწყისი ამპლიტუდა,  $R$  - არალრეკადი წინააღმდეგობის ძალა,  $c$  - სისტემის წრფივი სიხისტეა, ხოლო  $T$  - რხევითი ციკლის სილიდე. უკანასკნელი განტოლებიდან ჩანს, რომ რხევის მიღევა ხდება ექსპონენციალური კანონით ისევე, როგორც ბლანგი ხახუნის შემთხვევაში. ეს ნიშნავს, რომ მიღევადი რხევების პიკების შემთმწერი მრუდი შეიძლება იყოს ერთნაირი, სხვადასხვა ბუნების მქონე არადრეკადი წინააღმდეგობის ძალების დროს.

### §3. ვიბრაციული სისტემების იძულებითი რხევები

მექანიკურ სისტემებში იძულებითი რხევები, როგორც წესი, აღიძერებიან მათზე გარეშე პერიოდული ძალების მოქმედების შედეგად.

გავარჩიოთ უმარტივესი შემთხვევა, როდესაც გარეშე იძულებითი ძალა იცვლება ჰარმონიული კანონით  $F(t) = F_0 \sin \omega t$  (ნახ. 1.1). ამ ძალის რხევის პერიოდი  $\tau = 2\pi / \omega$ , ხოლო რხევის სიხშირე  $v = \omega/2\pi$ .

პირველი პარაგრაფის ანალოგიურად სისტემის კინეტიკური და პოტენციური ენერგიების გამოსახულებებს ექნებათ 1.1 გოლობების სახე. ლაგრანჯის მეორე გვარის განტოლებაში მათი ჩასმით და იმის გათვალისწინებით, რომ 2.1 განტოლების მარჯვენა მხარეში

გამოსახული წევრი ამ შემთხვევაში არის  $Q_* = F(t)$ , საბოლოოდ მივიღებთ:

$$m \ddot{x} + cx = F_0 \sin \omega t, \quad 3.1$$

ანუ

$$\ddot{x} + p^2 x = \frac{F_0}{m} \sin \omega t.$$

თუ აღვნიშნავთ  $F = F_0 / m$ , საბოლოოდ მივიღებთ:

$$\ddot{x} + p^2 x = F \sin \omega t. \quad 3.2$$

მიღებული 3.2 არაერთგვაროვანი განტოლების საერთო ამონასნი შეიძლება მოიძებნოს როგორც რომელიმე კერძო  $x^*$  ამონასნისა და ერთგვაროვანი განტოლების 1.8 ამონასნის ჯამი, ანუ:

$$x = x^* + C_1 \cos \omega t + C_2 \sin \omega t \quad 3.3$$

ამ ამონასნის შედეგად მივიღებთ გამოსახულებას, რომელიც წარმოადგენს საკუთარი  $p$  და იძულებითი და სიხშირეებით რხევების ჯამს. ამათგან შესაკრებები, რომლებიც განისაზღვრებან  $p$  სიხშირით, როგორც უკვე ვიცით, დამოკიდებული არიან საწყის პირობებზე.

რეალურ სისტემებში  $p$  სიხშირის თავისუფალი რხევები გარკვეული დროის გავლის შემდეგ მიიღევინ. მათი მიღევის მიზეზებზე საუბარი გვექნება შემდეგ პარაგრაფში. აღნიშნულ დროში კი დამყარდება საწყისი პირობებისგან დამოუკიდებელი და სიხშირის სფაციონალური რხევები. ამიტომ 3.2 განტოლების ამონასნი, რომელიც შეესაბამება სწორედ ამ სფაციონალურ რხევებს, მოვძებნოთ შემდგი კერძო ამონასნის სახით:

$$x^* = A \sin \omega t. \quad 3.4$$

30

თუ ამ გამოსახულებას ჩავსვათ 3.2 განტოლებაში, მივიღებთ:

$$\omega^2 A \sin \omega t + p^2 A \sin \omega t = F \sin \omega t,$$

საიდნაც იძულებითი რხევების ამპლიტუდა უდრის:

$$A = \frac{F}{p^2 - \omega^2} = A_0 \mu, \quad 3.5$$

$A_0 = F/p^2 = F_0/c$  - არის წონასწორობის ამპლიტუდა, რომელიც დრეკადი კავშირის სტატიკური დეფორმაციის ფოლია,  $F_0$  ამპლიტუდის ძალის მოქმედებით.  $\mu$  - სისტემის დინამიკურობის კოეფიციენტია, ანუ მისი გაძლიერების კოეფიციენტია ინერციულობის გამო.

$$\mu = \frac{1}{1 - \frac{\omega^2}{p^2}}. \quad 3.6$$

მაშასადამე, კერძო ამონასნი (3.4) მიღებს სახეს:

$$x^* = \frac{F \sin \omega t}{p^2 - \omega^2}. \quad 3.7$$

ხოლო 3.3 საერთო ამონასნს კი ექნება შემდეგი სახე:

$$x = C_1 \cos pt + C_2 \sin pt + \frac{F \sin \omega t}{p^2 - \omega^2}. \quad 3.8$$

3.8 განტოლებაში შემავალი პირველი ორი წევრი, როგორც აღნიშნეთ, წარმოადგენს სისტემის თავისუფალ რხევებს, ხოლო მესამე წევრი დამოკიდებულია აღგნების ძალაზე და წარმოადგენს იძულებით რხევებს. ამ რხევებს აქვს იგვივე სიხშირე, რაც აღმგნებს ძალას.

რადგან სისტემაზე მოქმედებს აღმგნები ძალა, მოძრაობის დასაწყისში, ე.ო. როდესაც  $t = 0$ , საწყისი პირობები იქნება  $x = 0$  და  $\dot{x} =$

0, საიდნაც ვიპოვთ  $C_1$  და  $C_2$  მუდმივებს. მათი ჩასმით 3.8 განტოლებაში, მივიღებთ:

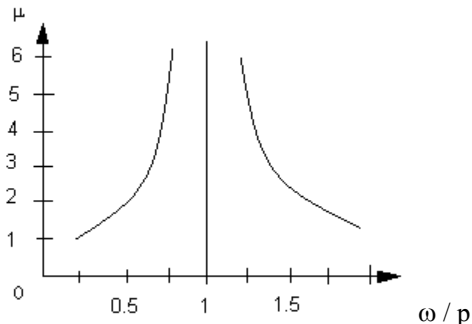
$$x = \frac{F_0}{c \left( 1 - \frac{\omega^2}{p^2} \right)} \left( \sin \omega t - \frac{\omega}{p} \sin pt \right). \quad 3.9$$

საბოლოოდ, თუ გავითვალისწინებთ, რომ სისტემაში რაიმე სახით მაინც არსებობს ხახუნის, წინააღმდეგობის ძალები, რომლებმც შემდეგ პარაგრაფში გვექნება საუბარი და საკუთარი რხევები მიიღევა, სტაციონალური რხევების დამყარებული რეჟიმის გამოსახულებას უქნება შემდეგი სახე:

$$x = \frac{F_0}{c} \left( \frac{1}{1 - \frac{\omega^2}{p^2}} \right) \sin \omega t. \quad 3.10$$

როგორც 3.10 ფოლობიდან ჩანს, მასში შემავალი დინამიკურობის კოეფიციენტი (3.6) დამოკიდებულია მხოლოდ  $\omega$  /  $p$  თანაფარდობაზე, ანუ აღმგნები ძალის სიხშირის, სისტემის საკუთარ სიხშირესთან ფარდობაზე. ნახ. 3.1- ზე ნაჩვენებია დინამიკურობის  $\mu$  კოეფიციენტის ცვლილება  $\omega/p$  თანაფარდობაზე დამოკიდებულებით.

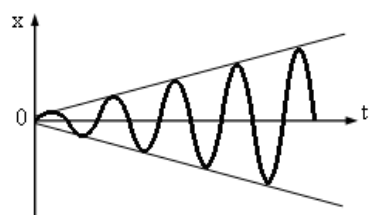
. როგორც ნახაგიდნ ჩანს,  $\omega/p$  ფარდობის მცირე სიდიდის დროს, რაც იმას ნიშნავს, რომ აღმგნების ძალის სიხშირე და მცირება თავისუფალი რხევის  $p$  სიხშირეზე, დინამიკურობის კოეფიციენტი ახლოსაა ერთოთან და გადაადგილებით თითქმის ისეთივება, როგორიც  $F_0 \sin \omega t$  ძალის სტატიკური მოქმედების დროს.



ნახ. 3.1

როდესაც  $\omega/p$  ფარლობა უახლოვდება ერთს, დნამიკურობის კოეფიციენტი და იძულებითი რხევების ამპლიტუდა სწრაფად იზრდება და მიისწრაფის უსასრულობისკენ  $\omega = p$  დროს, ანუ მათ შემთხვევაში, როდესაც აღვგნების ძალის სიხშირე გუსტად ემთხვევა სისტემის თავისუფალი რხევების სიხშირეს. ეს პირობა არის სწორედ რეზონანსის პირობა.

რეზონანსის დროს საჭიროა ყურადღება მივაქციოთ ერთ მნიშვნელოვან გარემოებას. რეზონანსული ამპლიტუდის გამრდას სჭირდება გარკვეული დრო. ანუ სიხშირეების დამთხვევის დროს ამპლიტუდის პიკერი მნიშვნელობები იზრდება წრფივი კნონით და სასრული დროის განმავლობაში არ აღწევს უსასრულობას. მოძრაობის გრაფიკი ნაჩვენებია ნახ. 3.2 - გვ.



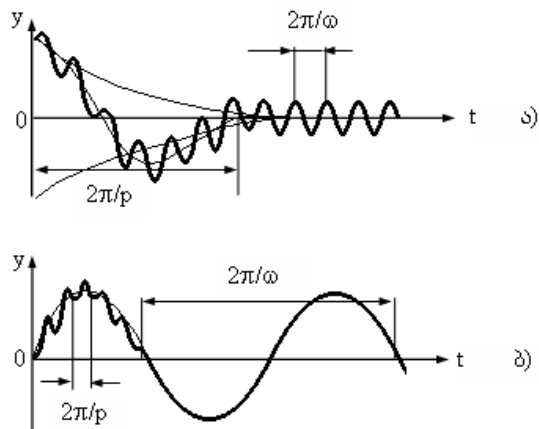
ნახ. 3.2

აქედან გამომდინარეობს პრინციპული შესაძლებლობა რეზონანსის გავლისა მანქანებში სიხშირის ცვლილების დროს. რადგან ფოლობა  $\omega = p$  სრულდება მხოლოდ წამიერად და პიკური გადახრის სიდიდეები ვერ ასწრებენ საშიში მნიშვნელობების მიღებას.

დინამიკურობის კოეფიციენტი სასრულ მნიშვნელობას იღებს ასევე, როდესაც აღმგზნები ძალის სიხშირე მეტი ხდება, ვიღრე თავისუფალი რხევების სიხშირეა. მისი აბსოლუტური სიდიდე მცირდება  $\omega / p$  ფარლობის გამრდასთან ერთად და უახლოვდება ნულს, ამ თანაფარლობის საკმაოდ დიდი მნიშვნელობების დროს. ეს ნიშნავს, რომ თუ რხევად სხეულზე მოქმედებს მაღალი სიხშირის ძალა ( $\omega / p$  ძალზე დიდია), მაშინ მისგან გამოწვეულ რხევებს აქვს ძალზე მცირე ამპლიტუდა, ხმირ შემთხვევაში კი სხეული უბრალოდ შეიძლება ჩაითვალოს უძრავად.

დინამიკურობის კოეფიციენტის გამოსახულების ანალიზიდან გამომდინარეობს, რომ თუ  $\omega < p$  მისი ნიშანი დადებითია, ხოლო  $\omega > p$  შემთხვევაში - უარყოფითი. ეს იმაზე მიუთითებს, რომ თუ აღგზნების ძალის სიხშირე ნაკლებია თავისუფალი რხევის სიხშირეზე, მაშინ იძულებითი რხევები და აღმგზნები ძალა იმყოფებინ ყოველთვის ერთ ფაზაში. ანუ, რხევად მასა იმყოფება თავის განაპირო მარჯვენა მდებარეობაში მაშინ, როდესაც აღმგზნები ძალა იღებს თავის მაქსიმალურ მნიშვნელობას ასევე მარჯვივ მიმარტვების დროს. იმ შემთხვევაში კი, როდესაც  $\omega > p$ , ფაზების ძრა იძულებით რხევებსა და აღმგზნებ ძალას შორის შეადგეს  $\pi - \pi$ . ანუ, მაშინ როდესაც აღმგზნების ძალა მიმართულია მარჯვივ და აღწევს თავის მაქსიმალურ სიდიდეს, რხევადი მასა იმყოფება მარცხენა განაპირო მდებარეობაში.

თუ გავითვალისწინებთ ხაზენის გემოთ ნათქვამი ძალების მოქმედებას, მაშინ იძულებითი რხევების შემაჯამებელი პროცესი განვითარდება ისე, როგორც ეს ქვემოთ ნახაზებზეა ნაჩვენები. კერძოდ, ნახ. 3.3 ა) მიეკუთვნება შემთხვევას, როდესაც  $\omega > p$ , ხოლო ნახ. 3.3 ბ) - როდესაც  $\omega < p$ . ორთავე შემთხვევისთვის დამახასიათებელია თავისუფალი რხევების სწრაფი ჩაქრობა.



ნახ. 3.3

დრეკადად დამაგრებული ტვირთის იძულებითი რხევები შეიძლება ასევე გამოწვეული იქნას სხვა ხერხითაც, რომელიც განსხვავდება ბემოთ განხილულისაგან. მაგალითად, ნახ. 1.2 - ზე გამოსახული გამბარის ზედა ბოლოს უერტიკალური მიმართულებით გადაეცემა მარტივი ჰარმონიული რხევები:

$$y^0 = F_0 \sin \omega t.$$

თუ გავტომავთ  $y$  გადადგილებას  $mg$  წონით წონასწორობის მდგრმარეთბიდან როდესაც  $y^0 = 0$ , მაშინ დროის ნებისმიერ მომენტში გამბარის წაგრძელება იქნება  $y - y^0 + f$  და, შესაბამისად, გამბარაში

მოქმედი დრეკადი ძალა ტოლი იქნება  $c(y - y^0) + mg$ . ამრიგად, ტვირთის მოძრაობის განტოლება დალაბერის პრინციპის მიხედვით მიიღებს შემდეგ სახეს:

$$m \ddot{y} = m g - c(y - y^0) - mg.$$

ამ უკანასკნელ განტოლებაში თუ ჩავსვამთ  $y^0$  - ის მნიშვნელობას და შემოვიდებთ შესაბამის აღნიშვნებს, მივიღებთ:

$$\ddot{y} + p^2 y = F \sin \omega t$$

მიღებული ბოლო განტოლება იღენტურია ბემოთ მიღებული 3.2 განტოლებისა. აქედან შეიძლება დავასკვნათ, რომ გამბარის ბედა ბოლობები მიწოდებული მარტივი ჰარმონიული რხევები ექვივალენტურია უშუალოდ ტვირთები მიწოდებული რხევებისა. ამდენად ყველა ბემოთ გაკეთებული დასკვნები 3.2 განტოლების მიმართ, ამ შემთხვევაშიც ძალაში რჩება.

და კიდევ ერთი შენიშვნა. ბემოთ მიღებული გვქონდა, რომ აღგჩნები ძალა პროპორციული იყო  $\sin \omega t$  - სი. იგივე შედეგები მიიღება, თუ აღმგჩნები ძალის გამოსახულებაში  $\sin \omega t$ -ს ნაცვლად მივიღებთ  $\cos \omega t$  - ს.

## §4. ვიბრაციული სისტემების იძულებითი რხევები დემპფირებით

განვიხილოთ სისტემის იძულებითი რხევები, როდესაც მასში გვაქვს დემპფირება ბლანტი ხახუნის სახით. მხედველობაში მივიღოთ ის გარემოება, რომ მეორე პარაგრაფში განხილულ ძალებთან ერთად ამ შემთხვევაში რხევად სხეულზე დამატებით მოქმედებს აღმგბნები ძალა  $F_{\sin \omega t}$ . მაშინ 2.5 განტოლების ნაცვლად მივიღებთ:

$$mx = mg - (mg + cx) - hx + F_0 \sin \omega t.$$

თუ შემოვიდებთ აღნიშვნებს, როგორც წინა პარაგრაფებში, კერძოდ:

$$\frac{h}{m} = 2n; \quad \frac{c}{m} = p^2, \quad \text{და დამატებით } \frac{F_0}{m} = F,$$

მაშინ იძულებითი რხევების აღმწერი დიფერენციალური განტოლება მიიღებს შემდეგ სახეს:

$$x + 2nx + p^2x = F \sin \omega t. \quad 4.1$$

ამ დიფერენციალური განტოლების საერთო ამონასნი მიიღება შესაბამისი ერთგვაროვანი 2.7 განტოლების ამონასნისა და 4.1 განტოლების კერძო ამონასნის შეჯამებით. ეს უკანასკნელი, კერძო ამონასნი მივიღოთ შემდეგი სახით:

$$x^* = M \sin \omega t + N \cos \omega t, \quad 4.2$$

სადაც  $M$  და  $N$  - მუდმივებია. ამ განტოლების 4.1 განტოლებაში ჩასმით ვნახავთ, რომ იგი დაკმაყოფილდება იმ შემთხვევაში, თუ  $M$  და  $N$  აკმაყოფილებს შემდეგ წრფივ განტოლებებს:

$$\begin{aligned} -N\omega^2 + 2M\omega n + Np^2 &= 0, \\ -M\omega^2 - 2N\omega n + Mp^2 &= F. \end{aligned}$$

აქედან:

$$\begin{aligned} M &= F \frac{p^2 - \omega^2}{(p^2 - \omega^2)^2 + 4n^2\omega^2}, \\ N &= -F \frac{2n\omega}{(p^2 - \omega^2)^2 + 4n^2\omega^2}. \end{aligned} \quad 4.3$$

4.3 ტოლობების ჩასმით 4.2 - ში ვიპოვთ საბიებელ კერძო ამონასნის, ხოლო თუ მას დაფუძნაფებთ ერთგვაროვანი განტოლების წინათ ნაპოვნ ამონასნისაც, საბოლოოდ მივიღებთ:

$$x = e^{-nt} (C_1 \cos p't + C_2 \sin p't) + M \sin \omega t + N \cos \omega t. \quad 4.4$$

4.4 განტოლების მარჯვენა მხარის პირველი წევრი შეიცავს  $e^{-nt}$  მამრავლს და წარმოადგენს მეორე პარაგრაფში განხილულ თავისუფალ მიღევად რხევებს. ხოლო შემდგომ ორ წევრს აქვს აღგბნების ძალის სისტრე და შესაბამისად წარმოადგენს იძულებით რხევებს.

წინა შემთხვევების ანალოგიურად, თუ ამ შემთხვევაშიც 4.2 განტოლებაში შემოვიდებთ აღნიშვნებს:

$$M = A \cos \alpha \quad \text{და} \quad N = A \sin \alpha,$$

მაშინ იძულებითი რხევის ამპლიტუდისათვის მივიღებთ შემდეგ გამოსახულებას:

$$A = \sqrt{M^2 + N^2} = F \frac{1}{\sqrt{(p^2 - \omega^2)^2 + 4n^2\omega^2}},$$

საიდანაც  $p^2$  - ს ფესვის გარეთ გატანით და იმის გათვალისწინებით, რომ  $p^2 = c/m$ , მივიღებთ:

$$A = \frac{F}{c} \frac{1}{\sqrt{\left(1 - \frac{\omega^2}{p^2}\right)^2 + \frac{4n^2\omega^2}{p^4}}} = \frac{x_0}{\sqrt{\left(1 - \frac{\omega^2}{p^2}\right)^2 + \frac{4n^2\omega^2}{p^4}}}, \quad 4.5$$

სადაც  $x_0$  აღნიშნავს სისტემის გადაადგილებას  $F$  ძალის სტატიკური მოქმედების შედეგად. ფაზების ძვრა  $\alpha$  მიიღება შემდეგი თანაფარდობიდან:

$$\operatorname{tg} \alpha = \frac{-N}{M} = \frac{2\pi\omega}{p^2 - \omega^2}. \quad 4.6$$

საბოლოო იძულებითი რხევების ამონახსნის ანალიზურ გამოსახულებას აქვს შემდეგი სახე:

$$x = x_0 \frac{1}{\sqrt{\left(1 - \frac{\omega^2}{p^2}\right)^2 + \frac{4n^2\omega^2}{p^4}}} \sin(\omega t - \alpha). \quad 4.7$$

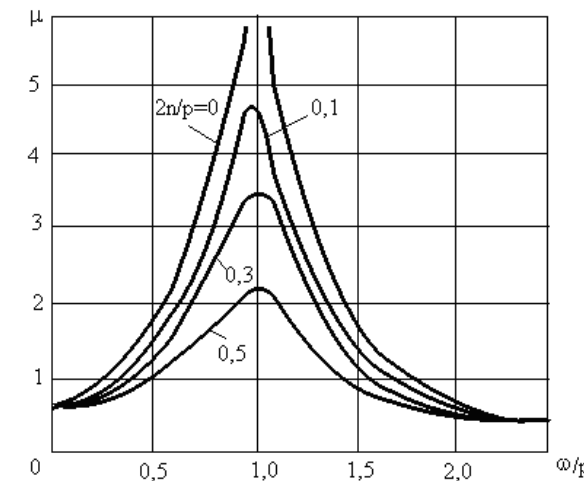
როგორც 4.7 ფოლობიდან ჩანს, იძულებითი რხევების ამპლიტუდა მიიღება სისტემის სტატიკური  $x_0$  გადაადგილებისა და

$$\mu = \frac{1}{\sqrt{\left(1 - \frac{\omega^2}{p^2}\right)^2 + \frac{4n^2\omega^2}{p^4}}} \text{ დინამიკური კოეფიციენტის ნამრავლით.}$$

ეს უკანასკნელი დამოკიდებულია აღგნების ძალის - და მიულევადი თავისუფალი რხევების  $-p$  წრიული სიხშირეების ფარდობაზე, ანუ  $\omega/p$  - ზე. იგი ასევე დამოკიდებულია  $n/p$  ფარდობაზეც, რომელიც უმრავლეს პრაქტიკულ შემთხვევებში მცირე სიღრღვეა. თუ ამ უკანასკნელ ფარდობას ჩავთვლით წელის ფოლად, მაშინ მივიღებთ იძულებითი რხევ-

გის ამპლიტუდების სიდიდეს, რომელიც მიღებული გვქონდა იძულებითი რხევების დროს დემპფირების გარეშე.

დინამიკურობის კოეფიციენტის მნიშვნელობები ვ/პ ფარდობისგან დამოკიდებულებით სხვადასხვა  $2n/p$  მნიშვნელობების დროს ნაჩვენებია ნახ. 4.1 - ზე. ნახაბიდან ჩანს, რომ თუ აღმგნები ძალის სიხშირე ნაკლებია სისტემის საკუთარი რხევის სიხშირეზე, მაშინ დინამიკურობის კოეფიციენტი ახლოსაა ერთთან და იძულებითი რხევების ამპლიტუდა თითქმის ფოლია  $x_0$  სტატიკური გადაადგილებისა.



ნახ. 4.1

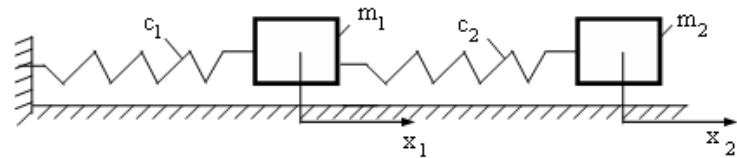
მეორე გვერულ შემთხვევაში ვ მეტაც  $p$  - სთან შედარებით, ანუ აღგნების ძალის სიხშირე მეტაც სისტემის საკუთარ სიხშირეზე. ამ შემთხვევაში დინამიკურობის კოეფიციენტი ხდება ძალზე მცირე და შესაბამისად, ძალზე მცირე იძულებითი რხევების ამპლიტუდების მნიშვნელობებიც.

მრულები ორთავე აღნიშნული გვრცელი მნიშვნელობებისათვის თავს იყრიან ერთმანეთთან ძალიან ახლოს. ეს ნიშნავს, რომ ამ შემთხვევებში დემპფირების ძალების გავლენა პრაქტიკულად უმნიშვნელოა და რჩევების ამპლიტუდების გამოთვლების დროს ისინი საკმაო სიზუსტით შეიძლება მივიჩნიოთ როგორც რჩევის ამპლიტუდები დემპფირების გარეშე. როდესაც აღგმნების ძალის სიხშირე უახლოვდება სისტემის საკუთარი რჩევის სიხშირეს, დინამიკურობის კოეფიციენტი სწრაფად იზრდება და, როგორც ჩახაბილან ჩანს, მისი სიდიდე ძალგებ მგრძნობიარე ხდება დემპფირების მიმართ. ამპლიტუდის მაქსიმუმი მიიღწევა მაშინ, როდესაც ვ/რ დაახლოებით უდრის 1-ს.

4.7 გამოსახულებიდან ჩანს, რომ სისტემის გადაადგილება ხდება აღგმნების ძალის სიხშირით, მაგრამ ჩამორჩება ძალის სიდიდის ცვლილებს ფაზით. ეს ჩამორჩენა ხსიათდება  $\alpha$  კუთხით, რომელიც განისაზღვრება 4.6 ფორმულით და დამოკიდებულია სიხშირეების ვ/რ თანაფარდობამე. როგორც ფორმულიდან ჩანს, მცირე ვ სიხშირის დროს  $\alpha$  კუთხე მცირება. რეზონანსის დროს  $\omega$  ( $\omega = p$ ) ფაზური კუთხე გოლია  $\pi/2$ , ანუ იმ მომენტში, როდესაც მოქმედი ძალა მაქსიმალურია, გადადგილება უდრის ნულს. საკმაოდ მაღალი სიხშირეების დროს ფაზური კუთხე უახლოვდება  $\pi - \alpha$ , ანუ ძალის მაქსიმუმს შეესაბამება გადაადგილების მინიმუმი.

## §5. ორი თავისუფლების ხარისხის მქონე ვიბრაციული სისტემების თავისუფალი რხევები

ორი თავისუფლების ხარისხის მქონე ვიბრაციული სისტემების მაგალითად განვიხილოთ ნახ. 5.1-ზე მოყვანილი სქემა. ორი  $m_1$  და  $m_2$  მასები შეიძლება გადაადგილდნენ პორიზონტალური  $x$  ღერძის გასწვრივ ხახუნის გარეშე და ერთმანეთთან დაკავშირებული არიან  $c_1$  და  $c_2$  სიხშირის მქონე დრეკადი ელემენტებით (მაგალითად ზამბარებით).



ნახ. 5.1

ამ მასების გადაადგილების  $x_1$  და  $x_2$  კოორდინატები ავითვალოთ მათი სტატიკური წონასწორობის მდებარეობიდან. მოძრაობების განტოლებათა შესადგენად აქაც ვიყენებთ ლაგრანჯის მეორე გვარის განტოლებას. მასების რხევების პროცესში ზამბარებში ვითარდება  $c_1 x_1$  და  $c_2(x_2 - x_1)$  ძალები, ამიტომ სისტემის პოტენციული ენერგია გამოისახება შედეგნაირად:

$$P = \frac{c_1 x_1^2}{2} + \frac{c_2 (x_2 - x_1)^2}{2}, \quad 5.1$$

ხოლო კინეტიკურ ენერგიას აქვს შემდეგი სახე:

$$T = \frac{m_1 x_1^2}{2} + \frac{m_2 x_2^2}{2}. \quad 5.2$$

5.1 და 5.2 ტოლობების ჩასმით დაგრანუის განტოლებაზი, საბოლოოდ, მივიღებთ მასების მოძრაობათა შემდეგ გიფერენციალურ განტოლებათა სისტემას:

$$\begin{aligned} m_1 x_1 + c_1 x_1 - c_2(x_2 - x_1) &= 0; \\ m_2 x_2 + c_2(x_2 - x_1) &= 0. \end{aligned} \quad 5.3$$

განტოლებათა 5.3 სისტემის გამარტივების მიზნით გავყოთ მასში შემაგალი შესაბამისი განტოლებები  $m_1$  და  $m_2$  მასებზე და შემოვიდოთ აღნიშვნები:

$$\frac{c_1 + c_2}{m_1} = \alpha; \quad \frac{c_2}{m_1} = \beta; \quad \frac{c_2}{m_2} = \gamma, \quad 5.4$$

მაშინ 5.3 განტოლებები მიიღებენ შემდეგ სახეს:

$$\begin{aligned} x_1 + \alpha x_1 - \beta x_2 &= 0; \\ x_2 - \gamma x_1 + \gamma x_2 &= 0. \end{aligned} \quad 5.5$$

5.5 განტოლებები წარმოადგენენ დიფერენციალურ განტოლებებს მუდმივი კოეფიციენტებით. ეს განტოლებები შესაძლებელია ამოვხსნათ კერძო ამონახსნებით, რომელთაც აქვთ შემდეგი სახე:

$$\begin{aligned} x_1 &= A \sin(pt + \varphi); \\ x_2 &= B \sin(pt + \varphi). \end{aligned} \quad 5.6$$

თუ 5.6 ტოლობებს ჩავსვამთ 5.5-ში, მივიღებთ:

$$\begin{aligned} -Ap^2 \sin(pt + \varphi) + A\alpha \sin(pt + \varphi) - B\beta \sin(pt + \varphi) &= 0; \\ -Bp^2 \sin(pt + \varphi) - A\gamma \sin(pt + \varphi) + B\gamma \sin(pt + \varphi) &= 0. \end{aligned} \quad 5.7$$

5.6 განტოლებები დააკმაყოფილებს 5.5 განტოლებათა სისტემას დროის ნებისმიერ მომენტში იმ შემთხვევაში, თუ დაკმაყოფილდება შემდეგი ალგებრული განტოლებები:

$$\begin{aligned} A(\alpha - p^2) - B\beta &= 0; \\ -A\gamma + B(\gamma - p^2) &= 0. \end{aligned} \quad 5.8$$

5.8 განტოლებები  $A$  და  $B$  კოეფიციენტებისათვის მოგვცემს ნულისგან განსხვავებულ ამონასსნს იმ შემთხვევაში თუ 5.7 სისტემის განმსაძლვრელი

$$(\alpha - p^2)(\gamma - p^2) - \beta\gamma = 0, \quad 5.9$$

ანუ

$$p^4 - (\alpha + \gamma)p^2 + \gamma(\alpha - \beta) = 0. \quad 5.10$$

ეს უკანასკნელი  $p^2$ -ს მიმართ არის კვადრატული განტოლება და იწოდება სისტემის სისშირის განტოლებად. მისი ფესვებია:

$$p_{1,2}^2 = \frac{\alpha + \gamma}{2} \pm \sqrt{\left(\frac{\alpha + \gamma}{2}\right)^2 - \gamma(\alpha - \beta)} \quad 5.11$$

5.11 განტოლება ასევე შეიძლება ჩაიწეროს შემდეგი სახით

$$p_{1,2}^2 = \frac{\alpha + \gamma}{2} \pm \sqrt{\left(\frac{\alpha - \gamma}{2}\right)^2 + \beta\gamma}. \quad 5.12$$

ფესვსქვეშა გამოსახულება 5.12 განტოლებაში

ყოველთვის დადებითია, შესაბამისად ორთავე ფესვი  $p_1^2$  და  $p_2^2$  არის ნამდვილი. 5.4 აღნიშვნიდან ჩანს, რომ სხვაობა  $(\alpha - \beta)$  დადებითია და შესაბამისად, 5.11 განტოლებაში რადიკალის მნიშვნელობა ყოველთვის ნაკლებია  $\frac{\alpha + \gamma}{2}$ -ზე, ამიტომ ორივე

ფესვი არის დადებითი და სისტემისთვის ვიღებთ ორ  $p_1$  და  $p_2$  პუთხურ სისტემებს.

თუ დავუბრუნდებით 5.8 განტოლებებს, ვხედავთ, რომ  $A$  და  $B$  სიდიდეების მნიშვნელობების მიღება შეუძლებელია. მაგრამ შესაძლებელია მათი ფარდობის პოვნა. კერძოდ:

$$\frac{A}{B} = \frac{\beta}{\alpha - p^2} \quad \text{ან} \quad \frac{A}{B} = \frac{\gamma - p^2}{\gamma} \quad 5.13$$

$p^2 = p_1^2$  ან  $p^2 = p_2^2$  შემთხვევაში 5.11 განტოლების ოანახმად ორთავე ეს ფარდობები ერთმანეთის ტოლია. თუ ჩავსვამთ 5.13 ფარდობებში 5.11 ტოლობით განსაზღვრულ  $p^2$ -ს მნიშვნელობებს, მივიღებთ ამპლიტუდების ორ განსხვავებულ თანაფარდობას, სახელდობრ:

$$\frac{A_1}{B_1} = \frac{\beta}{\alpha - p_1^2} = \frac{\gamma - p_1^2}{\gamma} = \frac{1}{\lambda_1}; \quad 5.14$$

$$\frac{A_2}{B_2} = \frac{\beta}{\alpha - p_2^2} = \frac{\gamma - p_2^2}{\gamma} = \frac{1}{\lambda_2} \quad 5.15$$

მაშასადამე, მიუხედავად იმისა, რომ  $A$  და  $B$  ამპლიტუდები რჩება განსაზღვრული, მათ თანაფარდობებს შეიძლება პქონდეთ მხოლოდ ორი განსაზღვრული 5.14 და 5.15 მნიშვნელობები. ეს თანაფარდობები დამოკიდებულია მხოლოდ 5.4 ფორმულებით განსაზღვრულ  $\alpha, \beta, \gamma$  მუდმივ სიდიდეებზე.

## §6. ორი თავისუფლების ხარისხის მქონე გიბრაციული სისტემების იძულებითი რხევები

განვიხილოთ ორი თავისუფლების ხარისხის მქონე სისტემის იძულებითი რხევები დამყარებულ რეჟიმში, როდესაც სისტემაზე მოქმედებს ჰარმონიული აღმგზნები ძალა. ასეთი სისტემის მაგალითად კვლავ გამოვიყენოთ ნახ. 5.1-ზე გამოსახული ორი მასა და დაგუშვათ, რომ ზამბარების დაჭიმულობის ძალვების გარდა ერთერთ მასაზე ( $m_1$ -ზე) მოქმედებს გარეშე ძალა  $F_0 \sin \omega t$ . განხილულ შემთხვევაში მოძრაობის დიფერენციალური განტოლებები 5.3 მიიღებენ შემდეგ სახეს:

$$\begin{aligned} m_1 \ddot{x}_1 + c_1 \dot{x}_1 - c_2 (x_2 - x_1) &= F_0 \sin \omega t; \\ m_2 \ddot{x}_2 + c_2 (x_2 - x_1) &= 0. \end{aligned} \quad 6.1$$

აღნიშვნების შემოდგებით

$$\frac{c_1 + c_2}{m_1} = \alpha; \quad \frac{c_2}{m_1} = \beta; \quad \frac{c_2}{m_2} = \gamma; \quad \frac{F_0}{m_1} = F, \quad 6.2$$

6.1 განტოლებათა სისტემა ჩაიწერება შემდეგი სახით:

$$\begin{aligned} \ddot{x}_1 + \alpha \dot{x}_1 - \beta x_2 &= F \sin \omega t; \\ \ddot{x}_2 - \gamma x_1 + \gamma x_2 &= 0. \end{aligned} \quad 6.3$$

ამ განტოლებების კერძო ამონასნი შესაძლებელია მოიძებნოს შემდეგი სახით:

$$\begin{aligned} x_1 &= A \sin \omega t; \\ x_2 &= B \sin \omega t. \end{aligned} \quad 6.4$$

იმისათვის რომ მივიღოთ A და B ამპლიტუდების სიდიდეები ჩავსვათ 6.4 ტოლობები 6.3-ში, რის შედეგად გვიფრთვათ

$$\begin{aligned} (\alpha - \omega^2)A - \beta B &= F; \\ -\gamma A + (\gamma - \omega^2)B &= 0. \end{aligned} \quad 6.5$$

A და B ამპლიტუდებისათვის ეს უკანასკნელი გამოსახულებები გვაძლევს შემდეგ მნიშვნელობებს:

$$\begin{aligned} A &= \frac{F(\gamma - \omega^2)}{(\alpha - \omega^2)(\gamma - \omega^2) - \beta\gamma}; \\ B &= \frac{F\gamma}{(\alpha - \omega^2)(\gamma - \omega^2) - \beta\gamma}. \end{aligned} \quad 6.6$$

აღსანიშნავია, რომ A და B ამპლიტუდების ამნიშვნელობის დროს 6.4 ამონასნები აკმაყოფილებენ 6.3 განტოლებათა სისტემას დროის ნებისმიერ მომენტში. როგორც 6.4-დან ჩანს ისინი გამოხატავენ ორთავე მასის მარტივ პარმონიულ მოძრაობებს აღმგზნები ძალის  $\omega$  სისმირით მოქმედების დროს. მაგრამ A და B ამპლიტუდები დამოკიდებული არიან აღმგზნები F ძალისა და  $\omega$  კუთხური სისშირის სიდიდეებზე.

$\omega$ -ს საკმაოდ მცირე სიდიდეებისათვის, როცა შესაძლებელია მისი უგულებელყოფა  $\alpha$  და  $\gamma$ -სთან შედარებით, ან კიდევ როდესაც იგი უდრის ნებს

$$A = B = \frac{F}{\alpha - \beta} = \frac{F_0}{c_1} = \lambda. \quad 6.7$$

აქედან ჩანს, რომ მცირე სიდიდით ცვალებადი მოქმედი გარეშე ძალა იწვევს მხოლოდ სტატიკურ ეფექტს, ანუ  $c_1$  სიხისტის მქონე ზამბარა ინარჩუნებს თავის სიგრძეს და ორივე მასები გადაადგილდება ერთად. ამავე დროს მათი გადაადგილება ყოველთვის ტოლია  $c_1$  სიხისტის მქონე ზამბარის წაგრძელების,  $F_0 \sin \omega t$  ძალის მოქმედების დროს.

თუ შევადარებთ 6.6 განტოლებების მნიშვნელს სიხშირის 5.9 განტოლებას, შეგვიძლია დავასკვნათ, რომ A და B ამპლიტუდები უსასრულოდ იზრდება, როდესაც  $\omega = p_1$  ან  $\omega = p_2$ . ამრიგად, ორი თავისუფლების ხარისხის მქონე სისტემაში გვაქვს რეზონანსის ორი პირობა, რომელთაგან თითოეული შეესაბამება ცალკეული მასების საკუთარ სიხშირეს თავისუფალი რხევების დროს.

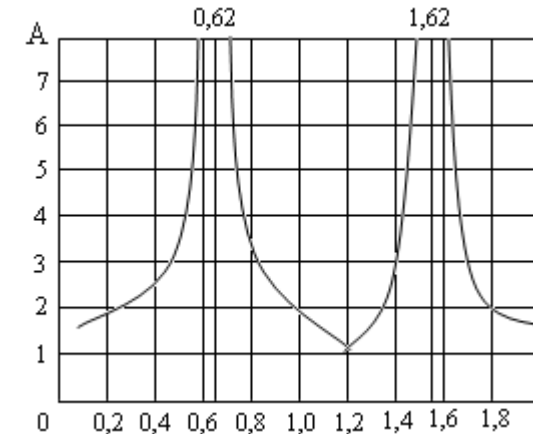
6.6 განტოლებებიდან გამომდინარეობს იძულებითი რხევების A და B ამპლიტუდების ფარდობა

$$\frac{A}{B} = \frac{\gamma - \omega^2}{\gamma}. \quad 6.8$$

რეზონანსის ორივე პირობიდან, ანუ როდესაც  $\omega = p_1$

ან  $\omega = p_2$  გამომდინარე ეს ფარდობები იღებს  $\frac{A_1}{B_1}$  ან  $\frac{A_2}{B_2}$  მნიშვნელობებს, როგორც ეს მოცემულია 5.14 და 5.15 გამოსახულებებში.

განხილული სისტემის ამპლიტუდურ-სიხშირული დამოკიდებულების ერთერთი კერძო შემთხვევა A ამპლიტუდისთვის ნაჩვენებია ნახ. 6.1-ზე. გრაფიკი აგებულია  $F_0 = 1$ ;  $m_1 = m_2 = 1$ ;  $c_1 = c_2 = 1$  მნიშვნელობებისთვის. როგორც გრაფიკიდან ჩანს, ამ შემთხვევაში რეზონანსების რიცხვი ტოლია ორის, რაც შეესაბამება სისტემის თავისუფლების ხარისხს და მის საკუთარ სიხშირებს.



ნახ. 6.1

## §7. ორი თავისუფლების ხარისხის მქონე ვიბრაციული სისტემების იძულებითი რხევები სიჩქარის პროპორციული წინააღმდეგობის ძალების მოქმედების დროს

განვიხილოთ ორი თავისუფლების ხარისხის მქონე სისტემის იძულებითი რხევები მასში ბლანტი ხახუნის წინააღმდეგობის ძალების მოქმედების დროს. დაგუბრულეთ ნახ. 5.1-ზე გამოსახულ სქემას და მივიღოთ, რომ გარდა დრეგა-დო ძალებისა და სისტემაზე მოქმედი აღმგნები  $F_0 \sin \omega t$

ძალისა, მასში მოქმედებს ბლანტი ხახუნის წინააღმდეგობის ძალები 2.2 სახით. ასეთ პირობებში მოძრაობის დიფერენციალური განტოლებები მიიღებს შემდეგ სახეს:

$$\begin{aligned} m_1 \ddot{x}_1 + h \dot{x}_1 + c_1 x_1 - c_2 (x_2 - x_1) &= F_0 \sin \omega t; \\ m_2 \ddot{x}_2 + h \dot{x}_2 + c_2 (x_2 - x_1) &= 0. \end{aligned} \quad 7.1$$

თუ შემოვიდებთ აღნიშვნებს

$$\begin{aligned} \frac{c_1 + c_2}{m_1} &= \alpha; \quad \frac{c_2}{m_1} = \beta; \quad \frac{c_2}{m_2} = \gamma; \\ \frac{h}{m_1} &= \eta; \quad \frac{h}{m_2} = \mu; \quad \frac{F_0}{m_1} = F, \end{aligned} \quad 7.2$$

7.1 სისტემა შეიძლება გადაგრძეროთ შემდეგი სახით:

$$\begin{aligned} \dot{x}_1 + \eta \dot{x}_1 + \alpha x_1 - \beta x_2 &= F \sin \omega t; \\ \dot{x}_2 + \mu \dot{x}_2 - \gamma x_1 + \gamma x_2 &= 0. \end{aligned} \quad 7.3$$

7.3 განტოლებათა სისტემის მთლიანი ამონასნი შედგება თავისუფალი მილევადი რხევებისა და იძულებითი რხევებისგან ბლანტი ხახუნით. იმისათვის, რომ ვიპოვთ ამონასნი თავისუფალი რხევებისთვის 7.3 სისტემის პირველ განტოლებას მოვაცილოთ მარჯვენა მხარე და განვიხილოთ შესაბამისი ერთგვაროვანი განტოლებები:

$$\begin{aligned} \dot{x}_1 + \eta \dot{x}_1 + \alpha x_1 - \beta x_2 &= 0; \\ \dot{x}_2 + \mu \dot{x}_2 - \gamma x_1 + \gamma x_2 &= 0. \end{aligned} \quad 7.4$$

7.4 განტოლებების ამონასნა შეიძლება მივიღოთ შემდეგი სახით:

$$x_1 = Ce^{st}, \quad x_2 = De^{st}, \quad 7.5$$

სადაც C და D წინასწარ უცნობი მუდმივებია. თუ ჩავსვამო 7.5-ს 7.4-ში მივიღებთ:

$$\begin{aligned} C(s^2 + \eta s + \alpha) - D\beta &= 0, \\ -C\gamma + D(s^2 + \mu s + \gamma) &= 0. \end{aligned} \quad 7.6$$

ამ განტოლებებს C და D –სათვის ნულისგან განსხვავებული მნიშვნელობები შეუძლიათ მოგვცეს მხოლოდ იმ შემთხვევაში, თუ მათი განმსაძღვრელი არის ნულის ტოლი. ანუ:

$$(s^2 + \eta s + \alpha)(s^2 + \mu s + \gamma) - \beta\gamma = 0. \quad 7.7$$

ეს უკანასკნელი განტოლება s – ის მიმართ წარმოადგენს მეოთხე ხარისხის განტოლებას, რომელსაც შესაბამისად აქვს ოთხი ფესვი და შეუძლია მოგვცეს 7.5-ს ოთხი კერძო ამონასნი. 7.4-ის ზოგადი ამონასნი მიიღება ამ ოთხი ფესვის კომბინაციებით. თუ ბლანტი ხახუნი შედარებით მცირეა და შესაძლებელია რხევითი მოძრაობების მიღება, მაშინ 7.7 განტოლების ოთხივე ფესვი არის კომპლექსური, უარყოფითი ნამდვილი ნაწილებით:

$$\begin{aligned} s_1 &= -n_1 + ip_1, \\ s_2 &= -n_1 - ip_1, \\ s_3 &= -n_2 + ip_2, \\ s_4 &= -n_2 - ip_2, \end{aligned} \quad 7.8$$

სადაც  $n_1$  და  $n_2$  დადებითი რიცხვებია. თითოეული ამ ფესვის ჩასმით 7.6 განტოლებებში მიიღება C/D ფარდობის ოთხი მნიშვნელობა. ამრიგად, 7.5 ტოლობებისთვის მივიღეთ ოთხი კერძო ამონასნი, ოთხი ინტეგრირების მუდმივით, რომლებიც მოიძებნება ასევე ოთხი საწყისი პირობიდან. კერძოდ  $x_1$  და  $x_2$  საწყისი გადაადგილებიდან და მათი  $x_1$  და  $x_2$  წარმოებულებიდან, ანუ სიჩქარეებიდან.

თუ ისევე მოვიქვევით, როგორც მე-4 პარაგრაფში ერთი თავისუფლების ხარისხის მქონე სისტემის განხილვისას და შევცვლით მაჩვენებლიან ტოლობებს ტრიგონომეტრიული ფუნქციებით, მაგალითად პირველი ორი ფესვისთვის

$$\begin{aligned} e^{(-n_1 + ip_1)t} + e^{(-n_1 - ip_1)t} &= 2e^{-n_1 t} \cos p_1 t, \\ e^{(-n_1 + ip_1)t} - e^{(-n_1 - ip_1)t} &= 2ie^{-n_1 t} \sin p_1 t, \end{aligned}$$

მაშინ 7.5 –ს კერძო ამონასნები პირველი ორი მათგანისთვის მიიღებს შემდეგ სახეს:

$$\begin{aligned} x_1 &= e^{-n_1 t} (C'_1 \cos p_1 t + C'_2 \sin p_1 t), \\ x_2 &= e^{-n_1 t} (C''_1 \cos p_1 t + C''_2 \sin p_1 t) \end{aligned}$$

ამრიგად, თითოეული მოყვანილი გადაადგილებებიდან წარმოადგენს მიღევად რხევას, როგორც ეს იყო ერთი თავისუფლების ხარისხის მქონე სისტემაში. ფესვების ნამდვილი ნაწილები  $n_1$  განსაზღვრავენ ამპლიტუდების მიღევის ტემპს, ხოლო წარმოსახვითი ნაწილი  $p_1$  განსაზღვრავს რხევების სიხშირეს. თუ ასევე მოვიქვევით 7.8 განტოლების

შემდგომი ორი ფესვის მიმართაც, საბოლოოდ მივიღებთ 7.4 განტოლებათა სისტემის ზოგად ამონასნეს:

$$\begin{aligned} x_1 &= e^{-n_1 t} (C'_1 \cos p_1 t + C'_2 \sin p_1 t) + e^{-n_2 t} (D'_1 \cos p_2 t + D'_2 \sin p_2 t), \\ x_2 &= e^{-n_1 t} (C''_1 \cos p_1 t + C''_2 \sin p_1 t) + e^{-n_2 t} (D''_1 \cos p_2 t + D''_2 \sin p_2 t) \end{aligned} \quad 7.9$$

იმის გამო, რომ მუდმივების C/D ფარდობები განისაზღვრება 7.6 განტოლებებით, 7.5 – ს თითოეული კერძო ამონასნისთვის, 7.9 განტოლებათა სისტემა შეიცავს მხოლოდ ოთხ დამოუკიდებელ მუდმივს, რომლებიც უნდა განსაზღვრული იქნას საწყისი პირობებიდან.

მცირე ბლანტი ხახუნის შემთხვევაში  $n_1$  და  $n_2$  რიცხვები 7.8 ტოლობებში მცირეა და შესაბამისად მცირე გავლენას ახდენენ სისტემის რხევების სიხშირეებზე. ამიტომ  $p_1$  და  $p_2$  შეიძლება მივიღოთ, როგორც რხევების სიხშირეები, სისტემაში წინააღმდეგობის არსებობის გარეშე.

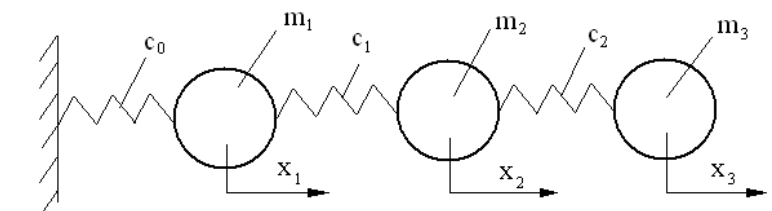
თუ კი გვაქვს სისტემა ძალიან დიდი ბლანტი ხახუნით, მაშინ შესაძლებელია ორი ან ყველა ოთხივე ფესვი 7.8 ტოლობებში იყოს ნამდვილი და უარყოფითი. შესაბამისად, მოძრაობა იქნება აპერიოდული

7.9 განტოლებებიდან ჩანს, რომ თავისუფალი რხევები თანდათან მიიღევა დროში და პრაქტიკულად საქმე გვაქვს იძულებითი რხევების დამყარებულ პროცესთან  $F_0 \sin \omega t$  ძალის მოქმედებით. ეს იძულებითი რხევები განისაზღვრება, როგორც 7.3 განტოლების კერძო ამონასნები, რომელთაც აქვთ შემდეგი სახე:

$$\begin{aligned}x_1 &= C_1 \sin \omega t + C_2 \cos \omega t, \\x_2 &= C_3 \sin \omega t + C_4 \cos \omega t.\end{aligned}\quad 7.10$$

ამ ტოლობების ჩასმით 7.3 სისტემაში, და,  $\sin \omega t$  და  $\cos \omega t$  -ს კოეფიციენტების ნულთან გატოლებით მივიღებთ ოთხ ალგებრულ განტოლებას ოთხი  $C_1, C_2, C_3$  და  $C_4$  მუდმივების განსასაზღვრავად. ამ განტოლებების ამოხსნით და მათი ჩასმით 7.10-ში საბოლოოდ მივიღებთ სისტემის საძიები იძულებითი რხევების ადმინ განტოლებებს.

## §8. სამი თავისუფლების ხარისხის მქონე ვიბრაციული სისტემების მაგალითად განვიხილოთ ნახ. 8.1-ზე მოყვანილი სქემა. სქემაზე გამოსახულია სისტემა, რომელიც შედგება სამი მყარი მასისაგან, შეერთებული ერთმანეთთან წრფივად დრეპადი ელემენტებით (მაგალითად რესორებით). ავღნიშნოთ მასები $m_1, m_2$ და $m_3$ -თი, მათი გადაადგილება კი წონასწორობის მდებარეობებიდან ჰორიზონტალური $x$ დერძის გასწვრივ, ხახუნის გარეშე, $x_1, x_2$ და $x_3$ -თი. დრეპადი ელემენტები, რომლითაც მასები ერთმანეთთან არიან დაკავშირებულნი არის $c_0, c_1$ და $c_2$ როგორც ეს ნახაზზეა ნაჩვენები.



ნახ. 8.1

მოძრაობების განტოლებათა შესადგენად აქაც ვიყენებთ ლაგრანჯის მეორე გვარის განტოლებას. პირველ რიგში მოვდენოთ სისტემის კინეტიკური ენერგია, რომელსაც ექნება შემდგენ სახე:

$$T = \frac{m_1 x_1^2}{2} + \frac{m_2 x_2^2}{2} + \frac{m_3 x_3^2}{2}. \quad 8.1$$

მასების რხევების პროცესში ზამბარებში ვითარდება  $c_0 x_1$ ,  $c_1(x_2 - x_1)$  და  $c_2(x_3 - x_2)$  ძალები, ამიტომ სისტემის პოტენციური ენერგია გამოისახება შემდეგნაირად:

$$H = \frac{c_0 x_1^2}{2} + \frac{c_1(x_2 - x_1)^2}{2} + \frac{c_2(x_3 - x_2)^2}{2}. \quad 8.2$$

8.1 და 8.2 ტოლობების ჩასმით დაგრანულის განტოლებაში, საბოლოოდ, მივიღებთ მასების მოძრაობათა შემდეგ დიფერენციალურ განტოლებათა სისტემას:

$$\begin{aligned} m_1 \ddot{x}_1 + c_0 x_1 - c_1(x_2 - x_1) &= 0; \\ m_2 \ddot{x}_2 + c_1(x_2 - x_1) - c_2(x_3 - x_2) &= 0; \\ m_3 \ddot{x}_3 + c_2(x_3 - x_2) &= 0. \end{aligned} \quad 8.3$$

განტოლებათა 8.3 სისტემის გამარტივების მიზნით გავყოთ მასში შემავალი შესაბამისი განტოლებები  $m_1$ ,  $m_2$  და  $m_3$  მასებზე და შემოვიდოთ აღნიშვნები გადაცემის კოეფიციენტების სახით:

$$\frac{c_0 + c_1}{m_1} = k_{11}, \quad \frac{c_1}{m_1} = k_{12}, \quad \frac{c_1 + c_2}{m_2} = k_{21}, \quad \frac{c_1}{m_2} = k_{22}, \quad \frac{c_2}{m_2} = k_{23}, \quad \frac{c_2}{m_3} = k_{33}$$

მაშინ 8.3 განტოლებები მიიღებენ შემდეგ სახეს:

$$x_1 + k_{11} x_1 - k_{12} x_2 = 0;$$

$$\begin{aligned} x_2 - k_{21} x_1 + k_{22} x_2 - k_{23} x_3 &= 0; \\ x_3 - k_{33} x_2 + k_{33} x_3 &= 0. \end{aligned} \quad 8.4$$

8.4 განტოლებები წარმოადგენენ დიფერენციალურ განტოლებებს მუდმივი კოეფიციენტებით. ეს განტოლებები შესაძლებელია ამოვხსნათ პერძო ამონასნებით, რომელთაც აქვთ შემდეგი სახე:

$$\begin{aligned} x_1 &= A \sin(pt + \varphi); \\ x_2 &= B \sin(pt + \varphi); \\ x_3 &= C \sin(pt + \varphi). \end{aligned} \quad 8.5$$

თუ 8.5 ტოლობებს ჩავსვამო 8.4-ზო, მივიღეთ:

$$\begin{aligned} -Ap^2 \sin(pt + \varphi) + Ak_{11} \sin(pt + \varphi) - Bk_{12}(pt + \varphi) &= 0, \\ -Bp^2 \sin(pt + \varphi) - Ak_{21} \sin(pt + \varphi) + Bk_{22} \sin(pt + \varphi) - Ck_{23} \sin(pt + \varphi) &= 0, \\ -Cp^2 \sin(pt + \varphi) - Bk_{33} \sin(pt + \varphi) + Ck_{33} \sin(pt + \varphi) &= 0. \end{aligned} \quad 8.6$$

8.5 განტოლებები დააგმაყოფილებს 8.4 განტოლებათა სისტემას დროის ნებისმიერ მომენტში იმ შემთხვევაში, თუ დაკმაყოფილდება შემდეგი ალგებრული განტოლებები:

$$\begin{aligned} A(k_{11} - p^2) - Bk_{12} &= 0; \\ -Ak_{21} + B(k_{22} - p^2) - Ck_{23} &= 0; \\ -Bk_{33} + C(k_{33} - p^2) &= 0. \end{aligned} \quad 8.7$$

8.7 განტოლებები  $A$ ,  $B$  და  $C$  კოეფიციენტებისათვის მოგვცემს

ნულისგან განსხვავებულ ამონასნენს იმ შემთხვევაში თუ 8.6  
სისტემის განმსაზღვრელი

$$\begin{bmatrix} (k_{11} - p^2) & -k_{12} & 0 \\ -k_{21} & (k_{22} - p^2) & -k_{23} \\ 0 & -k_{33} & (k_{33} - p^2) \end{bmatrix} = 0. \quad 8.8$$

ანუ

$$(k_{11} - p^2)(k_{22} - p^2)(k_{33} - p^2) - (k_{11} - p^2)k_{23}k_{33} - (k_{33} - p^2)k_{12}k_{21} = 0. \quad 8.9$$

გაშლილი სახით 8.9 განტოლება მიიღებს შემდეგ  
სახეს :

$$p^6 - (k_{11} + k_{22} + k_{33})p^4 + [k_{11}(k_{22} + k_{33}) + k_{33}(k_{22} + k_{23}) - k_{12}k_{21}]p^2 - 8.10 \\ - k_{33}[k_{11}(k_{22} - k_{23}) - k_{12}k_{21}] = 0.$$

8.10 წარმოადგენს კუბურ განტოლებას  $p^2$ -ს მიმართ.  
შემოვიდოთ აღნიშვნები

$$(k_{11} + k_{22} + k_{33}) = \alpha;$$

$$[k_{11}(k_{22} + k_{33}) + k_{33}(k_{22} + k_{23}) - k_{12}k_{21}] = \beta;$$

$$k_{33}[k_{11}(k_{22} - k_{23}) - k_{12}k_{21}] = \gamma; \quad p^2 = \xi,$$

მაშინ 8. 10 ტოლობა ჩაიწერება შემდეგნაირად:

$$\xi^3 - \alpha\xi^2 + \beta\xi - \gamma = 0. \quad 8.11$$

ეს უკანასკნელი  $\xi$ -ს მიმართ არის კუბური განტოლება და  
იწოდება სისტემის სისტემირის განტოლებად. მისი ფენიგები სის-

ტემის თვისუფლების ხარისხის, ანუ სამის ტოლია. ეს სისტე-  
რები  $\xi_{1,2,3}$  და განლაგებულნი არიან ზრდის თანმიმდევრო-  
ბით. განსახილველი სისტემისათვის, რომელიც ასრულებს რხე-  
ვებს მდგრად მდგომარეობასთან ახლოს ყველა ეს ფენიგები  
ნამდვილი და დადებითია. 8.11-ში შემავალი მუდმივი კოეფიცი-  
ენტები  $\alpha, \beta, \gamma$  არიან განხილული სისტემის მასებისა და  
სისტემებისაგან შედგენილი სიდიდეები.

8.11 განტოლება ცხადია კვადრატურული არ ამო-  
ისხნება, მაგრამ თანამედროვე კომპიუტერული ტექნიკისა და  
მასზე განტოლებების ამოსხის მრავალფეროვანი მეთოდების  
არსებობის დროს მისი ამოსხია და შესაბამისად ფენიგების  
მიღება სირთულეს არ წარმოადგენს.

ამ პარაგრაფში განვიხილეთ მექანიკური რხევითი სის-  
ტემა სამი თავისუფლების ხარისხით, რომელშიც არ მოქმედებ-  
დნენ რამე სახით წინააღმდეგობის ძალები. ასეთი სისტემები  
იწოდებიან იდეალურ სისტემებად და ცხადია პრაქტიკაში არ  
არსებობენ. რეალურად, სიტემებში, ნებისმიერი თავისუფლების  
ხარისხით, ყოველთვის მოქმედებს წინააღმდეგობის ძალები  
გარეშე ან შინაგანი ძალების სახით. ასეთი სისტემები განხი-  
ლული გვქონდა ორი თავისუფლების ხარისხის მქონე მექანი-  
კურ რხევით სისტემებში. იქ მოყვანილი სისტემის მოძრაობის  
დროს დემპვირების გათვალისწინების ყველა მეთოდები ძალა-  
შია ამ შემთხვევაშიც. პრინციპული განსხვავება ორი და სამი  
თავისუფლების ხარისხის შემთხვევებში არ არსებობს. ამიტომ

მათ გამეორებას აქ თავს ავარიდებთ და დემპფირების მახასი-ათებლებს პირდაპირ შემოვიტანთ გამზადებული სახით.

იგივე შექება სამი თავისუფლების ხარისხის მქონე სისტემის აღგზნებას, გარეშე მოქმედი ძალებით. ესეც ანალო-გიურია ორმასიან სისტემაში განხილული მეთოდის.

## §9. არაწრფივი ვიბრაციული სისტემები ერთი თავისუფლების ხარისხით

წინა პარაგრაფებში რჩევებშე ამოცანების განხილვის დროს ყველაზე იგულისხმებდა, რომ დრეკადი კავშირების რეაქცია დეფორ-მაცის პროპორციული იყო.

ამასთან ერთად, ბოგორით შემთხვევაში ასევე იგულისხმებოდა, რომ არადრეკადი წინააღმდეგობის, ანუ ხახუნის ძალები იყო მოძრა-ობის სიჩქარის წრფივი ფუნქცია. ამ დაშვებების საფუძველზე სისტემის რჩევები აღიწერებოდა წრფივი დიფერენციალური განტოლებებით, რომელთაც გააჩნდათ მულტიპი კოეფიციენტები. არსებობს მრავალი პრაქტიკული ამოცანა, რომლებშიაც ეს დაშვებები საკმაოდ დამაკმაყო-ფილებლად გამოსახავენ რეალურ პირობებს. ამასთან ერთად, არსე-ბობენ აგრეთვე სისტემები, რომლებშიც წრფივ დიფერენციალურ განტო-ლებებს მუდმივი კოეფიციენტებით არ ძალურთ აღწერონ სისტემის რეალური მოძრაობები, რის გამოც რჩევების ბოგადი გამოკვლევები

მოითხოვს ასეთ სისტემებში გამოყენებული იქნას არაწრფივი დიფერენ-ციალური განტოლებები. ასეთი სისტემები იწოდებიან არაწრფივი მახა-სიათებლის მქონე სისტემებად. ამ სისტემების მაგალითები პრაქტიკაში საკმაოდ ხშირად გხვდება. მკაცრი განმარტებით რომ შევაფასოთ, წრფივი სისტემები არსებობს დაფვირთვების მხოლოდ გარკვეულ ზღვრებში, რის შემდეგ სისტემა ხასიათდება არაწრფივობით, ანუ აღმდგენი ღრუჟადი ძალა არ არის სისტემის წონასწორობის მდგრმა-რეობიდან გადაადგილების პროპორციული.

განვიხილოთ უმარტივესი არაწრფივი სისტემა ერთი თავი-სუფლების ხარისხით. მასის ტვირთი დამაგრებულია არაწრფივ გამბარაზე. გამბარის დრეკადობის მახასიათებელი, ანუ დამოკიდებუ-ლება  $F$  ძალისა  $x$  გადაადგილებაზე, შეიძლება მოცემული იყოს გრაფიკულად ან ანალიტურად. იმისდამიხედვით, თუ როგორაა განლაგებული ეს მახასიათებელი კოორდინატთა დერძების მიმართ, იგი შეიძლება იყოს სიმეტრიული, ან არასიმეტრიული. თუ  $\left(\frac{dF}{dx}\right)$  მცირდება  $x$  - ის გრძელითან ერთად, მაშინ მახასიათებელი იწოდება რბილად, ხოლო როცა პირიქითად - ხისტად.

კონსერვატორული სისტემის (ხახუნის გარეშე) თავისუფალი რჩევების განტოლებას აქვს შემდეგი სახე:

$$m\ddot{x} + F_0(x) = 0.$$

ან:

$$\ddot{x} + F(x) = 0,$$

9.1

9.1 განტოლების ამოხსნის სირთულის გამო ჩვეულებრივ აკმაყოფილებიან თავისუფალი რხევების სიხშირის გამოთვლით, თვით რხევების პროცესის მიმდინარეობის დეტალების გარკვევის გარშე, რაც მრავალ პრაქტიკულ შემთხვევაში საჭებით საკმარისია.

თუ აჩქარებას გამოვსახავთ შემდეგი სახით:

$$\ddot{x} = \frac{dv}{dt} = \frac{dv}{dx} \cdot \frac{dx}{dt} = \frac{dv}{dx} v,$$

სადაც  $v$  - სიჩქარეა, 8.1 განტოლების ნაცვლად მივიღებთ:

$$v \frac{dv}{dx} + F(x) = 0. \quad 9.2$$

ცვლადების დაყოფის შედეგად მივიღებთ:

$$v dv = -F(x)dx.$$

ინტეგრირების დასაწყისი შევარჩიოთ იმ მომენტისათვის, როდესაც  $x$  გადაადგილება არის მაქსიმალური ( $x_{\max} = a$ ), ხოლო სიჩქარე ტოლია ნულის ( $v = 0$ ). მაშინ:

$$\int_0^v v dv = - \int_0^x F(x) dx,$$

ან

$$\frac{v^2}{2} = - \int_a^x F(x) dx = \int_x^a F(x) dx.$$

უკანასკნელი მიღებული ტოლობა გამოხატავს ენერგიის შენახვის კანონს: მარტენა ნაწილში მოთავსებულია კინეტიკური ენერგია, რომელიც დაგროვილია მოძრაობის პროცესში სისტემის განაპირობების მდებარეობიდან ( $x = a; v = 0$ ). მიმდინარე მდებარეობამდე ( $x; v$ ), ხოლო მარჯვენა ნაწილში პოტენციური ენერგია, დაკარგული იმავე მოძრაობის პროცესში. ენერგიის ეს ნაწილი დაშტრიხული ფართობის

სახით ნაჩვენებია არაწრფივი აღმდგენი ძალის მახასიათებლის გრაფიკი (ნახ. 8.1). ბოლო გამოსახულებიდან მივიღებთ:

$$v = \frac{dx}{dt} = - \sqrt{2 \int_x^a F(x) dx}. \quad 9.3$$

ფისკის წინ ნიშნების ორი შესაძლო მნიშვნელობიდან აღებულია მინუსი იმის გამო, რომ მოძრაობის განსახილველ ინტერვალზე სიჩქარე არის უარყოფითი.

$$F(x)$$

	0	x	a	x
მოძრაობის				
მიმართულება				

ნახ. 9.1

9.3 განტოლების ინტეგრირება გვაძლევს  $t$  დროის მნიშვნელობას  $x$  გადაადგილების ფუნქციაში:

$$t = - \int_a^x \frac{dx}{\sqrt{2 \int_x^a F(x) dx}} = \int_x^a \frac{dx}{\sqrt{2 \int_x^a F(x) dx}}. \quad 9.4$$

თუ მოვახდეთ ინტეგრირებას  $x = 0$  - დან  $x = a$  - მდე, მაშინ სიმეტრიული მახასიათებლის მქონე სისტემისათვის შეიძლება მოვძებნოთ მთლიანი რხევის მეოთხედი დრო (პერიოდის მეოთხედი). შესაბამისად რხევის მთლიანი პერიოდი ტოლი იქნება:

$$T = 2\sqrt{2} \int_0^a \frac{dx}{\sqrt{\int_x^a F(x) dx}}; \quad 9.5$$

ეს ფორმულა შესაძლებლობას იძლევა მოვძებნოთ თავისუფალი რხევების პერიოდსა და მათ ამპლიტუდებს შორის გუსტი დამოკიდებულება.

მაგალითისათვის განვიხილოთ სისტემის რხევები არაწრფივი აღმდენი ძალის კებური მახასიათებლის შემთხვევაში, ანუ როდესაც  $F(x) = \beta x^3$ . შესაბამისად 9.5 - ღან მივიღებთ:

$$T = \frac{4}{a} \sqrt{\frac{2}{\beta}} \int_0^1 \frac{dx}{\sqrt{1 - \left(\frac{x}{a}\right)^4}}. \quad 9.6$$

ამ გამოსახულებაში შემავალი ელიფსური ინტეგრალი შეიძლება გამოვთვალოთ სპეციალური ფუნქციების ცხრილების დამარებით; მისი მნიშვნელობაა  $1,8541/\sqrt{2}$ . შესაბამისად:

$$T = \frac{4}{a\sqrt{\beta}} 1,8541. \quad 9.7$$

თავისუფალი რხევების სიხშირისათვის მივიღებთ:

$$p = \frac{2\pi}{T} = 0,8472a\sqrt{\beta}, \quad 9.8$$

ანუ, სიხშირე წრფივად იმრღება ამპლიტუდის გრძასთან ერთად.

მოყვანილი განტოლებები საშუალებას იძლევა აფრთვებ, გამოვსახოთ მოძრაობის ტრაექტორიების ოჯახი კოორდინატებში  $v - x$ , ანუ როგორც მას უწოდებენ მოძრაობის ფაზური გრაფიკორიების სახით.

ფაზური ტრაექტორიების მისაღებად 9.1 ძირითადი განტოლება წარმოვადგინოთ პირველი რიგის ორ განტოლებად:

$$\frac{dx}{dt} = v; \quad \frac{dv}{dt} = -F(x).$$

თუ გავყოფთ მეორე განტოლებას პირველზე, მივიღებთ ფაზური ტრაექტორიის დიფერენციალურ განტოლებას:

$$\frac{dv}{dx} = - \frac{F(x)}{v};$$

ამ უკანასკნელ განტოლებაში  $t$  დრო არ შედის. ინტეგრალური მრუდების ერთობლიობა კი შეაღებს სისტემის ფაზურ პორტრეტს. რადგან ცვლალები შეიძლება დაიყოს, შესაბამისად შეგვიძლია მივიღოთ:

$$v^2 = -2 \int F(x) dx + C.$$

მუდმივი  $C$  განისაზღვრება ერთი საწყისი პირობიდან:  $v = v_0$ , როდესაც  $x = x_0$ , ასე, რომ ყოველ  $x_0$ ,  $v_0$  კონკრეტულ კომბინაციას შეესაბამება გარკვეული ინტეგრალური მრუდი.

არაწრფივი სისტემის კებური მახასიათებლისათვის, ე.ი.  $F(x) = \beta x^3$ , გვექნება:

$$v^2 = -\frac{\beta x^4}{4} + C.$$

$C$  მუდმივის განსაზღვრისათვის ჩაგისეთ ამ გამოსახულებაში  $x = x_0$  და  $v = v_0$ , რის შედეგად მივიღებთ:

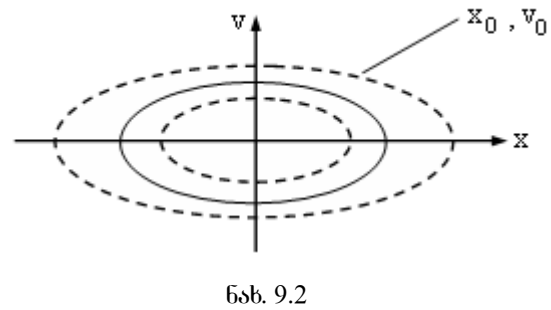
$$C = \frac{\beta x_0^2}{4} + v_0^2.$$

თუ ამ უკანასკნელს ჩაესვამთ მის წინა გამოსახულებაში, მივიღებთ:

$$v^2 = \frac{\beta}{4} (x_0^4 - x^4) + v_0^2,$$

$$v = \pm \sqrt{\frac{\beta}{4} (x_0^4 - x^4) + v_0^2}.$$

ნახ. 8.2 - გე უწყვეტი ხაზით ნაჩვენებია ტიპური მრუდი  $v(x)$ , რომელიც გამოსახავს ფაზურ ტრაექტორიას გარკვეული საწყისი პირობების,  $x_0$  და  $v_0$  შემთხვევაში. ამ პირობების ცვლილებით ფაზური ტრაექტორის მრუდები მიიღებენ ნახაგგე გამოსახული წყვეტილი ხაზების სახეს.



## §10. ვიბრაციული სისტემების რხევები, რომელთა დრეკალობის მახასიათებლები შედგება ცალკეული წრფივი უბნებისაგან

მაგალითისათვის განვიხილოთ სისტემა, გამოსახული ნახ. 10.1 ა) - გე. დრეკალი  $F$  ძალა, რომელიც მოქმედებს ტვირთებე (ნახ.10.1 ბ), განისაზღვრება  $x$  გადაადგილებაზე დამოკიდებულების შემდეგი ფორმულებით:

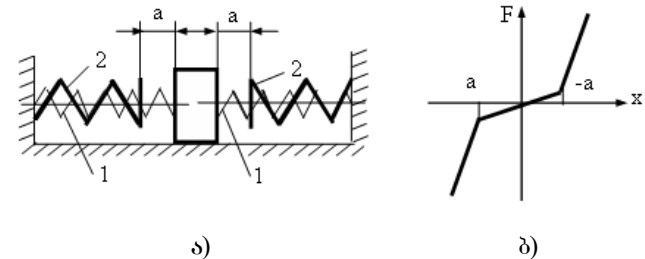
$$\text{როდესაც } |x| \leq a \quad F(x) = c_1 x,$$

$$\text{როდესაც } |x| \geq a \quad F(x) = c_1 x + c_2(|x| - a) \operatorname{sgn} x.$$

აქ  $\operatorname{sgn} x$  - არის  $x$  გადაადგილების ნიშანი ( $\operatorname{sgn} x > 0$   $\operatorname{sgn} x = 1$ ,  $\operatorname{sgn} x < 0$   $\operatorname{sgn} x = -1$ ,  $\operatorname{sgn} 0 = 0$ ),  $c_1$  ორივე 1 გამბარის სიხისფერი,  $c_2$  - სიხისფერ ერთ-ერთის 2 გამბარებიდან. ცადია, რომ თუ ტვირთის რხევის ამპლიტუდა ნაკლებია  $a$  დრეჩომზე, მაშინ ტვირთი

ასრულებს თავისუფალ ჰარმონიულ რხევებს  $p_1 = \sqrt{\frac{c_1}{m}}$  სიხშირით,

რომელიც არაა დამოკიდებული ამპლიტუდაზე. ამიტომ განვიხილოთ შემთხვევა, როდესაც რხევის ამპლიტუდა  $A$  მეტია  $a$  - გე.



ნახ. 10.1

დავუშვათ, ტვირთი მარცხენა განაპირობებიდან გავათავისუფლეთ საწყისი სიჩქარის მინიჭების გარეშე. მაშინ  $x \geq a$  დროს სამართლიანი იქნება შემდეგი ტოლობა:

$$mx + c_1 x + c_2(x - a) = 0, \quad 10.1$$

რომელიც მოითხოვს გაინტეგრალებას საწყისი პირობებით  $x_0 = a$ ,  $x = 0$ .

შესაბამის ამონახსნს აქვს შემდეგი სახე:

$$x = \frac{c_2}{c_1 + c_2} a (1 - \cos p_2 t) + A \cos p_2 t, \quad 10.2$$

სადაც:

$$p_2 = \sqrt{\frac{c_1 + c_2}{m}}.$$

თუ გავუმოლებთ  $x = a$ , მოვმებნით იმ  $t^*$  დროს, რომლის განმავლობაშიც ტვირთი მოსცილდება 2 გამბარას, ანუ:

$$a = \frac{c_2}{c_1 + c_2} a (1 - \cos p_2 t^*) + A \cos p_2 t^*,$$

საიდენტობა

$$t^* = \frac{1}{p_2} \arccos \frac{c_1 a}{(c_1 + c_2) A - c_2 a}. \quad 10.3$$

ამ მომენტისათვის ტვირთის სიჩქარე იქნება:

$$\begin{aligned} x_* &= p_2 \left[ a \frac{c_2}{c_1 + c_2} - A \right] \sin p_2 t^* = \\ &= p_2 \left( A - a \frac{c_2}{c_1 + c_2} \right) \sqrt{1 - \left[ \frac{c_1 a}{(c_1 + c_2) A - c_2 a} \right]^2}. \end{aligned} \quad 10.4$$

ამ მომენტიდან დაწყებული ტვირთი მოძრაობს მხოლოდ 1 გამბარების მოქმედებით და შესაბამისად მოძრაობის განფოლებას ექნება შემდეგი სახე:

$$mx' + c_2 x = 0. \quad 10.5$$

თუ აღვნიშნავთ  $\zeta = t - t^*$ , 9.5 განტოლების ინტეგრირებისათვის გვაქნეს შემდეგი პირობები:

როდესაც  $\zeta = 0$ ,  $x = a$ ;  $x = x_*$ .

შესაბამისად:

$$x = a \cos p_1 t + \frac{x_*}{p_1} \sin p_1 t, \quad 10.6$$

სადაც:

$$p_1 = \sqrt{\frac{c_1}{m}}.$$

ტვირთის მოსცლის მომენტს შეა  $\zeta_*$  მდებარეობაში გავიგებთ  $x = 0$  პირობიდან, საიდენტობა

$$\zeta_* = \operatorname{arctg} \left( -\frac{x_*}{p_1 a} \right).$$

დახარჯელი მოდეინი დრო, ტვირთის მიერ მარჯვენა განაპირა მდებარეობიდან შეა მდებარეობამდე გადასცლისას, ცხადია, შეადგენს რხევის პერიოდის მეოთხედს და უდრის:

$$\frac{T}{4} = t^* + \zeta_*.$$

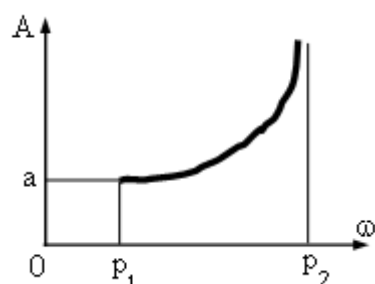
მარტივი გარდაქმნების შედეგად მივიღებთ:

$$\begin{aligned} \frac{T}{4} &= \frac{1}{p_2} \arccos \frac{c_1 / c_2}{\left(1 + c_1 / c_2\right) \frac{A}{a} - 1} + \\ &+ \frac{1}{p_1} \arcsin \sqrt{\frac{c_1 / c_2 \left(1 + c_1 / c_2\right)}{\left[\left(1 + c_1 / c_2\right) \frac{A}{a} - 1\right]^2 + c_1 / c_2}}. \end{aligned} \quad 10.7$$

$$\text{როგორც } 10.7 \text{ გთლობიდან ჩანს, როდესაც } A \rightarrow a, T \rightarrow \frac{2\pi}{p_1},$$

ხოლო როდესაც  $A \rightarrow \infty, T \rightarrow \frac{2\pi}{p_2}$ . ამრიგად, რხევის ძირითადი

სიხშირე  $\omega_* = \frac{2\pi}{T}$  იცვლება ამპლიტუდის ცვლილებასთან ერთად  $p_1$  - დან  $p_2$  - მდე.  $\omega_*(A)$  დამოკიდებულების გრაფიკი ნაჩვენებია 10.2 ნახაგებ; ეს გრაფიკი იწოდება ჩონჩხურ მრუდად.



ნახ. 10.2

მეთოდი, რომლითაც ამ ამოცანის ამოხსნის დროს ვისარგებლეთ, იმაში მდგომარეობდა, რომ მოძრაობის თითოეულ უბანზე შესაბამისი წრფივი დიფერენციალური განტოლება ბუსტად იხსნებოდა. ამავე დროს მუდმივები ყოველ შემდგომ უბანზე განისაზღვრებოდა გადაადგილებისა და სიჩქარის უწყვეტობის პირობიდან გამომდინარე. ამ მეთოდს მორგების მეთოდი ეწოდება.

## §11. ვიბრაციული არაწრფივი სიტემების იძულებითი რხევები

განვხილოთ არაწრფივი სისტემის იძულებითი რხევები, რომელზეც მოქმედებს ჰარმონიული გარეშე ძალა

$$P(t) = P_0 \sin \omega t. \quad 11.1$$

უმარტივეს შემთხვევაში, როდესაც დემპფირების ძალა ნულის ტოლია, რხევის დიფერენციალურ განტოლებას უქნება შემდეგი სახე:

$$x + F(x) = \frac{P_0}{m} \sin \omega t. \quad 11.2$$

ამ განტოლებას არაწრფივი სისტემის თავისუფალი რხევების განტოლებისაგან განსხვავებით ბუსტი ამონახსნი არ გააჩნია. ამიტომ განვიხილოთ მხოლოდ მიახლოებითი მეთოდით ამოხსნა. აქეე აღნიშნოთ, რომ მარტივი ჰარმონიული ძალის მოქმედების შემთხვევაშიც კი, რხევის კანონი გვექნება სხვადასხვა შემდგენები. პირველ რიგში უნდა გამოყენოთ ძირითადი რხევა, რომლის სიხშირე აღმგზნები ძალის ასიბშირეს ემთხვევა. შემდეგ აღვიდი აქეე ვწ. სუპერჰარმონიულ რხევებს 2ω, 3ω, 4ω სიხშირით. სუპერჰარმონიული რხევის სიხშირე მიიღება ძირითადი სიხშირის მთელ რიცხვზე გამრავლებით. კიდევ ერთ შემდგენს წარმოადგენს სუბჰარმონიული რხევა, რომლის სიხშირე ძირითადთან შედარებით მთელ რიცხვზე ნაკლებია, ე.ო. ტოლია  $\omega/2$ ,  $\omega/3$ ,  $\omega/4$  და  $\omega/5$ .

არაწრფივი რხევების სპექტრში შეიძლება გვქონდეს სუპერსუბჰარმონიული შემდგენიც  $a/b$  სიხშირით, სადაც  $a$  და  $b$  მთელი ურთიერთმარტივი რიცხვებია.

ყველა აღნიშნული რხევითი რეჟიმი წარმოქმნება მაშინ, როდესაც თავისუფალ რხევათა რიცხვი უახლოვდება იტულებით რხევათა რიცხვს, მაგრამ, როგორც ზემოთ იყო აღნიშნული, არაწრფივ სისტემაში თავისუფალ რხევათა სიხშირე ცვალებადი სიდიდეა, რადგან წარმოადგენს ამპლიტუდის ფუნქციას. მაშინადამე, არაწრფივ სისტემაში არა გვაქვს ის სტაბილური სიხშირე, რომელიც უბრუნველყოფს მაქსიმალურ ამპლიტუდას, ანუ არაწრფივ სისტემაში არ შეიძლება გვქონდეს რეზონანსი ჩვეულებრივი გაგებით. რხევის ამპლიტუდის ყოველი მოცემული დონისათვის გვაქვს თავისუფალ რხევათა სიხშირე  $p$ , რომელიც წარმოქმნის კრიტიკულ “რეზონანსულ” რეჟიმს იტულებით რხევის შემდეგი სიხშირეების დროს: ძირითად “რეზონანსს”, როდესაც  $\omega_0 = p$  და  $x_0 = 0$ , სუპერ ან სუპერსუბ “რეზონანსებს”, როდესაც

$$\omega_0 = bp; \omega_0 = p/b; \omega_0 = ap/b.$$

ყველა ზემოთ ჩამოთვლილი კრიტიკული რეჟიმი შეიძლება იყოს მდგრადი ან არამდგრადი, რისი დადგენაც შეიძლება მიახლოებითი ანალიტური მეთოდების საშუალებით.

განვიხილოთ სისტემის ძირითადი რხევები. ამ შემთხვევაში 11.2 განტოლების მიახლოებითი ამოხსნა უნდა მივიღოთ შემდეგი სახით:

$$x = A \sin \omega t, \quad 11.3$$

სადაც  $A$  არის უცნობი ამპლიტუდა.

ამოხსნის ასეთი სახე პრაქტიკული მოსამარებებით საჭირო მისაღებია, რადგან პირველ რიგში მოსალოდნებია ძალის ცვალებადობის კანონის შესაბამისი ციკლური გადაადგილება. გამოვიყენოთ პარმონიული ბალანსის მეთოდი. 11.3 ჩავსვათ  $F(x)$  ფუნქციაში და მიღებული პერიოდული ფუნქცია დავშალოთ ფურიეს მწკრივად. ამ თანამდებობის კორექტულად ჩასატარებლად, თავისთავად ცხადია, უნდა შესრულდეს

ყველა ის ცნობილი პირობა, რომელიც ასეთი დაშლის დროს არის აუცილებელი. პირველი მიახლოებით:

$$F(A \sin \omega t) \approx b_1 \sin \omega t,$$

სადაც:

$$b_1 = \frac{2}{T} \int_0^T F(A \sin \omega t) \sin \omega t dt. \quad 11.4$$

ამის შემდეგ 10.1 განტოლებაში შესაბამისი მნიშვნელობების ჩასრით მივიღებთ

$$-A\omega^2 + \frac{2}{T} \int_0^T F(A \sin \omega t) \sin \omega t dt = \frac{p_0}{m}. \quad 11.5$$

ამ ფოლობის ინტეგრირების შემდეგ გავქმნება აღვებრული განტოლება  $A$  - ს მიმართ, რომლის ამოხსნა არ წარმოადგენს რაიმე პრინციპულ სიძნელეს. მაგალითისათვის განვიხილოთ ფუნქცია:

$$F(x) = p_0^2(1 + \beta x^2)x,$$

რომელიც შეესაბამება აღმდეგნი დრეკადი ძალის ხისტ, სიმეტრიულ შახსიათებელს:

$$\begin{aligned} \int_0^T F(A \sin \omega t) \sin \omega t dt &= Ap_0^2 \int_0^T (1 + \beta A^2 \sin^2 \omega t) \sin \omega t dt = \\ &= \frac{A}{2} T \left( 1 + \frac{3}{4} \beta A^2 \right). \end{aligned}$$

საბოლოოდ მივიღებთ კუბურ განტოლებას:

$$-A(\omega^2 - p_0^2) + \frac{3}{4} p_0^2 \beta A^3 - \frac{p_0}{m} = 0, \quad 11.6$$

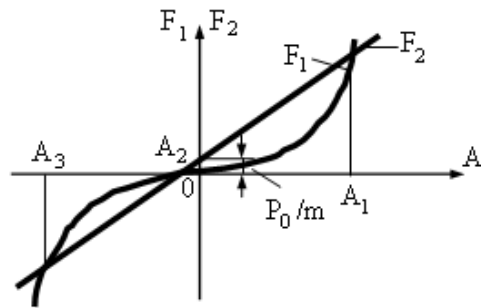
რომელსაც შეიძლება ჰქონდეს ერთი ან სამი ნამდვილი ფესვი. ეს კი დამოკიდებულია თ წრიული სიხშირის სიღრღვეზე.

11.5 განტოლების ამოხსნა გრაფიკულად შეიძლება წარმოვადგინოთ ისე, როგორც ეს ნაჩვენებია 10.1 ნახატზე.

$$\text{ალგორითმი: } F_1 = A \left( p_0^2 + \frac{3}{4} \beta A^2 \right); \quad F_2 = \frac{p_0}{m} + A \omega^2.$$

თუ ავაგებთ  $F_1$  და  $F_2$  ფუნქციების გრაფიკებს ცვალებადი  $A$  ამპლიტუდისათვის, მაშინ მათი გადაკვეთა მოგვცემს საძიებელ  $A_1, A_2, A_3$  ფესვებს.

სისტემის მოცემული  $p_0^2$ ,  $\beta$ ,  $P_0$ ,  $m$  პარამეტრების დროს  $F_2$  ფუნქციის კუთხური კოეფიციენტი დამოკიდებულია  $\omega$  - ზე. მაშასადამე, თუ ვცვლით  $\omega$  - ს, გადაკვეთა შეიძლება მოხდეს ერთ ან სამ წერტილ-

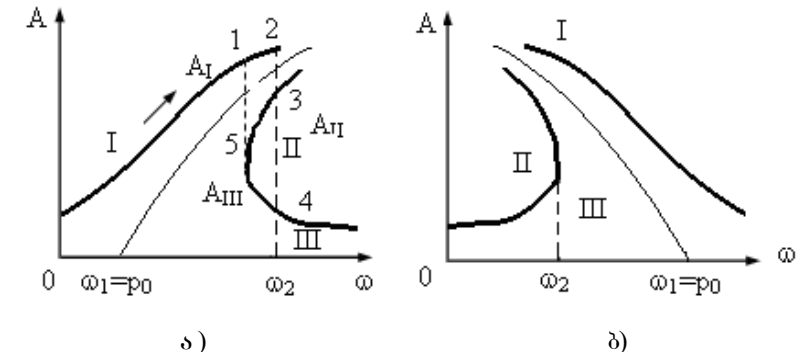


ნახ. 11.1

ში, ეს კი იმას ნიშნავს, რომ ერთი და იგივე  $\omega$  - ს შეესაბამება სამი რხევითი რეჟიმი  $A_1, A_2$  ან  $A_3$  ამპლიტუდით. თუ 10.5 განტოლებას თანმიმდევრულად ამოვხსნით სხვადასხვა  $\omega$  - სთვის და  $A$  - ს მნიშვნელობებს ავაგებთ ( $A, \omega$ ) კოორდინატთა სისტემაში, მივიღებთ ამპლიტულურ-სისტემულ მახსინათებელს.

11.2 ა) ნახაგბე ნაჩვენებია ასეთი მახსინათებელი ხისფი არა-წრფივობისათვის, 10.2 ბ) ნახაგბე კი რიცხვი არაწრფივობისათვის. მაგალითად,

$$F(x) = p_0^2(1 - \beta x^2)x.$$



ნახ. 11.2

პუნქტირი შეესაბამება დამოკიდებულების თავისუფალ რხევათა სიხშირესა და ამპლიტუდის შორის. ამ დამოკიდებულების მივიღებთ, თუ 10.5 განტოლებაში დავუშვებთ, რომ  $P_0 = 0$ ,  $\omega = p$ . მაშინ:

$$-Ap^2 + Ap_0^2 + \frac{3}{4}p_0^2\beta A^3 = 0,$$

ანუ

$$p^2 = p_0^2 \left( 1 + \frac{3}{4} \beta A^2 \right).$$

წერტილი  $\omega = p_0$  შეესაბამება წრფივი სისტემის საკუთარ რხევათა სიხშირეს. იმულებითი რხევათა ამპლიტუდა ყოველთვის შეზღუდულია ( $A \neq \infty$ ), რაც წარმოადგენს არაწრფივი სისტემის ერთ-

ერთ ძირითად დამახასიათებელ ნიშანს. როდესაც ვ იტრდება, A იცვლება 1 - ლი მრუდის მიხედვით.

ა 2 სიხშირის შემდეგ გვაქვს სამი ამპლიტუდა და შესაბამისად რჩევის სამი მოსალოდნელი რეჟიმი:

$$x_1 = A_1 \sin \omega t; \quad x_2 = A_{II} \sin \omega t; \quad x_3 = A_{III} \sin \omega t.$$

ამ რეჟიმებიდან თრი A<sub>I</sub> და A<sub>III</sub> ამპლიტუდით, რეალურად არის შესაძლებელი, A<sub>II</sub> ამპლიტუდა კი არამდგრადია. A<sub>I</sub> ამპლიტუდა ნახტომისებურად შემცირდება A<sub>III</sub> მნიშვნელობამდე (უბანი 2 - 4), რის შემდეგ 5 წერტილიდან ამპლიტუდა იცვლება III მრუდის მიხედვით. ამრიგად უბანი 3 - 5 - 4 არამდგრადია, ე.ი. მისი რეალიზაცია შეუძლებელია.

სხვა სურათი გვაქვს, როდესაც ვ მცირდება. ჯერ ამპლიტუდა იტრდება III მრუდის მიხედვით 5 წერტილამდე, შემდეგ იგი ნახტომისებურად იტრდება 5 - 1 უბნის შესაბამისად, საბოლოოდ კი მცირდება I მრუდის შესაბამისად.

როგორც ვხედავთ, მაქსიმალური ამპლიტუდა სიხშირის გრძის დროს მეტია, ვიღრე სიხშირის შემცირებისას. წრფივ სისტემაში, როგორც ვიცით, ამპლიტუდა ერთნაირად იტრდება ან მცირდება განურჩევლად იმისა, თუ როგორ იცვლება ვ. ყველა ზემოთ ჩამოთვლილი თვისება რჩება ძალაში რბილმახასიათებლიან სისტემაშიც, მაგრამ A = A(ω) ფუნქციის გრაფიკი გადაიხრუბა მარცხნივ. როგორც ხისტ, ისე რბილ მახასიათებელში I და II შტოები ერთმანეთთან არ გადაიკვეთებიან.

### დემპფირების გავლენა.

დემპფირების გავლენის პრინციპული შეფასებისათვის განვიხილოთ დემპფირების მარტივი სახე, როდესაც ხახუნის ძალა სიჩქარის პირველი ხარისხის პროპორციულია. არააწრფივი სიხისგვერდი, როგორც ადრე, აღვწეროთ კუბური პოლინომის სახით. მაშინ განტოლებას ექნება შემდეგი სახე:

$$x + 2hx + p_0^2(1 + \beta x^2)x = \frac{P_0}{m} \sin(\omega t + \alpha). \quad 11.7$$

ფაზური  $\alpha$  კუთხე აქ აღგთხების ძალის ფუნქციაში შეეცანილია მხოლოდ გამოთვლების გამარტივების მიზნით. ამოხსნა მიახლოებით შეიძლება ვეძებოთ მარტივი სინუსოიდის სახით:

$$x = A \sin \omega t. \quad 11.8$$

ჩავსვათ ეს მნიშვნელობა ძირითად განტოლებაში და გამოვიყენოთ პარმონიული ბალანსის მეთოდი. წინასწარ დავშალოთ:

$$\sin^2 \omega t = \frac{1}{4}(3 \sin \omega t - \sin 3\omega t);$$

$$\sin(\omega t + \alpha) = \sin \omega t \cos \alpha + \sin \alpha \cos \omega t.$$

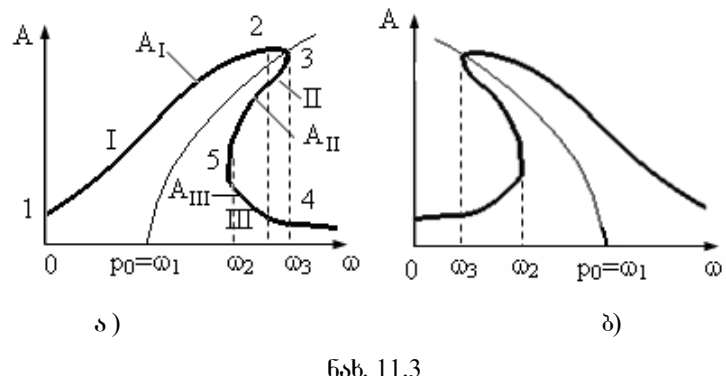
მაშინ სინუსისა და კოსინუსის კოეფიციენტების ჯამების ნულთან გაფოლებით მივიღებთ სისტემას:

$$\begin{aligned} (-\omega^2 + p_0^2)A + \frac{3}{4}\alpha A^3 &= \frac{P_0}{m} \cos \alpha; \\ 2h\omega A &= \frac{P_0}{m} \sin \alpha. \end{aligned} \quad 11.9$$

გამოვრიცხოთ ფაზური კუთხე  $\alpha$ , რისთვისაც განტოლებების მარჯვენა და მარცხენა მხარეები აკიყვანოთ კვადრატში და შევკრიბოთ;

გვექნება:

$$\left\{ \left[ (-\omega^2 + p_0^2) + \frac{3}{4} \alpha A^2 \right]^2 + 4h^2 \omega^2 \right\} A^2 = \frac{P_0^2}{m^2}; \\ \text{tg } \alpha = \frac{2h\omega}{(-\omega^2 + p_0^2) + \frac{3}{4} \alpha A^2}. \quad 11.10$$



ნახ. 11.3

11.9 - ს პირველი განტოლებიდან მოცემული  $\omega$  - ს დროს განისაზღვრება ამპლიტუდა  $A$ , ე.ი. აიგება ამპლიტუდურ-სიხშირული მახსიათებელი. მეორე განტოლება საშუალებას გვაძლევს დავაკავშიროთ ა ფაზა და ვ სიხშირე. 11.3(ა) ნახაზებებია დამოკიდებულება  $A$  - ს დრეკადი ძალის ხისტი, ხოლო 11.3 (ბ) ნახაზებებები კი რბილი მახსიათებლისათვის. ძირითადი განსხვავება ამპლიტუდურ-სიხშირულ მახსიათებლებს შორის დემპფირებულ და არადემპფირებულ

სისტემებში მდგომარეობის იმაში, რომ ძირითადი რეზონანსის გონიაში I და II უძნები გადაიკვეთება, ე.ი.  $\omega > \omega_3$  წრიული სიხშირის შემდეგ რხევის ამპლიტუდა მხოლოდ III უძნის შესაბამის მცირე მნიშვნელობებს მიიღებს.

## §12. ვიბრაციული სისტემების პარამეტრული რხევები

ხშირად მექანიკური სისტემის ძირითადი პარამეტრები, როგორიცაა სიხისტე, მასა, ინერციის მომენტი, უცვლელ სიდიდეებს კი არ წარმოადგენენ, არამედ არიან დროის წინასწარ ცნობილი ფუნქციები.

თუ ასეთ სისტემას გამოვიყვანთ წონასწორობის მდგომარეობიდან, მაშინ იგი შეასრულებს თავისებურ რხევებს: ერთი მხრივ, ასეთ რხევებს არ შეიძლება ვერტიდოთ თავისუფალი, რადგან სისტემა არ არის ავტონომიური და განიცდის მოცემულ გარეშე ზემოქმედებას პარამეტრის ცვლილების სახით, ხოლო მეორე მხრივ, იგი ასევე არ წარმოადგენს იძულებით რხევებს, რადგან გარეშე ზემოქმედება არ მედგრება მოცემული მოქმედი ძალის სახით. ასეთი რხევები იწოდებიან პარამეტრულ რხევებად და მათ, სისტემის თვისებებისა და მისი პარამეტრების ცვლილების ხასიათიდნ გამომდინარე, შეიძლება პრინციპით დროში როგორც შემჩვეული, ასევე ბრდადი პიკური მნიშვნელობები; უკანასკნელი წარმოადგენს პარამეტრულ რეზონანსს.

განვიხილოთ პარამეტრული სისტემის რამოლენიმე მაგალითი.

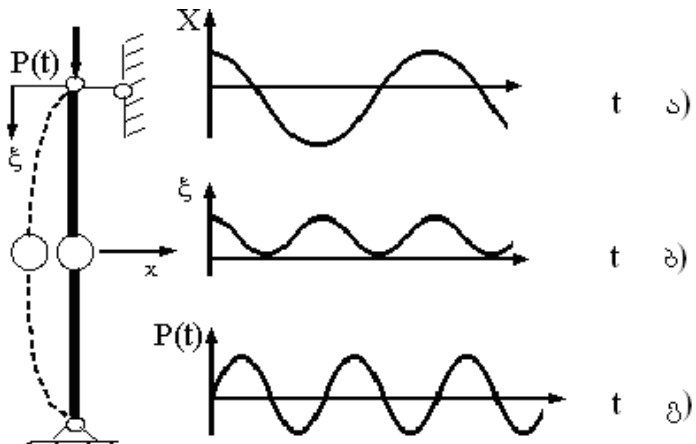
პარამეტრული რხევების მაგალითად შეიძლება განვიხილოთ დეროს დინამიკური არამდგრადობის მოვლენა, როდესაც პერიოდულად ცვალებადი გრძივი ძალის მოქმედებით დერო ასრულებს განივ რხევებს (ნახ. 12.1).

ისევე, როგორც ჩვეულებრივი რეზონანსის დროს, პარამეტრული რეზონანსის შემთხვევაშიც, რხევები იმრღება სისტემაში ენერგიის უწყვეტი მიწოდების გამო.

დავუშვათ დერო ასრულებს საკუთარ განივ რხევებს p სიხშირით (ნახ. 12.2 ა), ანუ:

$$x = b \cos pt.$$

ამ დროს ჩედა სახსარი მიიღებს მცირე ვერტიკალურ ჯაღაადგილებებს გაორმაგებული სიხშირით (ნახ. 12.2 ბ). იგი ტვირთის  $x$  გადაადგილებისას მარტინივ და მარჯვინივ იწევს ქვემოთ და ყველაზე მაღალ მდებარეობას დაიკავებს მაშინ, როდესაც ტვირთი იმყოფება სტატიკური წონასწორობის მდგომარეობაში. თუ გრძივი ძალა იცვლება ასევე ორჯერ მეტი სიხშირით, ვიღრე ეს გააჩნია ტვირთის განივ რხევებს (ნახ. 12.2 გ), მაშინ მოქმედი ძალა ყოველი ციკლის დროს შეასრულებს მუშაობას და სისტემაში ენერგია უწყვეტად შეიცება.



ნახ. 12.1

ნახ. 12.2

დერომე დამაგრებული მ ტვირთის მორაობის განტოლებას ექნება შემდეგი სახე:

$$m\ddot{x} + c(t)x = 0. \quad 12.1$$

მოცემულ შემთხვევაში დეროს ც სიხისტე არის დროის ფუნქცია, რადგან იგი დამოკიდებულია გრძივი  $P(t)$  ძალის სიდიდეზე მოცემულ

მომენტში. მიახლოებითი ფორმულის თანხმად (მასალათა გამძლეობიდან):

$$c(t) = c_0 \left[ 1 - \frac{P(t)}{P_E} \right],$$

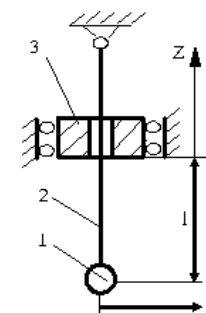
სადაც  $c_0$  - დეროს სიხისტეა გრძივი ძალის მოქმედების გარეშე,  $P_E$  - ეილერის კრიტიკული ძალა დეროსათვის.

ამრიგად 12.1 განტოლება შეიძლება ჩავწეროთ შემდეგნაირად:

$$\ddot{x} + p^2 \left[ 1 - \frac{P(t)}{P_E} \right] x = 0; \quad \left( p^2 = \frac{c_0}{m} \right). \quad 12.2$$

თუ  $P(t)$  არის დროის პერიოდული ფუნქცია ( $T$  პერიოდით), მაშინ 12.2 განტოლება იწოდება ჰილბის განტოლებად, მისი პირველი მკლევარის პატივსაცემად.

პარამეტრული სისტემის სხვა მაგალითს წარმოადგენს სისტემა გამოსახული ნახ. 12.3 - გვ. როგორც ნახაბიდან ჩანს, შეურსეული მასა 1 დამაგრებულია უწონადო 2 დეროს ბოლოზე. ამავე დროს დეროს თავისუფალი გადაადგილება დამატებით შებლებულია 3 მიღისათი, რომელიც დაშორებულია დეროს ქვედა ბოლოდან 1 მანძილით.



ნახ. 12.3

შევადგინთ ტვირთის თავისუფალი მოძრაობის განტოლება იმის გათვალისწინებით, რომ ეს მოძრაობა ხდება ნახაზის სიბრტყეში. თუ დროის მიმღინარე  $t$  მომენტში ტვირთის გადადგილება შეადგენს  $x$ -ს, მაშინ დეროს აღმდგენი დრეკადობის ძალა ტოლია  $-cx$  - ს და ტვირთის მოძრაობის განტოლება მიიღებს სახეს:

$$-cx = mx, \quad 12.3$$

სადაც  $c$  - სისტემის სიხისფის კოეფიციენტია.

3 მიღისა, მისი საკმაოდ დიდი სიგრძის შემთხვევაში პრაქტიკულად უმრუჩელყოფს დეროს ქვედა ნაწილის მთლიან ჩამაგრებას და ამიგომ  $c$  კოეფიციენტი შეიძლება განისაზღვროს ცნობილი ფორმულით  $c = 3EJ/l^3$ . აქ იგულისხმება, რომ დეროს გააჩნია მუდმივი განივევითის ფართი  $J$  ინერციის მომენტით.  $E$  - დეროს მასალის დრეკადობის მოდელია. ამრიგად 12.3 დიფერენციალური განტოლება მიიღებს შემდეგ სახეს:

$$x + \frac{3EJ}{ml^3}x = 0. \quad 12.4$$

თუ 1 მანძილი მუდმივია, მაშინ 12.4 განტოლება აღწერს მასის თავისუფალ რხევებს, მისა შეაღებული მდებარეობის მიმართ. წილადი 12.4 განტოლებაში წარმოადგენს რხევების საკუთარი სიხშირის კვადრატს.

დაგუშვათ, რომ 3 მიღისა სრიალუბს 2 დერმის გასწვრივ წინასწარ მოცემული კანონით

$$z = A \cos \omega t,$$

ანუ, ასრულებს 1 -ის შეა მდებარეობის მიმართ პარმონიულ რხევებს  $A$  ამპლიტუდითა და  $\omega$  წრიული სიხშირით. ასეთ შემთხვევაში სიხისფის

კოეფიციენტი აღმოჩნდება დროის ფუნქციას:

$$c = \frac{3EJ}{(l+z)^3} = \frac{3EJ}{(l+A \cos \omega t)^3}, \quad 12.5$$

და შესაბამისად 12.4 დიფერენციალური განტოლება მიიღებს შემდეგ სახეს:

$$x + \frac{3EJ}{m(l+A \cos \omega t)^3}x = 0. \quad 12.6$$

აქაც 12.2 განტოლების მსგავსად მივიღეთ დიფერენციალური განტოლება ცვლადი კოეფიციენტით, რაც დამახასიათებელია პარამეტრული სისტემებისათვის.

12.6 განტოლება, ისევე როგორც 12.2 განტოლება, შეიძლება დავიყვანოთ ე.წ. სტანდარტულ სახებებს. ამისათვის დავუშვათ, რომ მიღისას რხევის  $A$  ამპლიტუდა გაცილებით მცირება დეროს 1 სიგრძესთან შედარებით. მაშინ, 12.5 გამოსახულების ნაცვლად გვექნება შემდეგი მიახლოებითი გამოსახულება:

$$c = \frac{3EJ}{(l+A \cos \omega t)^3} \approx \frac{3EJ}{l^3 + 3l^2 \cos \omega t} \approx \frac{3EJ}{l^3} \left(1 - \frac{3A}{l} \cos \omega t\right),$$

და 11.6 დიფერენციალური განტოლება მიიღებს სახეს:

$$x + \frac{3EJ}{ml^3} \left(1 - \frac{3A}{l} \cos \omega t\right)x = 0. \quad 12.7$$

თუ გადავაღით უგანმომილებო  $T$  დრობები ( $2T = \omega t$ ) გვექნება:

$$\frac{d^2x}{dt^2} = \frac{\omega^2}{4} \cdot \frac{d^2x}{dT^2},$$

და საბოლოოდ 12.7 განტოლება მიიღებს სტანდარტულ სახეს:

$$\frac{d^2x}{dT^2} + (a - 2q \cos 2T)x = 0, \quad 12.8$$

საბაზი:

$$a = \frac{12EJ}{m\omega^2 l^2}; \quad q = \frac{18EJ}{m\omega^2 l^4}. \quad 12.9$$

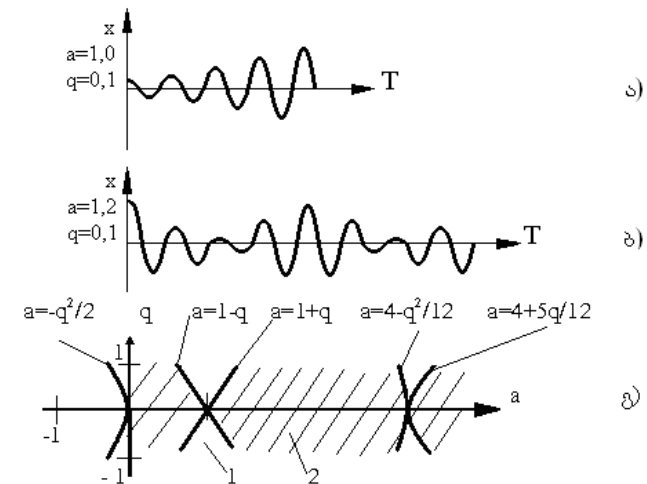
ამგვარი გარდაქმნები ტიპიურია შემთხვევებისთვის, როდესაც სისტემის ცვლადი პარამეტრი განიცდის მცირე ჟულაციას.

ახლა მივმართოთ 12.8 განტოლებას, რომელიც იწოდება მათიეს განტოლებად. მათიეს განტოლების ამონახსნებს აქვს რჩევითი ხასიათი, და მათი თვისებები დამოკიდებულია  $a$  და  $q$  პარამეტრების კონკრეტულ მნიშვნელობებზე. ერთ შემთხვევაში მოცემული კომბინაციის  $a$  და  $q$  მნიშვნელობებს შეესაბამება რჩევები, რომელთა ამპლიტუდები შემოსაბლურებია, ხოლო სხვა შემთხვევაში - მიიღება რჩევები, ზრდადი ამპლიტუდებით. ძალიან ხშირად (მდგრადობის გამოკვლევისას) რჩევების დეტალები ნაკლებად მნიშვნელოვანია, რადგან ძირითადად უფრო მნიშვნელოვანს წარმოადგენს სწორედ რჩევითი პროცესის ფენდენცია: თუ ამპლიტუდა რჩება შემთხვევაში, მაშინ სისტემა არის მდგრადი; წინააღმდეგ შემთხვევაში ადგილი აქვს პარამეტრულ რეზონანსს და სისტემა არის არამდგრადი.

მათიეს განტოლების ამონახსნის შედეგები  $a$  და  $q$  ორი სხვადასხვა კომბინაციისთვის ნაჩვენებია ნახ. 12.4 ა) და ბ) - ზე. მიუხედავდ იმისა, რომ ორივე შემთხვევაში  $q$  პარამეტრი არის ერთიანი (შემთხვევაში  $q = 0,1$ ), რჩევებს აქვთ სრულიად განსხვავებული ხასიათი, რადგან განსხვავებულია  $a$  პარამეტრი ( $a = 1$ ;  $a = 1,2$ ). პირველ შემთხვევაში რჩევის ამპლიტუდები იმრღვებიან, ხოლო მეორე

შემთხვევაში ისინი შეზღუდული რჩებიან, რაც იმის ნიშნავს, რომ სისტემა არის მდგრადი.

პრაქტიკული მიზნებისათვის უფრო მეტი მნიშვნელობა აქვს საბაზო მდგრად და არამდგრად გონიებს შორის. ეს საკითხი კარგადაა შესწავლილი და საბოლოო შედეგები წარმოდგენილია დიაგრამის სახით, აგებული  $a$  და  $q$  პარამეტრების სიბრტყეში. ეს დიაგრამა ცნობილია აინსტრუმეტის დიაგრამის სახელწოდებით. ნახ. 12.4 გ) - ზე ნაჩვენებია ამ დიაგრამის ნაწილი, რომელიც შეეხება  $q$  პარამეტრის მცირე მნიშვნელობებს. ყოველ მოცემულ სისტემის, რომელიც ხსიათდება  $a$  და  $q$  პარამეტრებით, აინსტრუმეტის დიაგრამაზე შეესაბამება წერტი-



ნახ. 12.4

ლი სწორედ  $a$  და  $q$  კოორდინატებით (მსახუელი წერტილი). თუ მსახუელი წერტილი მოთავსებულია დიაგრამის დაშტრიხულ გრძაში მაშინ სისტემა არის მდგრადი. არამდგრად სისტემებს კი შეესაბამება მსახუელი წერტილები, რომლებიც განლაგდებიან დაუშტრიხავ გონაში.

მაგალითისათვის დიაგრამაზე ნაჩვენებია 1 და 2 წერტილები, რომელთა შესაბამისი პარამეტრებია  $a_1 = 1$ ;  $q_1 = 0,1$ ;  $a_2 = 1,2$ ;  $q_2 = 0,1$ . 1 წერტილი იმყოფება თეთრ გრძაში (არამდგრადი), და შესაბამისად რხევები წარმოებს მჩარდი ამპლიტუდების ფონზე (ნახ. 12.4 ა). 2 წერტილი იმყოფება დაშტრიხული გრძის არეში, რომელსაც შესაბამება შეზღუდული ამპლიტუდით მოძრაობა (ნახ. 12.4 ბ).

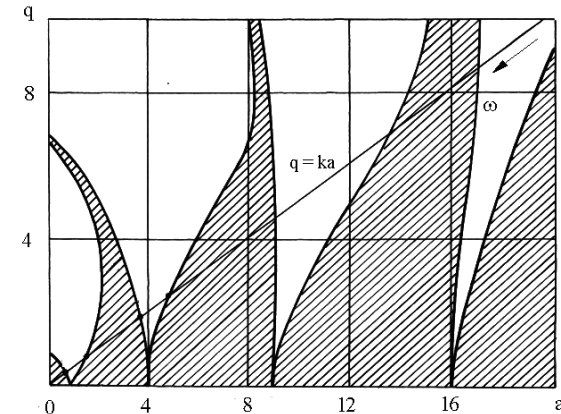
აინს-სფრენის მთლიანი დიაგრამა ნაჩვენებია ნახ. 12.5 - გე. როგორც ნახაბილან ჩანს ა და  $q$  პარამეტრების სიბრტყეში მდგრადობისა და არა-მდგრადობის გრძები ერთმანეთს თანმიმდევრობით ენაცვლება. ამავე დროს ყველაზე ფართო და შესაბამისად ყველაზე მნიშვნელოვანი არამდგრადობის გრძა, შეიცავს წერტილს  $a = 1$ ;  $q = 0$ . ამ წერტილის მახლობლობაში, ანუ  $q = 0$ -ს მცირე, მნიშვნელობების დროს, მდგრადობის პირობები  $a < 1 - q$  და  $a > 1 + q$  (იხ. ნახ. 12.4 გ) შეიძლება გაერთიანდეს ერთი საერთო პირობით:

$$q^2 < (1 - a)^2.$$

აინს-სფრენის დიაგრამა მთლიანად გვათავისუფლებს შევასრულოთ რაიმე ოპერაცია მათიეს განტოლების ამოსახსნელად. ყოველ კონკრეტულ შემთხვევაში საკმარისია შევადგინოთ ეს განტოლება, ანუ მოვძებნოთ სისტემის  $a$  და  $q$  პარამეტრების მნიშვნელობები, რის შემდეგაც დიაგრამა იმწამსვე გვპასუხობს სისტემის მდგრადობაზე ან არამდგრადობაზე.

გავარკვით პარამეტრული რხევების თვისებების ცვალებადობა, აღვგნების სიხშირის თანდათანობითი ცვლილების დროს. თუ დავუბრუნდებით 12.9 ტოლობებს, შევამჩნევთ, რომ სიხშირის გრძით თრთავე პარამეტრი  $a$  და  $q$  პროპორციულად მცირდება. იმის გამო, რომ თრთავე პარამეტრის თანაფარდობა რჩება მუდმივი, ამიტომ სისტემის

თანმიმდევრული მდგრადობები განისაზღვრებიან კოორდინატთა სა-თავეში გამავალ  $q = ka$  სხივზე განლაგებული მსახველი წერტილებით. ნახ. 12.5 - გე მკაფიოდ ჩანს სისტემის მდგრადი და არამდგრადი მდგრადობების თანმიმდევრობა აღგნების სიხშირის მნიშვნელობების გრძის დროს.



ნახ. 12.5

### §13. ვიბრაციული სისტემების ავტორნევები

ავტორნევითი სისტემები მიეკუთვნებიან არაკონსერვატიულ სისტემებს, რადგან ასეთ სისტემებზე მოქმედი ძალების შემადგენლობაში არსებობენ წინააღმდეგობები და სისტემის მოძრაობას თან ახლავს ენერგიის ხარჯვა. ამ მხრივ ავტორნევითი სისტემები არიან დისიპაციური სისტემების ანალოგიურნი. ამავე დროს, თუ დისიპაციურ სისტემებში წინააღმდეგობათა დაძლევაზე დახარჯული ენერგია არანიალ არ კომპენსირდება და ასეთი სისტემის რჩევები მიიღვიან, ავტორნევით სისტემებში წინააღმდეგობის დაძლევაზე დახარჯული ენერგია ნამდვილად კომპენსირდება სისტემაში შემავალი არარჩევადი წყაროდან მომდინარე ენერგიით, რომლის სიღილე და დომინური დროში რეგულირდება თვით რჩევითი სისტემის მიერ. ამის გამო ავტორნევით სისტემაში შეიძლება წარმოიქმნას მდგრადი მიუღვალი პერიოდული რჩევები, რომელთაც ავტორნევები ეწოდება. ასეთი რჩევების მაგალითია საათის ქანქარას რჩევები, რომელშიაც დაკიდებული ტვირთის ენერგია გადაეცემა ქანქარას ხრუტენა მექანიზმის საშუალებით გარკვეული ულუფებით, რომლის სიღილე და მიწოდების დრო განისაზღვრება თვით ქანქარას რჩევებით.

ავტორნევითი სისტემისათვის ენერგიის კომპენსაციის ხერხი წარმოადგენს მახსინათებელ თვისებას, რომლის მიხედვითაც ამოიცნობა ეს სისტემები, დისიპაციური სისტემებისგან ან კიდევ იმ სისტემებისაგან განსხვავებით, რომლებიც განიცდიან იძულებით რჩევებს, მათზე გარეშე პერიოდული ძალების მოქმედებების შედეგად. ავტორნევითი სისტემებისათვის ასეთივე მახსინათებელ თვისებებს წარ-

მოადგენს მის კონსტრუქციულ სქემაში შემდეგი ოთხი ნაწილის არსებობა:

- 1) ენერგიის მუდმივი (არარჩევითი) წყარო;
- 2) რჩევითი სისტემა;
- 3) მოწყობილობა, რომელიც არეგულირებს ენერგიის მიწოდებას წყაროდან რჩევით სისტემაში;
- 4) რჩევით სისტემასა და მარეგულირებელ მოწყობილობას შორის უკუკავშირი, რომელიც ასრულებს ენერგიის მიწოდების დობირების მართვას.

ავტორნევით სისტემაში მარეგულირებელი მოწყობილობა მართავს რჩევითი სისტემის მოძრაობას, ეს უკანასკნელი კი უკუკავშირის მეობებით მართავს მარეგულირებელი მოწყობილობის მუშაობას. ამ თრმშერივ ურთიერთკავშირში რჩევით სისტემასა და მარეგულირებელ მოწყობილობას შორის უკუკავშირის საშუალებით ხორციელდება სწორედ სისტემის ენერგეტიკული ბალანსის თვითმართვა, რის შედეგადაც მასში წარმოიქმნება მდგრადი მიუღვალი რჩევები. როგორც წესი, ეს რჩევები არაა დამოკიდებული საწყის პირობებში. ავტორნევით სისტემებში თვითაღგბნებით ნებისმიერი საწყისი პირობების დროს, სისტემა მიისწრაფების რომელიმე მდგრადი პერიოდული მოძრაობისაკენ.

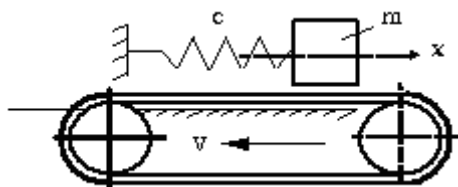
ავტორნევები ფართოდაა გავრცელებული ტექნიკაში. მაგალითად, თვითმფრინავის ფრთის ფლატერი შეიძლება აქსნათ მხოლოდ ავტორნევების მექანიზმით. ასევეა ფრიქციულ სისტემებშიც, რომელთა დრეკალობის მახსინათებელი წარმოიქმნება მშრალი ხახუნის ძალების გავლენით. აუცილებელ პირობებს კი ზემოთაღნიშნულის გარდა, წარმოადგენს ის, რომ სისტემა უნდა იყოს არაწრფივი.

განვიხილოთ ერთი თავისუფლების ხარისხის მქონე სისტემის რხევები (ნახ. 13.1). მ მასის მქონე სხეული მოთავსებულია  $v = \text{const}$  სიჩქარით მოძრავ ლენგტე სხეულს იჭერს ც სიხისფის მქონე გამბარა. თუ  $x$  ასოთი აღვნიშნავთ მ მასის რხევით გადაადგილებას, მაშინ ფარლობითი სიჩქარე მასასა და ლენტს მორის იქნება:

$$u = v - x.$$

13.1

რხევების წარმოშობის მექანიზმი ასეთია. ლენტა და მასას შორის მოქმედი ხახუნის ძალა ლენტის  $v$  სიჩქარით გადაადგილების დროს ერთდროულად სხეულსაც გადაადგილებს. ეს გადაადგილება გამოიწვევს გამბარის დაჭიმვას და ღრეუადი ძალის გამოდის. როდესაც ღრეუადი ძალა ხახუნის ძალის ფორმი გახდება, სხეული მიაღწევს კიდურ მდებარეობას და მომდევნო მომენტში დაიწყებს ლენტის მოძრაობის საწინააღმდეგო მიმართულებით გადაადგილებას. რადგან



ნახ. 13.1

მოძრაობა წელოვანი წონასწორობის მდგომარეობიდან იწყება და სისრული სიჩქარის დროს მთავრდება, მ მასას ექნება გარკვეული სიდიდის აჩქარება. ამიტომ მასის მოძრაობის კანონი უნდა გამოვიყვანოთ ინერციის, ღრეუადი და ხახუნის ძალების ერთობლივი მოქმედების გათვალისწინებით. ამავე დროს უნდა გვახსოვდეს, რომ ხახუნის ძალა მიმართულია ფარლობითი სიჩქარის საწინააღმდეგოდ და ამ სიჩქარის წელოვან მნიშვნელობაზე გადასვლის მომენტში ნახტომის გ-

ბურად იცვლება. სიჩქარის უცვლელი მიმართულების დროს კი ა - ს ფუნქციას წარმოადგენს, ე. ი.  $R = R(u)$ .

საანგარიშო სქემის გამარტივების მიზნით დაგეტვათ, რომ ფარლობით სიჩქარეს მუდმივი ნიშანი აქვს და ძალა  $R(u) > 0$  - ბე.

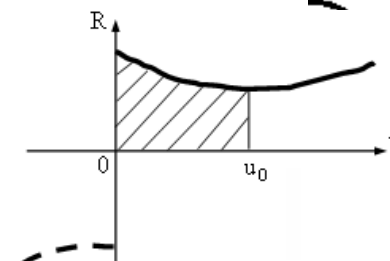
ეს ძალა ერთადერთი გარეშე ძალაა და ამიტომ რხევის დიფერენციალურ განტოლებას ექნება შემდეგი სახე:

$$mx + cx = R(u). \quad 13.2$$

განტოლების თანახმად, როდესაც მასა წონასწორობის მდგომარეობაშია,  $x = 0$  და  $u = v$ . მაშინ სტატიკური გადაადგილება

$$x_0 = \frac{R(v)}{c}, \quad 13.3$$

და სისტემის რხევა  $x_0$  - ის მახლობლობაში ხდება. უკანასკნელი ფორმულა გვიჩვენებს, რომ წონასწორობის მდგომარეობა დამოკიდებულია  $R$  ხახუნის ძალის მახასიათებელზე, რომელიც, თავის მხრივ, წარმოადგენს სიჩქარის ფუნქციას. ნახ. 13.2 - ბე ნაჩვენებია ამ ფუნქციის სახე, რომელიც მიღებულია ექსპერიმენტული გზით და მართებულია პრაქტიკაში გამოყენებული ლითონებისა და სხვა კონსტრუქციებისათვის. როგორც გრაფიკიდან ჩანს, სანამ



ნახ. 13.2

სრიალის სიჩქარე-ს ნაკლებია კრიტიკულ სიდიდებე (ս<sub>0</sub>), ხახუნის ძალა მცირდება, შემდეგ კი იმრდება.

თუ ხახუნის ძალა სრიალის ღროს ინარჩუნებს მ-უდმივ სიდიდეს, მაგრამ იფი მცირება უძრაობის ხახუნის ძალასთან შედარებით, ასევე ალიძერება ავტორხევები. ასეთ შემთხვევაში ადვილად მიიღება ამოცანის გული გადაწყვეტა. დაფუძრუნდეთ ისევ 13.1 ნახატს.

აღვნიშნოთ უძრაობის ხახუნის ძალა R<sub>1</sub> - თ, ხოლო მოძრაობის ხახუნის ძალა R<sub>2</sub> - თ, და მავე ღროს R<sub>1</sub> > R<sub>2</sub>.

სტატიკური წონასწორობის მდებარეობა შეესაბამება მასის გადაადგილებას X<sub>0</sub> =  $\frac{R_2}{c}$  მანძილზე.

ადვილად შეიძლება დავოწმუნდეთ, რომ წონასწორობის ეს მდგომარეობა შეესაბამება სისტემის მცირე აღგზებებს.

მართლაც, თუ მასის წონასწორობის მდგომარეობაში მივანიჭებთ აბსოლუტური სიდიდით ლენგის v სიჩქარეზე ნაკლები სიდიდის სიჩქარეს, მაშინ მის შემდგომ მოძრაობაში ლენგზე ხახუნის ძალა შეინარჩუნებს სიდიდეა და მიმართულებას და არანაირ გავლენას არ მოახდენს მასის თავისუფალ რხევებზე.

მაგრამ, თუ მასაზე მინიჭებული სიჩქარე ტოლი იქნება v - სი, მასა მოძრავებს ლენგთან ერთად მანამდე, სანამ რეალიზებული არ იქნება უძრაობის ხახუნის R<sub>1</sub> ძალა. ამ მომენტში (როცა გადაადგილება

ტოლი იქნება x =  $\frac{R_1}{c}$ ) მოხდება ლენგისგან მოწყვეტა და დაიწყება მასის ფარდობითი მოძრაობა.

გავაინტეგრალოთ მოძრაობის განტოლება:

$$mx + cx - R_2 = 0 \quad 13.4$$

და შევუთავსოთ ღროს აღრიცხვის დასაწყისი ლენგისგან მასის მოწყვეტის მომენტს.

ამ შემთხვევაში გვექნება შემდეგი საწყისი პირობები:

$$t = 0; \quad x = \frac{R_1}{c}; \quad x = v$$

და ამ საწყისი პირობების შესაბამისი 12.4 განტოლების ამონასნი იქნება:

$$x = \frac{R_2}{c} + \frac{R_1 - R_2}{c} \cos pt + \frac{v}{p} \sin pt. \quad 13.5$$

13.5 ტოლობა სამართლიანია მანამ, სანამ მასის მოძრაობის x სიჩქარე ნაკლებია ლენგის მოძრაობის v სიჩქარეზე, ანუ ღროს t<sub>1</sub> მომენტამდე, რომელიც განისაზღვრება შემდეგი ტოლობით:

$$-\frac{R_1 - R_2}{c} p \sin pt_1 + v \cos pt_1 = v.$$

ეს განტოლება ადვილად შეიძლება წარმოლენების შემდეგი სისით:

$$2 \sin \frac{pt_1}{2} \left[ \sin \frac{pt_1}{2} + \frac{R_1 - R_2}{cv} p \cos \frac{pt_1}{2} \right] = 0.$$

t<sub>1</sub> - ს ნელისგან განსხვავებული უმცირესი მნიშვნელობა, რომელიც აკმაყოფილებს ამ უკანასკნელ განტოლებას, არის:

$$t_1 = \frac{2}{p} \left[ \pi - \arctg \frac{p(R_1 - R_2)}{cv} \right].$$

t<sub>1</sub> მომენტში მასის გადაადგილება უდრის:

$$x = \frac{2R_2 - R_1}{v}.$$

$t_1$  მომენტიდან დაწყებული მასა მოძრაობს ლენგთან ერთად ვ სიჩქარით მანამდე, სანამ არ მოხდება ლენგისგან მისი ახალი მოწყვეტა  $x = R_1/c$  - ს პირობის შესრულებისას, რის შემდეგაც პროცესი მეორდება. ლენგთან ერთად მასის მოძრაობის დრო კი გთლი იქნება:

$$t_2 = \frac{2(R_1 - R_2)}{cv}.$$

ამრიგად აფთორხევების სრული პერიოდი უდრის:

$$T = t_1 + t_2 = 2 \left[ \frac{R_1 - R_2}{cv} + \frac{\pi}{p} \frac{1}{p} \operatorname{arctg} \frac{p(R_1 - R_2)}{cv} \right].$$

მოძრაობის სიჩქარისგან დამოკიდებულებით რხევის პერიოდი იცვლება მასის თავისუფალი რხევის  $\frac{2\pi}{p}$  პერიოდიდან, როდესაც  $v \rightarrow \infty$ ,  $T = \frac{\pi}{p} + \frac{2(R_1 - R_2)}{cv}$  პერიოდამდე, როდესაც  $v \rightarrow 0$ .

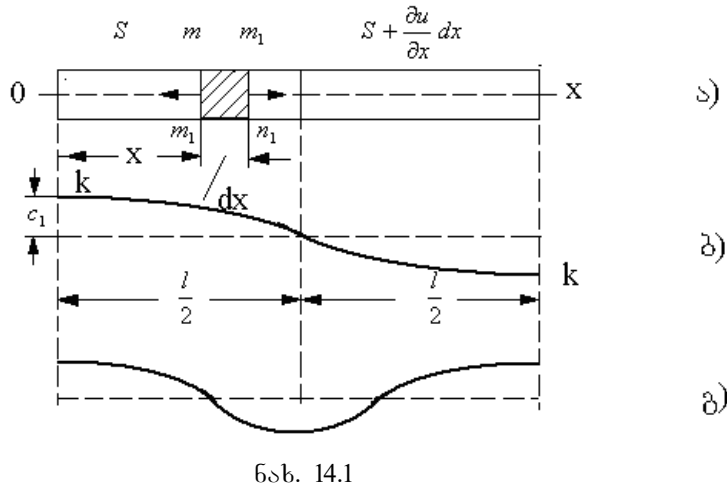
#### §14. განაწილებული პარამეტრების მქონე გიბრაციული სისტემების რხევები

გიბრაციულ მანქანებში გამოყენებული დრეკადი კლემენტები ზოგჯერ განიხილება როგორც განაწილებული პარამეტრების მქონე სისტემები, რაც გაანგარიშების თვალსაზრისით ართულებს ამ სისტემებს, მაგრამ ასეთი განხილვა უფრო რეალურად ასახავს მათ. ასეთი სისტემის მდებარეობის განსაზღვრისათვის საჭიროა კოორდინატების უსასრულოდ დიდი რაოდენობა, ამიტომ მათ გააჩნიათ უსასრულოდ დიდი თავისუფლების ხარისხი, რადგან შესაძლო ან წარმოსახვითი გადაადგილებისთვის შეიძლება მიღებული იქნას ნებისმიერი მცირე გადაადგილება, რომელიც აქმაყოფილებს უწყვეტობის პირობას, ანუ რომელიც არ იწვევს სხეულის წყვეტას. შესაბამისად ნებისმიერი ასეთ დრეკად სხეულს გააჩნია საკუთარი რხევების ფორმების უსასრულოდ დიდი რაოდენობა.

განვიხილოთ პრიზმული დეროის გრძივი რხევები და შევადგინოთ მისთვის დიფერენციალური განტოლება. ამ შემთხვევაში საჭიროა მივიღოთ გარკვეული დაშვებები. კერძოდ, პრიზმული დეროს განივავეთის ფართობები რჩება ბრტყელი და ამ კვეთში მდებარე ნაწილაკები ასრულებენ მოძრაობებს მხოლოდ დეროს დერძის გასწვრივ. გაჭიმვა-კუმშვის გრძივი დეფორმაციები, რომელთაც ადგილი აქვს დეროს რხევის დროს, ცხადია ხასიათდება გარკვეული განვივი დეფორმაციებით, მაგრამ აქ განიხილება მხოლოდ ისეთი შემთხვევები,

როდესაც გრძივი ტალღების სიგრძე გაცილებით მეტია დეროს განივავეთის ფართობის ზომებთან შედარებით. ამიტომ განივი დეფორმაციები შეიძლება უგულებელვყოთ.

აღნიშნული პირობებით დეროს ორ ერთმანეთთან გვერდიგვერდ განლაგებულ  $m_1$  და  $m_1 n_1$  განივავეთის ფართობებს შორის მოთავსებული ელემენტის მოძრაობის დიფერენციალური განტოლება შეიძლება გამოყვანილი იქნას ისევე როგორც ეს გამოიყვანება ნაწილაკისთვის (ნახ. 14.1).



დავუშვათ სარის ნებიმიერი  $m_1$  განივავეთის გრძივი გადააღილება დეროს რხევების დროს;  $\varepsilon$  - ფარდობითი წაგრძელება;  $E$  - დრეკადობის მოდული;  $A$  - განივავეთის ფართობი;  $S = AE\varepsilon$  - გრძივი გამჭიმავი ძალა;  $\gamma$  - მასალის ერთეული მოცულობის წონა;  $l$  - დეროს სიგრძე. მაშინ დეროს

ნებისმიერ განივავეთში ფარდობითი წაგრძელება და გამჭიმავი ძალა შეადგენება:

$$\varepsilon = \frac{\partial u}{\partial x}, \quad S = AE \frac{\partial u}{\partial x}. \quad 14.1$$

ურთიერთ მიმდებარე პერიოდში გამჭიმავი ძალა ტოლია

$$S + dS = AE \left( \frac{\partial u}{\partial x} + \frac{\partial^2 u}{\partial x^2} dx \right). \quad 14.2$$

იმის გათვალისწინებით, რომ დეროს  $mnm_1n_1$

ელემენტის ინერციის ძალა უდრის

$$-\frac{A\gamma dx}{g} \frac{\partial^2 u}{\partial t^2},$$

და დალამბერის პრინციპის გამოყენებით, მივიღებთ  $mnm_1n_1$  ელემენტის მოძრაობის შემდეგ დიფერენციალურ განტოლებას

$$-\frac{A\gamma}{g} \frac{\partial^2 u}{\partial t^2} + AE \frac{\partial^2 u}{\partial x^2} = 0,$$

ან

$$\frac{\partial^2 u}{\partial t^2} = a^2 \frac{\partial^2 u}{\partial x^2}, \quad 14.3$$

სადაც

$$a^2 = \frac{Eg}{\gamma}. \quad 14.4$$

14.3-ს ამოხსნას ვპოულობთ ტრიგონომეტრიულიმწკრი-

Վուս դաեմարյեծոտ. ցագաացցուլցեծ և, դամոյուլցեծ շունչուլցունաբասա და  $t$  քրոնից, շնճա օպուս  $x$  და  $t$ -ს օւզտու ցշնիցու რոմելու დայմայուլցեծ 14.3 յերծու წարուեծ շունչուլցեծուն დուզյանցուալյար ցանցուլցեծաս. ամ ցանցուլցեծուն յերծու ամոնաեսնու ացցուլաց մուուլցեծ օմուս ցատցալուսինցեծոտ, րոմ ზուցաց շյմտեցցամու ևուէմուս եցուեմուրու րեցցեծ շյուլցեծ დացմա-լուտ: პորցելո, րեցցեծու սակցուար ցուրմեծաց და մյորյց, րուցյաց ևուէմուս ասրցուլցեծ րեցցեծ յրուցրու սակցուար ցուրմուտ. ամ დրու յցելու წյերցուլցեծ ասրցուլցեծ մարցու პար-մոնուլ րեցցեծ და մորառեց յրու ტյմէմու, ցագուան რա յրուցրուլցաց წոնասիուրունուն մուցեարյունցեծ. ույ დացմացցեծ, րոմ დյուր ասրցուլցեծ րեցցեծ յրուցրու սակցուար ցուրմուտ, րուցյաց ևուէմուրու պարցու ցուրմուտ. ամ օւզու պարցու պարցու ցուրմուտ. ամ օւզու պարցու ցուրմուտ.

$$u = X(A \cos pt + B \sin pt), \quad 14.5$$

Տագաց  $A$  და  $B$  – մյուծմուցեծուն եուլու  $X$  – ցարկցյալու ցշնիցուա կուրունաբաս, რոմելու ցանսանցը ցանսանուլցը ရեցցե- ծուն ցուրմաս და օվուցը նորմալյար ցշնիցուա. յև ցշնիցու յուցը եցուեմուրու շյմտեցցամու շնճա ցանսանցը օւզտու- օրաց, րոմ շնճա დայմայուլցուլցեծ პորցեծու დյուրու ბուլո- յեծից.

Ցացալուտուսատցու ցանցուեուլու დյուրու ցրմու րեցցեծ տագուսուցալու ბուլուցը ბուլուցը. րեցցեծու այտ շյմտեցցամու ցամուն- ցու մալա დյուրու ბուլուցը շնճա օպուս նշուուս ტուլու და

շյեսաձամուսաց մուցուլցեծ ლյուրու ბուլուցի շյմდյց პորցեծի բան. 14.1)

$$\left( \frac{\partial u}{\partial x} \right)_{x=0} = 0, \quad \left( \frac{\partial u}{\partial x} \right)_{x=t} = 0, \quad 14.6$$

Ամ ტուլուցեծու 14.3 ցանցուլցեծամու իամուտ մուցուլցեծ

$$- p^2 X = a^2 \frac{\partial^2 X}{dx^2},$$

Տագացնաց

$$X = C \cos \frac{px}{a} + D \sin \frac{px}{a}. \quad 14.7$$

Օմուսատցու, րոմ დայմայուլցուլցեծ 14.6-ս პորցելո პորցա այցուլցելու დացմացցատ  $D = 0$ . 14.6-ս մյորյ პորցա დայմայուլցուլցեծ ույ

$$\sin \frac{pl}{a} = 0. \quad 14.8$$

յև շյանասկնելո արուս ցանսեուլյալո շյմտեցցուեուլու սանսանցը ցանսանցը, րոմելու սամյալցեծաս ցամունցը ցամունցը տագուսուցալու ბուլուցեծու დյուրու ցրմու րեցցեծու սակցուար սանսանցը. 14.8 ցանցուլցեծ դայմայուլցուլցեծ ույ

$$\frac{pl}{a} = i\pi, \quad 14.9$$

Տագաց  $i$  մուցը րուցեցու. ույ დացմացցատ  $i = 1, 2, 3, \dots$ , մուցուլցեծ րեցցեծու սեցալասեցա ցուրմեծ. մորուտաց ցուրմուս րեցցու

სისშირე მინდება მინდება  $i = 1$ -ს ჩასმით 14.9-ს პირობაში. ეს კი  
მოგვიგმებს

$$p_1 = \frac{ap}{l} = \frac{\pi}{l} \sqrt{\frac{Eg}{\gamma}}. \quad 14.10$$

რჩევების შესაბამისი პერიოდი უდრის

$$\tau_1 = \frac{2\pi}{p_1} = 2l \sqrt{\frac{\gamma}{Eg}}. \quad 14.11$$

რჩევების ფორმა, რომელიც მინდება 14.7 განტოლებიდან ნაჩვენებია ნახ. 14.1- ბ -ზე kk მრუდის სახით, რომლის ორდინატები უდრის

$$X_1 = C_1 \cos \frac{p_1 x}{a} = C_1 \cos \frac{\pi x}{l}. \quad 14.12$$

ნახ. 14.1 – ბ-ზე ნაჩვენებია რჩევების გეორე ფორმა,  
რომლისთვისაც

$$\frac{p_2 l}{a} = 2\pi \text{ და } X_2 = C_2 \cos \frac{2\pi x}{l}. \quad 14.13$$

14.3 განტოლების 14.5 კერძო ამონასნის საერთო სახე  
იქნება:

$$u = \cos \frac{i\pi x}{l} \left( A_i \cos \frac{i\pi at}{l} + B_i \sin \frac{i\pi at}{l} \right). \quad 14.14$$

ასეთივე კერძო ამონასნების ერთმანეთზე ზედღებით შესაძლებელია წარმოვადგინოთ დეროს ნებისმიერი გრძივი  
რჩევები შემდეგი სახით:

$$u = \sum_{i=1}^{\infty} \cos \frac{i\pi x}{l} \left( A_i \cos \frac{i\pi at}{l} + B_i \sin \frac{i\pi at}{l} \right). \quad 14.15$$

$A_i$ ,  $B_i$  ყოველთვის არის შესაძლებელი შევარჩიოთ ისე,  
რომ დავაკმაყოფილოთ ნებისმიერი საწყისი პირობები.

## II. ვიბრაციული მანქანების თეორიის საფუძვლები და გაანგარიშების მეთოდები

### §15. ვიბრაციული სატრანსპორტო მანქანების მუშაობის პრინციპი და კლასიფიკაცია

ვიბრაცია (მაღალი სიხშირის რხევები) დიდი ხანია იმყრობს მეცნიერთა და წარმოების მუშაკთა კურადღებას. ამის ძირითადი მიზეზია ვიბრაციის მავნე მოქმედება: ვიბრაცია იწვევს მასალის სწრაფ დაღლილობას და უშუალოდ ემუქრება კონსტრუქციის სიმტკიცეს, გარკვეული პირობების დროს მან შეიძლება გამოიწვიოს მანქანათა ნაწილების, მთელი მანქანებისა და ნაგებობების ნგრევა, სხვა შემთხვევაში ვიბრაცია ხელს უშლის ხელსაწყოებისა და აპარატების ნორმალურ მუშაობას, იწვევს მავნე ფიზიოლოგიურ შეგრძნებას და ა.შ. მეცნიერები და ინჟინერები ქმნიან ეფექტურ საშუალებებს ვიბრაციის მავნე გავლენის მოსასპობად ან შესამცირებლად.

მაგრამ რხევების როლი ტექნიკაში ყოველთვის როდია უარყოფითი. ვიბრაცია ფართოდ გამოიყენება მთელი რიგი სასრგებლო სამუშაოების შესასრულებლად, როგორიც არის: ბეტონირება, ფხვიერი მასალების გაცხავება, გაცრა და დახარისხება, მიწაში ბოძების ჩასმა, სხვადასხვა მასალებისა და დეტალების ტრანსპორტირება, საყალიბები მიწის დატკეპნა, ვიბრაციული რეცხვა, ლითონების ვიბრაციული ჭრა და ა.შ.

ამჟამად ტექნიკაში ცნობილია მრავალი სახის და დანიშნულების ვიბრაციული მანქანა. მათი ძირითადი თავისებურება სხვა ანალოგიური დანიშნულების მოწყობილობებთან შედარებით იმაში მდგომარეობს, რომ მუშა ორგანოს მოძრაობას განსაზღვრავს არა მისი კინემატიკური კავშირი ამძრავთან, არამედ დინამიკური ფაქტორები – მოძრავი ნაწილების მასებისა და ამგზნები ძალის სიდიდე, დრეკადი ელემენტების სიხისტე და ა.შ.

ვიბრაციულ მანქანებში სამუშაო პროცესი ხორციელდება ცალკეული იმპულსების ერთობლიობის შედეგად. რადგან ასეთი იმპულსების რაოდენობა (რხევის სიხშირე) დიდია, მიიღწევა მაღალი საწარმოო ეფექტი, მიუხედავად იმისა, რომ თვითონეული ციკლის დროს სრულდება მცირე მუშაობა.

ვიბრაციული მანქანების საწარმოო გამოყენება დაიწყო ჯერ კიდევ გასული საუკუნის დასაწყისში. პირველად ამ მანქანებს მხოლოდ ფხვიერი მასალების გაცხავებისათვის იყენებდნენ. მოგვიანებით, როდესაც შემჩნეულ იქნა, რომ თუნდაც პორიზონტალურ მდგომარეობაში მყოფ მერხევ სხეულზე მოთავსდებული მასალა გარკვეული პირობების დროს გადაადგილდებოდა მოცემული მიმართულებით, დაიწყო ვიბრაციული სატრანსპორტო მანქანების შექმნა და გამოყენება.

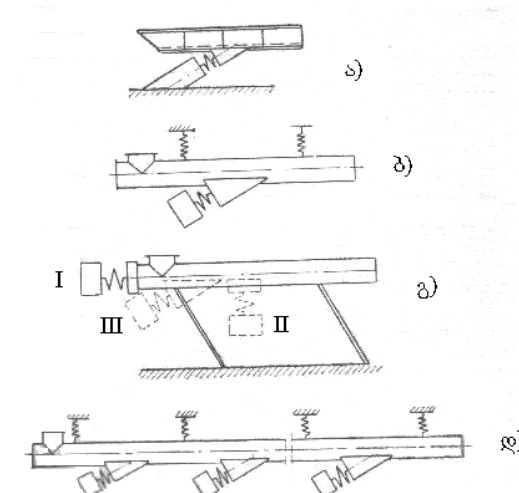
ვიბრაციული სატრანსპორტო მანქანები სხვა სატრანსპორტო საშუალებებთან შედარებით მთელი რიგი უპირატესობებით ხასიათდებიან. კონსტრუქციის სიმარტივესა და ექსპლუატაციის სიადვილესათან ერთად განსაკუთრებით აღსანიშნავია, რომ მტკრიანი, აირგამომყოფი და მაღალი ტემპერატურის

მქონე მასალების ტრანსპორტირების დროს ვიბროტრანსპორტი ჰერმეტული შესრულებით ერთადერთი ეფექტური საშუალებაა.

ვიბრაციული სატრანსპორტო მანქანები უწყვეტი მოქმედების ტრანსპორტის განსაკუთრებულ სახეობას წარმოადგენენ. სხვა სატრანსპორტო მანქანებისაგან განსხვავებით ვიბრაციულ მანქანებში მასალის გადაადგილება ხორციელდება განუწყვეტლივ ერთმანეთის მომდევნო მიკრონახტომების სახით, რაც გამოწვეულია მერხევი ზედაპირის (მუშაორგანოს) წინსვლით-უკუსვლითი მოძრაობით წინ და ზევით, უკან და ძირს. ასეთი მოძრაობის მისაღებად ვიბრაციულ ამძრავს მუშაორგანოს მიმართ ისე აყენებენ, რომ რხევების მიმართულებამ მასალის გადაადგილების მიმართულებასთან შეადგინოს მახვილი კუთხე  $15-25^{\circ}$  (ნახ. 15.1 ა, ბ).

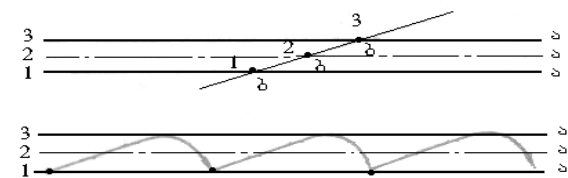
ვიბრაციის გადაცემა კუთხით შეიძლება მიღწეულ იქნას აგრეთვე სხვა საშუალებითაც. მაგალითად, მუშაორგანოს დამაგრებით რესორებზე გარკვეული კუთხით (ნახ. 15.1 გ). ამ შემთხვევაში მასალის გადაადგილების მიმართულებას განსაზღვრავს ეს კუთხე და არა ამგზნები ძალის მიმართულება, რომელიც შეიძლება ემთხვეოდეს მუშაორგანოს დერძს (I), იყოს მისი მართობი (II) ან დრეკადი ელემენტების მართობი (III).

მიკრონახტომების განსახორციელებლად აგრეთვე საჭიროა, რომ მასალის ნაწილაკის აჩქარების ვერტიკალური მდგრენელი მეტი იყოს მისი სიმძიმის ძალის აჩქარებაზე. ეს მიიღწევა რხევის სიხშირისა და ამპლიტუდის სათანადო შერჩევით.



ნახ. 15.1

ნახ. 15.2-ზე ნაჩვენებია მუშა ზედაპირის მასალის გადაადგილების სქემები. ა-თი აღნიშნულია მერხევი ზედაპირი, ბ-თი – ნებისმიერი წერტილი ამ ზედაპირზე, ინდექსი 1, 2 და 3 აღნიშ-



ნახ. 15.2

ნავს ზედაპირის ან წერტილის ქვედა, საშუალო და ზედა მდგრმარეობას, შესაბამისად. მრუდები გვიჩვენებენ ზედაპირზე მდებარე ნაწილაკის მოძრაობის ტრაექტორიას.

როგორც სქემიდან ჩანს, ტრანსპორტირების დროს მასალა თავისი გზის ნაწილს გადის მუშა ზედაპირთან ერთად. შემდეგ კი ცილდება მას და ასრულებს თავისუფალ მოძრაობას, სანამ არ დაეცემა იმავე ზედაპირზე. გადაადგილების ხასიათი განისაზღვრება როგორც ვიბრომანქანის მუშაობის რეჟიმით, ისე თვით მასალის თვისებებით.

აქ ჩვენ განვიხილეთ ვიბროტრანსპორტირების უმარტივესი შემთხვევა – ერთეულის ნაწილაკის გადაადგილება, როდესაც მასალის თვისებები ყველაზე ნაკლებ გავლენას ახდენს ტრანსპორტირებაზე. რეალურ სისტემაში საქმე გვაქვს ფხვიერი მასალების დიდი მასების გადაადგილებასთან. ამ შემთხვევაში მასალის გადაადგილებაზე მოქმედებს მისი წონა, ნაწილაკების ფორმა და ზომები, ტენიანობა, ჰაერგამტარობა, შიგა ხახუნი, ხახუნი ნაწილაკებსა და მუშა ორგანოს შორის, მასალის დრეკადი თვისებები, ფენის სისქე და ა.შ.

აღსანიშნავია აგრეთვე ის გარემოება, რომ ვიბრაციის დროს ფხვიერი მასალა იძენს სპეციფიკურ თვისებებს: საგრძნობლად მცირდება ხახუნი ერთის მხრივ მასალის ნაწილაკებს შორის, ხოლო მეორეს მხრივ მასალასა და მუშა ორგანოს შორის, ფხვიერი მასალა „დენადი“ ხდება.

ამ მიზეზების გამო ტრანსპორტირების რეჟიმების დაღვნა ძირითადად ხდება მოცემულ მასალაზე ჩატარებული ცდების საშუალებით.

ვიბრაციული სატრანსპორტო მანქანები მრავალი სახისაა. დინამიკური სისტემის პრინციპული მოწყობილობის მიხედვით არჩევენ ერთ, ორ ან მრავალმასიან მანქანებს. ნახ. 15.1, ა-ზე

ნაჩვენებია ერთმასიანი ვიბრაციული მკვების ერთ-ერთი სქემა. მკვები შედგება მუშა ორგანოსაგან (დარისაგან) და ელექტრომაგნიტური ვიბრატორისაგან, რომლის ერთი ე.წ. აქტიური მასა შეერთებულია მუშა ორგანოსთან, ხოლო მეორე – რეაქტიული – უძრავ ჩარჩოსთან (ან საძირკველთან). ერთმასიანი ვიბრაციული მანქანები დიდ დინამიკურ დატვირთვებს გადასცემენ საყრდენ კონსტრუქციებს, რადგან მათში ინერციული ძალები გაწონასწორებული არ არის. ამ მიზეზით, მიუხედავად კონსტრუქციული სიმარტივისა, ასეთი მანქანები იშვიათად გამოიყენებიან.

ყველაზე ფართო გგარცელება აქვთ ორმასიან ვიბრაციულ მანქანებს. ორმასიანი კონვეირი (ნახ. 15.1 ბ) წარმოადგენს იზოლირებულ დინამიკურ სისტემას, რომელშიც ვიბრატორის ამზნები ძალა ერთნაირად გადაეცემა როგორც აქტიურ, ისე რეაქტიულ მასებს. მოძრავი მასები იზოლირებულია საყრდენი კონსტრუქციებისაგან ამორტიზატორების საშუალებით და მათ მეტად მცირე დინამიკურ დატვირთვებს გადასცემენ.

ამორტიზატორების განლაგების მიხედვით ვიბრაციული მანქანები შეიძლება იყოს დაყრდნობილი (ნახ. 15.1 ა და გ) ან ჩამოკიდებული (ნახ. 15.1 ბ და დ). მუშა ორგანოს კონსტრუქციის მიხედვით არჩევენ დია (ნახ. 15.1 ა) ან დახურული ტიპის მანქანებს (ნახ. 15.1 ბ, გ და დ).

ორმასიან ვიბრაციულ მანქანებს მიეკუთვნება კონვეირი, რომელსაც რამდენიმე ვიბრატორი აქვს დაყენებული ერთ უწყვეტ მუშა ორგანოზე (ნახ. 15.1 დ). მასალის ეფექტური

ტრანსპორტირებისათვის საჭიროა, რომ მუშა ორგანო ირხევდეს მხოლოდ განსაზღველი მიმართულებით და ადგილი არ ჰქონდეს ე. წ. პარაზიტულ რხევებს. ამ მოთხოვნის შესრულება შეიცლება მუშა ორგანოს სისისტის გაზრდით და ვიბრატორების დაყენებით ბიჯით, რომელიც არ უნდა აღმატებოდეს გარკვეულ ზღვარს.

ზემოაღნიშნულ ვიბრაციული სატრანსპორტო მანქანები დანიშნულია მასალის გადაადგილებისათვის ჰორიზონტალური მიმართულებით ან მცირე დახრილობით. გარდა ამისა, გამოიყენება ვერტიკალური ტრანსპორტირები. ასეთი მანქანების მუშა ორგანო წარმადგენს დარს, რომელიც განლაგებულია მცირე ასელის კუთხის მქონე ხრახნული ხაზის გასწვრივ. მუშა ორგანოს ეძლევა რთული რხევითი მოძრაობა, რომელიც წარმოადგენს ვერტიკალური ღერძის გარშემო წრიული რხევებისა და ამავე ღერძის გასწვრივ სწორხაზოვანი რხევების ჯამს. ვერტიკალური ვიბრაციული მანქანის მუშა ორგანოს, რომელზედაც ტრანსპორტირება ხდება გრარკვეული კუთხით ზევით.

უკელა ზემოთხამოთვლილ მანქანში სამუშაო პროცესი ხორციელდება მხოლოდ რხევების გავლენით. ამ მანქანებისაგან განსხვავებით გახვდება კომბინირებული მოწყობილობანი, რომლებშიც ვიბრაცია დამხმარე საშუალებას წარმოადგენს მუშაობის ეფექტურობის გაზრდისათვის. მაგალითად შეიძლება მოვიყვანოთ ვიბროპნევმატური კონვეიერი, რკინიგზის ვაგონების დამცლელი დანადგარი მერხევი ბაქნით და სხვა.

გარდა მირითადი სატრანსპორტო საშუალებების—ვიბროკონვეიერებისა, ფართოდ გამოიყენება ე.წ. სატრანსპორტო-ტექნოლოგიური მოწყობილობანი, რომლებშიც მასალის გადაადგილება შეთავსებულია სხვადასხვა ტექნოლოგიურ პროცესთან (გაცხავება, შრობა, დახარისხება, გაცივება, მტკვერისაგან გაწმენდა და სხვა).

სატრანსპორტო მანქანების განსაკუთრებულ სახეობას წარმოადგენენ ვიბრაციული მკვებები, დოზატორები, დამტკეპნები, ამგზნებები ხეიმირებიდან მასალის გამოდინების დაწარებისათვის და ა.შ.

ვიბრაციული მანქანები ერთმანეთისაგან განსხვავდებიან მირითადად გამოყენებული ამძრავის მიხედვით. ვიბრაციული ამძრავები — ვიბრატორები მრავალი სახის გვხვდება: ინერციული, ექსცენტრიკული, ელექტრომაგნიტური, პნევმატური და პიდრავლიკური.

ინერციულს მიაკუთვნებენ ვიბრატორებს, რომლებშიც ვიბრაცია გამოწვეულია ერთი ან რამდენიმე გაუწონასწორებელი მასების პრუნვის შედეგად. ექსცენტრიკულ ვიბრატორებში ამძრავის ლილების ძრაობა გარდაიქმნება ბარბაცას რხევით მოძრაობად. პნევმატურ და პიდრავლიკურ ვიბრატორებში ამგზნები ძალა წარმოიქმნება დაუშის ან მისი შემცვლელი ელექტრის უკუმომქცევადაჩნითი მოძრაობის შედეგად.

ელექტრომაგნიტურ ვიბრატორებში რხევითი მოძრაობა მიიღება ელექტრომაგნიტის მიერ შექმნილი ამგზნები ძალის გავლენით, რომელიც თავის მხრივ წარმოშვება მაგნიტის გრაგნილში ცვლადი ან წყვეტილი დენის გავლის შედეგად.

## §16. ვიბრაციული მანქანები მშენებლობაში

მშენებლობა არის სახალხო მეურნეობის ის დარგი სადაც უფრო მეტად გამოიყენება ვიბრაციული მანქანები. დღესდღეობით მრავალი სამშენებლო სამუშაოების შესრულება წარმოუდგენელია ვიბრაციული მანქანების გარეშე.

ძალიან ფართოდ გამოიყენება მშენებლობაში ვიბრაციული შემამჭიდროვებელი მანქანები, ზედაპირული და სიღრმეში მომუშავე ვიბრაციული მოწყობილობები.

ზედაპირული შემამჭიდროვებელი ვიბრაციული მანქანები გამოიყენებიან მშენებლობაში საავტომობილო გზების, აეროდრომების, და სხვა ნაგებობათა ცემენტ-ბეტონით დაფარვისას, გრუნტისა და ხეებისაგან შემდგარი ნაყარების, დორდით დაფარვის, ასფალტობეტონის ნარევისა და ცივი ასფალტის შემჭიდროებისას და ა.შ. ჩამოთვლილი მანქანები ხშირად არა მხოლოდ ამჭიდროებენ ნარევს, არამედ წინასწარ ასწორებენ, პროფილს ანიჭებენ და აწარმოებენ საფარის სუფთად მოწყობის სამუშაოსაც. ზედაპირული ვიბრაციული მანქანები წარმოდგენილი არიან: ვიბროფილებით, ვიბროლარტყებით, რომლებიც გამოიყენებიან როგორც დამოუკიდებლად ასევე კომბინირებულ ბეტონის მომპირეობების მანქანებში ვიბრო მტკბარებლებისა და ვიბროსაგორავების სახით.

სიღრმისეული ვიბრაციული შემამჭიდროვებელი დანადგარები გამოიყენებიან არმირებულ კონსტრუქციებში ცემენტობეტონის ნარევების შესამჭიდროვებლად. მძლავრი სიღრმისე-

ული ვიბრატორები გამოიყენებიან აგრეთვე შეუკავშირებადი გრუნტების შესამჭიდროვებლად.

. სიღრმისეული შემამჭიდროვებელი ვიბრაციული მოწყობილობების რიცხვს მიეკუთვნებიან ვიბროლეროები (ვიბროგურზები) და მათგან შედგენილი, ე.წ. ვიბროპაკეტები, შესამჭიდროვებელი სამუშაოების მწარმოებლობის გაზრდის მიზნით.

სამრეწველო და საცხოვრებელი, ასევე სხვადასხვა საინჟინრო ნაგებობების მშენებლობაში ფართო გამოიყენება პპოვეს მსხვილი რკინაბეტონის ბლოკებმა. კომბინატებში ან პოლიგონებზე დამზადებული ბლოკებისა და ცალკეული დეტალების გამოიყენება მნიშვნელოვნად ზრდის მშენებლობის ხარისხს და ამცირებს მშენებლობის დროს. რკინაბეტონის ქარხნების დამზადების ტექნოლოგიური კომპლექსის ერთ-ერთ ძირითად რგოლს შეადგენენ ვიბრომოვებები და ვიბროფორმები.

მრავალი პიდროტექნიკური ნაგებობის, პორტების, სამოქალაქო და სამრეწველო შენობების, გზაგამტარების მშენებლობისას, ასევე ხიდების საყრდენების ფუნდამენტების, ქსელის საკონტაქტო ხაზების საყრდენებისა და სხვა მშენებლობის დროს ფართო გამოიყენება პპოვა ხიმინჯების ჩაღრმავებისა და ამოდების ვიბრაციულმა მეთოდმა.

დღესდღეობით მრეწველობაში ჯერ კიდევ ვერ ჰქოვა ფართო გავრცელება ვიბრაციის გამოიყენებამ გრუნტებისა და მთის ქანების ჭრისა და რღვევის პროცესებში. მიუხედავად იმისა, რომ არსებობს ექსკავატორების რამოდენიმე ვარიანტი ვიბრაციული ციცხვებით, ან კიდევ ვიბრაციული სოლები მაღალი ქანობების ჩამოსამსხვრევად სამშენებლო მასალების

დია წესით მოპოვების დროს, შესაძლებლობები ამ მიმართულება-  
ბით საკმაოდ მრავალფეროვანია.

სამაგიეროდ სამშენებლო მასალების წარმოების დროს  
საკმაოდ ფართო გამოყენება პპოვა ვიბრაციულმა წისქილებმა.  
ასევე ინერტული მასალების დასამსხვრევად გამოიყენება  
ვიბრაციული სამსხვრევები.

მშენებლობაში სხვადასხვა ფხვიერი სამშენებლო  
მასალების გადასაადგილებლად უპყე ფართოდ გამოიყენება და  
ასევე ფართო პერსპექტივები გააჩნია ვიბრაციულ ტრანსპორტს.  
ვიბრაციული კონვეიერები ამჟამად წარმოდგენილია სახეოა  
დიდი მრავალფეროვნებით, რომლებიც ერთმანეთისაგან განსხ-  
ვავდება როგორც პრინციპული მოწყობილობით ასევე კონს-  
ტრუქციული შესრულებითა და საექსპლუატაციო შესაძლებ-  
ლობებით. ვიბრაციული კონვეიერები გამოიყენებიან პორიზონ-  
ტალური, დახრილი და ვერტიკალური ტრანსპორტირებისთვის.  
ექსპლუატაციაში განსაკუთრებით ეფექტურია ისეთი სატრანს-  
პორტო-ტექნოლოგიური ვიბრაციული მანქანები როგორიცაა:  
კონვეიერ-ცხავები, კონვეიერ-საშრობები, კონვეიერ-გამაცივებ-  
ლები, კონვეიერ-შემრევები და სხვა.

განსაკუთრებით ეფექტურია და ფართოდ გავრცელებუ-  
ლი მრავალფეროვანი დამხმარე ვიბრაციული მოწყობილობები.  
მათ რიცხვს მიეკუთვნება ვიბრომკვებავები და ვიბროდოზა-  
ტორები, რომლებიც გამოიყენება ბეტონის და ქვისსამსხვრევ  
ქარხნებში, განსაკუთრებით მათი ავტომატიზაციის პირობებში,  
განმტვირთავი ვიბრობაქნები, ვიბრაციული მოწყობილობები  
რკინიგზის მშენებლობის დროს და სხვა.

## §17. ვიბრაციული მანქანების ამძრავები

ვიბრაციულ მანქანებში ამძრავების სახეობათა მრავალ-  
ფეროვნება და მათი გამოყენების სფეროები განპირობებულია  
იმ მოთხოვნებით, რომლებიც წაეყენება მათ პრინციპულ  
მოწყობას, კონსტრუქციულ შესრულებასა და საექსპლუატაციო  
მახასიათებლებს. სახალხო მეურნეობის თითოეულ დარგს  
ახასიათებს სპეციფიური თავისებურებები, ამიტომ ვიბროამძრა-  
ვების ტიპის შერჩევა დაკავშირებულია შესასრულებელი  
ტექნოლოგიური პროცესების კონკრეტულ პირობებთან. იმის  
გამო, რომ დღესდღეობით არსებული ვიბროამძრავებიდან არც  
ერთი არ პასუხობს წაეყენებული მოთხოვნების მთლიან ერთობ-  
ლიობას, ამიტომ პრაქტიკაში გამოიყენება ვიბრაციული  
მანქანები სხვადასხვა მოწყობილობისა და კონსტრუქციული  
შესრულების ამძრავები. ასეთებია: ელექტრომაგნიტური,  
ინერციული, ექსცენტრიული, ვიბროდარტყმითი, ჰიდრავლიური  
და სხვა ამძრავები.

ვიბრაციულ მანქანებში რხევების აღმგზნები ანიჭებს  
მუშა ორგანოს რხევით მოძრაობებს, რომლის მეშვეობით  
სრულდება შინაგანი და გარეშე წინააღმდეგობათა დაძლევა  
და სასარგებლო მუშაობა.

ინერციულ აღმგზნებებში რხევების იძულებითი პერი-  
ოდული ძალა წარმოიქმნება ერთი ან რამოდენიმე გაუწონასწო-  
რებელი მასის ბრუნვის შედეგად. მბრუნვი აღმგზნები ძალით  
მოქმედ ამძრავებს მიეკუთვნებიან დებალანსური ტიპის

ამძრავები, რომლებშიც მიმართული პერიოდულად ცვალებადი აღმგზნები ძალა იქმნება ერთი გაუწონასწორებელი მასით. ამძრავის ასეთივე სახეობას მიეკუთვნება ძრავი-ვიბრატორი, რომელიც წარმოადგენს ძრავს გაუწონასწორებელი როტორით.

ინერციულ ვიბროამძრავებში მიმართული აღმგზნები ძალის მისაღებად გამოიყენება ორი ხერხი. პირველ შემთხვევაში მოქმედებები ორი არასასურველი მიმართულებით წონასწორდება სიდიდით ტოლი და საპირისპიროდ მიმართული ძალებით, ხოლო მეორე შემთხვევაში გამოიყენება სახსრის თვისებები, გადასცეს ძალა მხოლოდ მისი დერძის მიმართულების პერპენდიკულარულად. აღმგზნები ძალის მიმართულ მოქმედებას უხრუნველყოფს თვითდაბალანსების სახის ვიბროამძრავი, რომელშიც გამოიყენება შეწყვილებული დებალანსები.

ინერციული ვიბროამძრავები თავიანთი კონსტუქციული მოწყობით შესაძლებელია იყოს მარტივი და თვითდაცენტრებადი. ვიბროამძრავი თვითდაცენტრებით განსხვავდება იმით, რომ მისი ლილვი მზადდება ექსცენტრულად. რის შედეგად თვითდაცენტრების მქონე ვიბრაციული ამძრავის ბრუნვის ცენტრი სივრცეში რჩება უძრავი, იმ შემთხვევაში თუ ლილვის ექსცენტრისიტეტი შეესაბამება ვიბრაციული მანქანის მუშა ორგანოს რხევის ამპლიტუდას.

როგორც ინერციულ, ასევე ექსცენტრიულ ვიბროამძრავებს გააჩნიათ მნიშვნელოვანი ნაკლი. მუშა ორგანოების მაღალი სიხშირით რხევის დროს მათში წარმოიქმნება ინერციის დიდი ძალები, რომლებიც გადაეცემა დებალანსების ან ექსცენტრიული ლილვების საკისრებს და იწვევს მათ

ვადაზე ადრე მწყობრიდან გამოყვანას. გარდა ამისა ამპლიტუდისა და სიხშირის რეგულირება ასეთ მანქანებში გამნელებულია მათი მართვის პროცესების სირთულის გამო. საჭირო ხდება მანქანის გაჩერება და დებალანსების ან ექსცენტრისიტეტის გადაწყობა. გარდა აღნიშნულისა, ასეთი სახის ამძრავების მქონე ვიბრაციულ მანქანებს გააჩნიათ ხანგრძლივი გარდამავალი პროცესი, რომელიც ამ შემთხვევაში დაკავშირებულია არასასურველი რეზონანსული რეჟიმის გავლასთან.

აღნიშნულ ვიბროამძრავებთან შედარებით უფრო სრულყოფილს წარმოადგენს რხევების ელექტრომაგნიტური ვიბროამძრავები წინსელითი-უპარკევითი მოქმედებით. ელექტრომაგნიტური ვიბრაციული ამძრავის შემთხვევაში მანქანის მუშა ორგანო საჭირო რხევით მოძრაობებს იღებს უშალოდ, ყოველგარი შუალედური ბრუნვის მექანიზმების გარეშე. ამის გამო ელექტრომაგნიტურ ვიბროამძრავებში არ არსებობს მოხასუნე კვანძები და შესაბამისად არ მოითხოვს მისი ნაწილების მუდმივ შეზეთვას. ეს უკანასკნელი არგუმენტი მნიშვნელოვანად ზრდის მანქანის უსაფრთხოებას და ამარტივებს მის მომსახურეობას. გარდა ამისა, ასეთ მანქანებში ძალზე მოხერხებულია ელექტრული მეთოდებით რხევების ამპლიტუდის რეგულირება, მუშა პროცესის შეწყვეტის გარეშე. ასეთი მანქანები ხასიათდება ენერგიის მცირე მოხმარებით, გაშვების პროცესის სიმარტივით და ავტომატიზაციის ფართო შესაძლებლობებით.

პრაქტიკაში ფართო გავრცელება პპოვა ისეთმა ვიბრაციულმა მანქანებმა, რომელთა სტაციონალური მუშა

პროცესები ხასიათდებიან სამი ერთმანეთისგან განსხვავებული რეჟიმით. პირველი მათგანია, ვიბრაციული მანქანების კლასი, რომლებშიც აღმგზნები ძალის მოქმედების სისტირე მნიშვნელოვნად ნაკლებია მთლიანი სისტემის საკუთარ სისტირეზე და შესაბამისად მოშორებულია რეზონანსულ რეჟიმს. ასეთ რეჟიმში მომუშავე ვიბრაციული მანქანები ნაკლებად ეფექტურია ენერგომოხმარების თვალსაზრისით, მაგრამ მათ გააჩნიათ გარკვეული უპირატესობა. კერძოდ, ის, რომ საშუალებას იძლევა მანქანა აიწყოს ტექნოლოგიური პროცესებისთვის საჭირო ნებისმიერ სისტირეზე.

მეორეს წარმოადგენს ისეთი ვიბრაციული მანქანების კლასი, რომლებშიც აღგზნების ძალის სისტირე მეტია სისტემის საკუთარ სისტირეზე და ისინიც შორს არიან რეზონანსისგან. ასეთი ტიპის ვიბრაციულ მანქანებს საჭირო სისტირეზე აწყობასთან დაკავშირებით გააჩნიათ იგივე დირსებები, რაც წინა შემთხვევაში. ამასთან ერთად ისინი უფრო მომგებიანი არიან ენერგომოხმარების თვალსაზრისით. მაგრამ მათაც გააჩნიათ გარკვეული ნაკლი, რაც მდგომარეობს იმაში, რომ სტაციონალურ რჩევით რეჟიმზე გასასვლელად აუცილებელი ხდება რეზონანსის გავლა, რაც გარკვეულ სიძნელეებთან არის დაკავშირებული.

მესამე კლასს შეადგენს რეზონანსული, უფრო სწორედ რეზონანსთან ახლოს რეჟიმში მომუშავე ვიბრაციული მანქანები. ასეთი ტიპის მანქანებს გააჩნიათ მნიშვნელოვანი უპირატესობები წინა ორი კლასის მანქანებთან შედარებით. რეზონანსული ტიპის ვიბრაციული მანქანების გაშვება

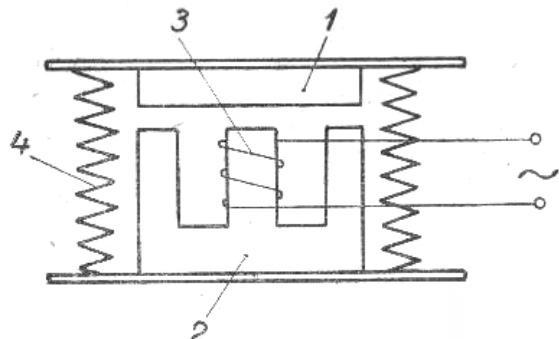
დაკავშირებულია მათ შეევანასთან მუშა რეჟიმში, რაც ფაქტიურად ხდება მყისიერად. ეს მანქანები ხასიათდება ენერგიის გაცილებით ნაკლები მოხმარებით. მათი მუშა რეჟიმები საკმაოდ სტაბილურია, ხოლო მუშა ამპლიტუდების რეგულირება ხდება მარტივად და მდოვრედ.

თანამედროვე ვიბრაციულ ტექნიკაში ელექტროვიბრაციულ მანქანებს ერთ-ერთი მნიშვნელოვანი ადგილი უკავია. ისინი წარმატებით გამოიყენებიან წარმოების თითქმის ყველა დარგში ფხვიერი მასალის ტრანსპორტირების, მიწოდებისა და დოზირებისათვის, ხვიმირებში მასალის გაჭედვის აცილებისათვის, მასალების დამსხვევისა და დაფქვისათვის, შესაფუთი მასალების დატყვებისათვის, ნამზადებისა და დეტალების ტრანსპორტირებისათვის მანქანათმშენებლობაში და ა.შ. უნდა აღინიშნოს, რომ ელექტროვიბრაციული მანქანების მთელი შესაძლებლობანი ჯერ კიდევ არ არის გამოყენებული.

ელექტროვიბრაციული მანქანების ძირითადი უპირატესობა სხვა ტიპის ვიბრაციულ მოწყობილობებთან შედარებით განპირობებულია იმით, რომ მათში ამძრავად გამოყენებულია ელექტრომაგნიტური ვიბრატორი, რომელშიც სწორხაზოვანი რჩევითი მოძრაობა ხორციელდება უშუალოდ, ბრუნვითი მოძრაობის საშუალებო კინემატიკური რგოლების გარეშე. ამის შედეგად ელექტრომაგნიტურ ამძრავში ადგილი არა აქვს მოხახუნე წყვილებს, რაც საგრძნობლად აუმჯობესებს მანქანის საექსპლოატაციო პირობებს.

გარდა ამისა, ელექტროვიბრაციულ მანქანებში ადვი-  
ლად ხორციელდება მუშა რეჟიმების უსაფრთხო ცვლა და  
ამასთან ერთად მათში მოცემულია ავტომატური და  
პროგრამული მართვის პრინციპული შესაძლებლობა.

ელექტროვიბრაციულ მანქანის ამძრავი—ელექტრომაგნი-  
ტური ვიბრატორი — შედგება ორი ძირითადი ნაწილისაგან: ელექტრომაგნიტისა და დრეკადი სისტემისაგან (ნახ. 17.1). ელექტრომაგნიტის დუზა(1) და გულარი (2) აწყობილია ელექტროტექნიკური ფოლადის ფურცლებისაგან, გულარის ფურცლებს უმეტეს შემთხვევაში „II“ ან „III“ -ს მაგვარი ფორმა აქვთ, დუზის ფურცლებს კი — სწორქუთხოვანი. გულარზე მოთავსებულია ელექტროგამტარის



ნახ. 17.1

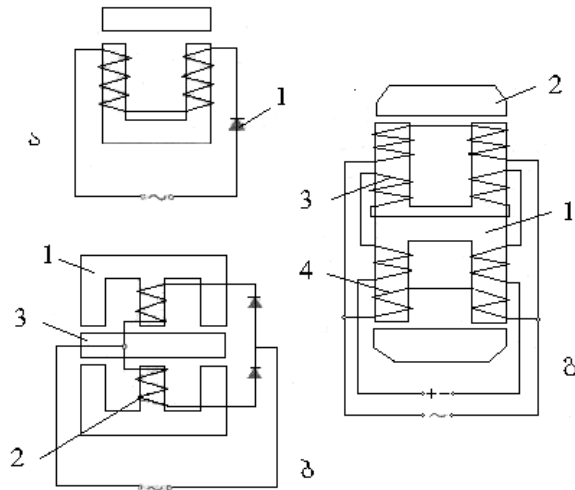
გრაგნილი (3), დუზა და გულარი ერთმანეთთან დაკავშირებუ-  
ლია ზამბარების (4) საშუალებით. ეს ნაწილები შეადგენენ  
ვიბრატორის ორ ე.წ. აქტიურ და რეაქტიულ მასებს, აქტიური

მასა (უმეტეს შემთხვევაში დუზა მასზე მიმაგრებული ნაწი-  
ლებით) მაგრდება მუშა ორგანოზე.

მუშაობის პრინციპის მიხედვით ელექტრომაგნიტურ  
ვიბრატორებს არჩევენ ერთტაქტიანს და ორტაქტიანს,  
ერთტაქტიან ვიბრატორებში (ნახ. 17.2, ბ და გ) დუზის მიზიდვა  
როგორც ერთ, ისე მეორე მხარეს ხდება მაგნიტის მიზიდულო-  
ბის ძალის გავლენით.

კველაზე მარტივია ე.წ. რეაქტიული ერთტაქტიანი  
ვიბრატორი, რომლის სქემა მოცემულია ნახ. 17.1-ზე. ლექტრო-  
მაგნიტის გრაგნილი ჩაირთვება ცვლადი დენის წრედში. დენის  
მაქსიმალური მნიშვნელობის დროს დუზა მიზიდება მაგნიტით,  
ხოლო მინიმალური მნიშვნელობის დროს —განიზიდება დრეკადი  
სისტემის გავლენით, რადგან ცვლადი დენი ერთი პერიოდის  
განმავლობაში ორჯერ არწევს თავის მაქსიმალურ მნიშვნელო-  
ბას (დადებითს და უარყოფითს), ამიტომ მაგნიტის მიზიდულო-  
ბის ძალა ამავე დროში ორჯერ იცვლება ნულიდან მაქსიმუ-  
მადე და, ამრიგად, დუზის მიზიდვა-განზიდვაც ერთი პერიოდის  
განმავლობაში ორჯერ ხდება. ამის გამო რეაქტიული  
ვიბრატორის რხევის სიხშირე მკვები დენის სიხშირეზე ორჯერ  
მეტია. ამრიგად, ვიბრატორის კვების დროს ჩვეულებრივი  
ცვლადი დენის ქსელიდან, რომლის სიხშირეა 50 ჰერცი,  
რხევათა რიცხვი წამში შეადგენს 100-ს.

რხევის მაღალი სიხშირის გამო რეაქტიული ვიბრატო-  
რების გამოყენება შეზღუდულია. დაბალი სიხშირის მისაღებად  
ვიბრატორის გრაგნილის წრედში (ნახ. 17.2 ა.) მიმდევრობით  
რთავენ გამმართველს 1), რომელიც დენს ატარებს პერიოდის



ნახ. 17.2

(მხოლოდ ერთი ნახევრის განმავლობაში (მხოლოდ ერთი მიმართულებით). ამ შემთხვევაში მაგნიტის მიზიდულობის ძალა პერიოდის განმავლობაში მხოლოდ ერთხელ მიაღწევს მაქსიმალურ მნიშვნელობას და, ამრიგად, გამმართველიანი ვიბრატორის რხევის სიხშირე ქსელის სიხშირის ტოლია, ე.ი. წამში აქვს 50 რხევა.

ორგაქტიანი ელექტრომაგნიტური ვიბრატორი (ნახ. 17.3 ბ) შედგება ორი გულარისაგან (1) გრაგნილებით (2) და საერთო ღუზისაგან (3). გულარები კონსტრუქციულად არიან დაკავშირებული ისე, რომ წარმოადგენდნენ ერთ მასას. ღუზა უკავშირდება გულარებს დრეგადი სისტემის საშუალებით. ვიბრატორის გრაგნილები ჩართულია ცვლადი დენის ქსელში ერთნახვარპერიოდიანი გამართვის სქემით. ამის გამო ერთი

ნახევარპერიოდის განმავლობაში – მეორე. რხევის სიხშირე ცვლადი დენის სიხშირის ტოლია.

სხვა ტიპის ორგაქტიანი ელექტრომაგნიტური ვიბრატორი (ნახ. 17.2 გ) შედგება „-ს მაგვარი ფორმის გულარისაგან (1) და ორი ღუზისაგან (2), რომლებიც ერთმანეთთან შეერთებულია ხისტად. ღუზები და გულარი ერთმანეთთან დაკავშირებულია რესორების საშუალებით. გულარზე მოთავსებულია მუდმივი (3) და ცვლადი დენის (4) გრაგნილები. მუდმივი და ცვლადი დენების ერთდროული მოქმედების შედეგად გულარში აღიგზნება ცვლადი და მუდმივი მაგნიტური ნაკადები. მუდმივი მაგნიტური ნაკადები ვიბრატორის თვითონეულ ნახევარში მიმართულია ერთმანეთის საწინააღმდეგოდ. პერიოდის ერთი ნახევრის განმავლობაში ცვლადი და მუდმივი მაგნიტური ნაკადები ვიბრატორის ერთ ნახევარში ერთმანეთს აბათილებენ, მეორეში კი იკრიბებიან. პერიოდის მეორე ნახევრის დროს ადგილი აქვს შებრუნებულ სურათს. ამის გამო გულარში იქმნება პულსირებული მაგნიტური ნაკადი, რაც იწვევს ვიბრატორის რხევას ქსელის სიხშირით, ე.ი. 3000 რხევით წუთში.

ელექტროგიბრაციული მანქანები ძირითადად რეზონანსულ პრინციპზე მუშაობენ, რაც იმაში გამოიხატება, რომ მაგნიტის სიხისტე ისეა შერჩეული, რომ სისტემის რხევის საკუთარი სიხშირე ახლოა ამგზნები ძალის ცვლილების სიხშირესთან. რეზონანსულ რეჟიმზე მუშაობის დროს მოითხოვება მცირე ამგზნები ძალა და ე.ი. მცირე სიმძლავრის ვიბრატორი.

რეზონანსულ რეჟიმზე მომუშავე ვიბრატორის ღუზა და გულარი რხევის დროს არ მოდიან ერთმანეთთან შეხებაში. გარდა ასეთი ვიბრატორებისა გამოიყენება აგრეთვე დარტყმითი მოქმედების ვიბრატორები, რომლებმიც ღუზასთან და გულართან შეერთებული სპეციალური ნაწილები რხევის დროს ერთმანეთს ხვდებიან, რითაც მუშა ორგანოს პარმონიული რხევის გარდა გადასცემენ დამატებით დარტყმით იმპულსებსაც. ასეთი კომბინირებული, ვიბრაციულ-დარტყმითი ზემოქმედების შედეგად ზოგიერთ შემთხვევაში იზრდება მანქანის ეფექტურობა, მაგალითად, ხვიმირებიდან მასალის გადმოყრის დროს, ზოგიერთი მასალების დატკეპნისას და ა.შ. დარტყმითი მოქმედების ვიბრატორების გამოყენება სატრანსპორტო მანქანების ამძრავებად მიზანშეწონილი არ არის, რადგან დარტყმითი ზემოქმედება მოითხოვს მანქანის მუშა ორგანოს სისისტის გაზრდას, იწვევს დიდ ხმაურს, ზრდის ენერგიის ხარჯს და ა. შ.

ელექტრომაგნიტური ვიბრატორის ერთ-ერთ ძირითად ნაწილს წარმოადგენს დრეკადი სისტემა. დრეკად ელემენტებად თანამედროვე კონსტრუქციის ვიბრაციულ მანქანებში გამოყენებულია ფურცლოვანი რესორები, ხრახნული ზამბარები, ტორსიონები, რეზინისა და აგრეთვე ლითონისა და რეზინის კომბინირებული დრეკადი ელემენტები.

## §18. ელექტრომაგნიტური ვიბრატორების კონსტრუქციები.

ჩვენს ქვეყანაში, ისე როგორც საზღვარგარეთ, დამუშავებული და ათვისებულია მრავალი ტიპისა და კონსტრუქციის ელექტროვიბრაციული სატრანსპორტო მანქანა და მათი ამძრავი – ელექტრომაგნიტური ვიბრატორი.

საკმაოდ გავრცელებულია ორტაქტიანი რეზონანსული ელექტრომაგნიტური ვიბრატორები, რომლებიც დანიშნულია ძირითადად კონვეირების, მკვებებისა და ცხავების ამძრავად.

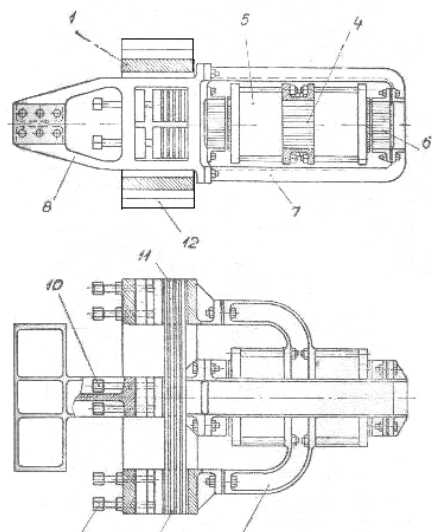
ვიბრატორის (ნახ. 18.1) ფოლადის კორპუსში (1) ბოლოებით ჩამაგრებულია რესორების პაკეტი (2). კორპუსზევე ტრაგერსების (3) საშუალებით დამაგრებულია ელექტროვიბრაციული ძრავას სტატორი, რომელიც შედეგბა გულარისა (4) და ოთხი კოჭისაგან (5). ძრავას ორი ღუზა (6) შეერთებულია ერთმანეთთან კავის (7) საშუალებით და მაგრდება კრონშტადტების (8), რომელიც თავის მხრივ დამაგრებულია რესორების შეა ნაწილზე. ამ კრონშტადტების საშუალებით ვიბრატორი უერთდება ვიბრომანქანის მუშა ორგანოს. რესორების მოჭრა კორპუსსა და კრონშტადტების ხორციელდება ჭანჭიკების (9 და 10) საშუალებით.

რესორებს შორის მათი ჩამაგრების ადგილებში მოთავსებულია შეასადებები (11). ამის გამო რესორები ერთმანეთს ეხებიან მხოლოდ ჩამაგრების ადგილებში, რაც

ამცირებს მათ შორის ხახუნს და რხევების ჩაქრობას, ამავე დროს ხელს უწყობს მათ გაცივებას.

ვიბრატორის აწყობა (რხევის საკუთარი სიხშირის რეგულირება) ხდება რესორების ან სპეციალური მარეგულირებელი ტვირთების (12) რაოდენობის შეცვლით.

ელექტროვიბრაციული ძრავა, რომლის პრინციპული სქემა მოყვანილია ნახ. 18.2 გ-ზე, შედგება „H"-ს მაგგარი ფორმის გულარისაგან, ხისტად შეერთებული ორი ღუზისაგან და კოჭებისაგან ცვლადი და მუდმივი დენის გრაგნილებით.



ნახ. 18.1

მუდმივი დენის სიმძლავრე შეადგენს ცვლადი დენის სიმძლავრის დაახლოებით 10%. მანქანის რხევის ამპლიტუდის

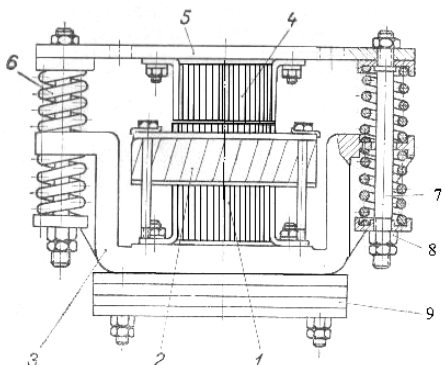
(მწარმოებლობის) რეგულირება ადგილად ხორციელდება ამ მცირე სიმძლავრის დენის სიდიდის შეცვლით. სიმძლავრის მაღალი კოეფიციენტი და რხევის ამპლიტუდის რეგულირების ეკონომიკური და მარტივი ხერხი აღწერილ ვიბრატორებს უპირატესობას ანიჭებს სხვა ტიპის ვიბრატორებთან შედარებით. ამ ვიბრატორების ნაკლოვანებანი ძირითადად კონსტრუქციის სირთულეში გამოიხატება.

ელექტროვიბრაციული მკვებები დანიშნულია ფხვიერი მასალების დოზირებული მიწოდებისა და ტრანსპორტირებისათვის. მკვებებს ძირითადად ხვიმირების ქვეშ აყენებენ, საიდანაც მასალა მიეწოდება ამა თუ იმ სახის ტრანსპორტირებისათვის. მკვებებს ძირითადად ხვიმირების ქვეშ აყენებენ, საიდანაც მასალა მიეწოდება ამა თუ იმ სახის ტრანსპორტიორს ან მანქანას ტექნილოგიური პროცესის შესაბამისად. ელექტროვიბრაციული მანქანის გაშვება და გაჩერება შესაძლებელია დატვირთვის ქვეშ. ამიტომ ისინი ასრულებენ აგრეთვე ხვიმირას ჩამკეტის მოვალეობას.

**ზემოაღწერილ ელექტრომაგნიტურ ვიბრატორებს** ახასიათებს საერთო ნაკლი, რაც იმაში გამოიხატება, რომ რესორის ტიპის დრეკად ელემენტებში ადგილი აქვს ენერგიის დიდ დანაკარგებს. ეს დანაკარგები ძირითადად გამოწვეულია ეწ. კონსტრუქციული დემოირებით, რაც დაკავშირებულია ხახუნთან, ძირითადად რესორების ჩამაგრების ადგილებში. ამ თვალსაზრისით გაცილებით რაციონალურია დრეკად ელემენტებად ხრახნული ზამბარების ხმარება. გარდა ამისა, ხრახნულ ზამბარებში გაცილებით უკეთესად გამოიყენება

მასალის დრეპადული თვისებები. მაგრამ მაღალი სიხისტის ზამბარების დამზადების სირთულის გამო შეზღუდულია დიდი სიმძლავრის ვიბრატორებში მათი გამოყენება.

ხრახნულ ზამბარებიანი ელექტრომაგნიტურ ვიბრატორის ერთ-ერთ მაგალითად მოვიყვანოთ კონსტრუქცია, ნაჩვენები ნახ. 18.2-ზე. ელექტრომაგნიტის გულარზე (1), რომელიც აწყობილია „П“-ს მაგვარი ფორმის ელექტროტექნიკური ფოლადის ფურცლებისაგან, მოთავსებულია ორი გრაგნილი (2). გულარი დამაგრებულია საყრდენზე (3), ხოლო ღუზა (4) – ფილაზე (5), რომლის საშუალებითაც ვიბრატორი მაგრდება მუშაორგანზე.



ნახ. 18.2

ღუზა და გულარი ერთმანეთთან შეერთებულია ზამბარების (6) საშუალებით. ზამბარები მოთავსებულია საყრდენის ორივე მხარეს. ღუზასა და გულარს შორის საპარტო დრეპოს რეგულირება ხდება სარჭებისა (7) და ქანჩების (8) საშუალებით. ქანჩების ჩახრახნით ან ამოხრახნით შესაბამისად

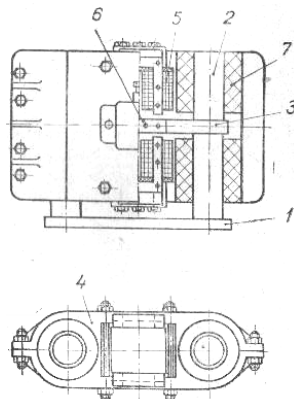
იკუმშება ან იშლება ზამბარები და იცვლება საპარტო დრეპოს სიდიდე.

ვიბრატორის რეზონანსულ რეჟიმზე აწყობა ხდება რეაქტიული ნაწილის წონის შეცვლით ტფირთების (9) საშუალებით. ელექტრომაგნიტის კვება წარმოებს ცვლადი დენის ქსელიდან ერთნახევარპერიოდიანი გამართვის სქემით.

აღნიშნული ვიბრატორი განკუთხნილია ვიბრაციული ტრანსპორტიორის, მკების, ვიბრომაგიდისა და სხვა მრავალი სახის ელექტროგიბრომანქანის ამძრავად. კერძოდ, მისი გამოყენება გათვალისწინებულია აგრესიული ქიმიური ნივთიერებების დამფასოებელ ავტომატებში მასალის დატკეპნისათვის (ავტომატი დამუშავებულია საქართველოს სახალხო მეურნეობის საბჭოს ცენტრალური საპროექტო საკონსტრუქტორო ბიუროს მიერ). ასეთივე კონსტრუქციული სქემის მიხედვითაა დამუშავებული თბილისის ელექტროტექნიკური სამეცნიერო-კვლევითი ინსტიტუტის მიერ მცირე სიმძლავრის ელექტრომაგნიტური ვიბრატორი, რომელიც გამოყენებულია თბილისის ხელსაწყოთა და ავტომატიზაციის საშუალებათა კვლევითი ინსტიტუტის ჩაის მწვანე ფოთლის სინესტის მზემ ხელსაწყოში.

უკანასკნელ ხანს შეიქმნა ელექტრომაგნიტური ვიბრატორები, რომლებშიც გამოყენებულია რეზინის დრეკადი ელემენტები. რეზინის გამოყენება აუმჯობესებს მანქანის საექსპლუატაციო თვისებებს, კერძოდ, მცირდება მექანიკური ძაბვები ვიბრომანქანის ნაწილებში, ხმაური, დრეკადი ელემენტების დირებულება, მხოლოდ სირთულეს წარმოადგენს შესაბამისი ხარისხის რეზინის შერჩევა.

რეზინის დრეკადი ელემენტების მქონე ორტაქტიანი ელექტრომაგნიტური ვიბრატორი ნაჩვენებია ნახ. 18.3-ზე. ვიბრატორი შედგება შემდეგი ძირითადი ნაწილებისაგან: ფილისაგან (1), რომლითაც ამძრავი მუშა ორგანოზე მაგრდება, ორი მილისაგან (2), რომლებიც ხისტადაა შეერთებული ფილასთან და განივასთან (3), თუჯის კორპუსისაგან (4), რომელიც ორი ნახევრისგან შედგება. კორპუსში ჩამაგრებულია ელექტრომაგნიტის ორი გულარი (5), ხოლო განივზე ღუზა (6). ელექტრომაგნიტის კვება წარმოებს ნახ. 18.2 ბ-ზე ნაჩვენები სქემის მიხედვით. დრეკადი ელემენტები – რეზინის მილისები (7) – ჩამოცმულია მილებზე (2) და გარე ზედაპირით ჩამაგრებულია კორპუსში (4). რხევის დროს რეზინა მუშაობს ძვრის დეფორმაციაზე.

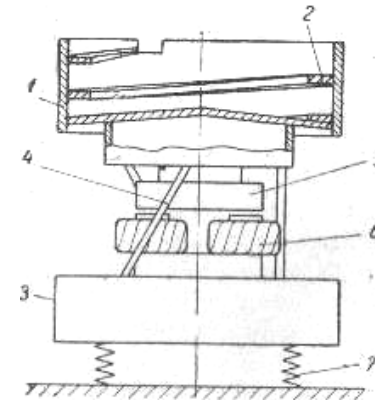


ნახ. 18.3

გარდა ზოგადი დანიშნულების ელექტროვიბრაციული მანქანისა, დამუშავებულია სპეციალური კონსტრუქციის მანქა-

ნები, რომელთა ამძრავები მტვერშეუღწევი, წყალშეუღწევი ან ფეთქებაუსაფრთხო შესრულებისაა.

ელექტროვიბრაციული სატრანსპორტო მანქანების განსაკუთრებული სახეობაა ვიბრაციული მკვები ხვიმირები (ბუნკერები), რომლებიც გამოიყენება ძირითადად მანქანათა და ხელსაწყოთა ნაწილებისა და ნამზადების აგზომაზე მიწოდებისათვის სხვადასხვა დანიშნულების ლითონნდამამუშავებელ ჩარხებზე. ვიბროხვიმარის მუშაობის პრინციპი შემდეგში მდგომარეობს (ნახ. 18.4). ხვიმარაში (1), რომლის შიგა ცილინდრულ ზედაპირზე შექმნილია ხრახნული დარი (2), ყრიან გადასაადგილებელ მასალას (ნამზადს); ვიბრაციის გავლენით ნამზადები გადაადგილება ამ დარზე და გამოდის ხვიმირიდან, საიდანაც ხვდება სათანადო ტრანსპორტირზე ან უშუალოდ მიეწოდება ჩარხს.



ნახ. 18.4

ვიბროხვიმირაში მასალის გადაადგილებას საფუძვლად იგივე პრინციპი უდევს, რაც ჩვეულებრივ ვიბრაციულ ტრანს-

პორტირებას, რადგან ხრახნული დარი შეიძლება წარმოვიდინოთ, როგორც სწორხაზოვანი მუშა ორგანო, რომელიც პორიზონტისადმი დახრილია ხრახნის ასევლის კუთხის ტოლი კუთხით. როგორც ზემოთ იყო აღნიშნული, ხრახნულ დარზე მასალის გადადგილებისათვის მუშა ორგანოს (ხვიმირას) ეძლევა რთული, ხრახნული რხევითი მოძრაობა, რაც წარმოადგენს ვერტიკალური და წრიული რხევების ჯამს. ასეთ მოძრაობას ანხორციელებენ დრეკადი ელემენტების – რესორების ან თვით ელექტრომაგნიტური ვიბრატორის დაყენებით მუშა ორგანოსადმი გარკვეული კუთხით, უფრო გავრცელებულია პირველი ხერხი. ნახ. 18.4-ზე ნაჩვენებია ასეთი ვიბროხეიმარას კონსტრუქციული სქემა. ხვიმირა (1) შეერთებულია ფუძესთან (3) დრეკადი დეროების (4) საშუალებით. მუშა ორგანოზე მიმაგრებულია ელექტრომაგნიტის ლუზა (5), ხოლო ფუძეზე – მისი გულარი ხვიებით (6). ვიბროიზოლაციის მიზნით მკვები დაყრდნობილია ამორტიზატორებზე (7).

ელექტროვიბრაციულ მკვებ ხვიმირებს ფართო გამოყენება აქვთ მანქანათმშენებლობასა და ხელსაწყოთმშენებლობაში. მათ ახასიათებს მთელი რიგი უპირატესობანი სხვა ტიპის ავტომატურ მკვებ მოწყობილობებთან შედარებით. ზოგიერთ შემთხვევაში ვიბროხეიმირები წარმოადგენენ ნამზადების ავტომატური ჩატვირთვისა და მიწოდების ერთადერთ რაციონალურ საშუალებას. ელექტროვიბრაციულ ხვიმირები საგრძნობლად აადვილებენ რთული და არასიმეტრიული ფორმის ნამზადების ორიენტაციას, რაც აუცილებელია ჩარხებზე მათი ავტომატური მიწოდებისათვის.

ელექტროვიბრაციულ ვერტიკალურ ტრანსპორტირებს მკვები ხვიმირისაგან განსხვავებით გაცილებით მაღალი მუშა ორგანოები აქვთ, რომელთა გარე ცილინდრულ ზედაპირზე შესრულებულია ხრახნული დარი. ამ თრი ტიპის ვიბრაციული მანქანის მუშაობის პრინციპი კი ანალოგიურია. ვიბრაციული კონვეიერების – ელევატორების გამოყენება ფხვიერი მასალების გადადგილებისათვის ვერტიკალური მიმართულებით ხშირად უფრო რაციონალურია ვიდრე სხვა ტიპის, მაგალითად, ციცხვიანი (ჩამჩიანი) ელევატორისა.

ვერტიკალური ვიბროკონვეიერები ხასიათდებიან მუშა ორგანოს სიმაღლისა და მისი გარე დიამეტრის შეფარდებით. ამ შეფარდებას დახახლოებით 10-მდე იდებენ, ხოლო სიმაღლეს – 6-8 მეტრამდე, როდესაც საჭიროა ტრანსპორტირება მეტ სიმაღლეზე, აწყობენ სატრანსპორტო ხაზს, რომელშიც რამდენიმე ელევატორი შედის.

ელექტროვიბრაციული სატრანსპორტო მანქანების ჯგუფს მიაკუთვნებენ ხვიმირების ამგზნებებს. როგორც ცნობილია, ზოგიერთი ფხვიერი მასალა ხვიმირებში ხშირად იჭვდება, ქმნის თაღს, რითაც ხელს უშლის ამა თუ იმ ტექნოლოგიური პროცესის ნორმალურ მიმდინარეობას. ასეთი მოვლენების თავიდან აცილების მიზნით იყენებენ ვიბრატორებს – ამგზნებებს, რომლებიც მასალას გადასცემენ რხევას, რითაც უზრუნველყოფენ ხვიმირიდან მის უწყვეტ მიწოდებას.

ამგზნებად გამოიყენება როგორც რეზონანსული, ისე დარტყმითი მოქმედების ელექტრომაგნიტური ვიბრატორები. ვიბრატორის კონსტრუქცია, სიმდლავრე და მუშაობის რეჟიმი,

აგრეთვე მისი დამაგრების ხერხი დამოკიდებულია ხვიმირის ფორმასა და ზომებზე, მასალის თვისებებზე და მის მდგომარეობაზე (სინესტე, წებადობა და სხვა).

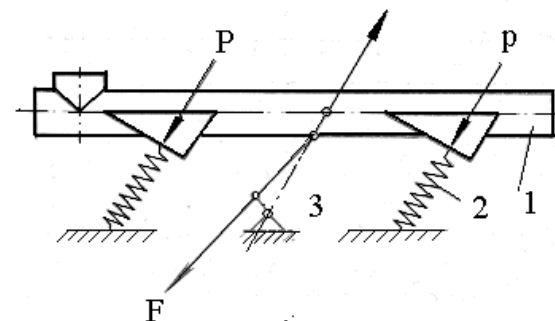
ლითონის ხვიმირებში ვიბრატორს აყენებენ უშალოდ მის კედელზე დაახლოებით სიმაღლის  $1/4$  მანძილზე ძირიდან. ვიბრატორის მუშაობის დროს ხვიმირას კედელი მოდის რჩევით მოძრაობაში, რაც მასალას გადაეცემა.

ბეტონის ხვიმირებში, ხოლო ზოგიერთ შემთხვევაში ლითონის ხვიმირებშიც ეფექტურობის გაზრდის მიზნით, ვიბრატორს ამაგრებენ ფოლადის სპეციალურ ფურცლებზე, რომლებიც ხვიმირას შიგნითაა მოთავსებული და იზოლირებულია მისგან ამორტიზატორების საშუალებით. ვიბრატორის დამაგრება ფურცელზე ხდება ხვიმირას კედელში გამავლი კრონშტეკინგების საშუალებით.

კარგ ეფექტს იძლევა ამგზნები ვიბრატორის მოთავსება ხვიმირას შიგნით, როდესაც რჩევა უშალოდ გადაეცემა მასალას. ამ შემთხვევაში საგრძნობლად იზრდება ამგზნების მოქმედების ეფექტურობა და მავნე რჩევებიც ნაკლებად გადაეცემა ხვიმირას მზიდ კონსტრუქციას.

## §19. ვიბრაციული მანქანები ერთი თავისუფლების ხარისხით

ერთი თავისუფლების ხარისხის მქონე ვიბრაციული მანქანების თეორიულ საფუძველს წარმოადგენს სქემა, გამოსახული ნახ. 19.1-ზე. ტიპიურ მაგალითად ავიდოთ ვიბრაციული სატრანსპორტო დანადგარი ექსცენტრიული ამძრავით, ნაწვენები ნახ. 19.1-ზე. ნახაზზე 1 – მუშა ორგანო, 2 – დრეკადი ელემენტი, ხოლო 3 – კინემატიკური ამძრავი.



ნახ. 19.1

ვიბროსატრანსპორტო რჩევით სისტემაზე მოქმედებს

შემდეგი ძალები: ინერციის ძალები  $P_{0x} = mx$ , სადაც  $m$  – დანადგარის რჩევითი ნაწილის მასაა; დრეკადი კავშირების აღმდეგნი ძალები  $P = cx$ , სადაც  $c$  – დრეკადი კავშირების

ჯამური სიხისტეა; წინააღმდეგობის ძალები  $P_{\text{v}} = h \dot{x}$ , სადაც  $h$  – პროპორციულობის კოეფიციენტია; აღმგზნები ძალა  $F$ .

$x, x, x$  - შესაბამისად, მუშა ორგანოს გადაადგილება, სიჩქარე და აჩქარება.

ამრიგად, ამძრავის საჭირო აღმგზნები ძალის სიდიდე გამოიყვნება შემდეგი გამოსახულებით:

$$F = P_{ob} + P + P_f. \quad 19.1$$

როგორც 19.1 გამოსახულებიდან ჩანს აღმგზნები ძალის სიდიდე, რომელზეც დამოკიდებულია კინემატიკურ წყვილებში ძალები, განისაზღვრება სისტემაში ინერციის ძალების, დრეგადი ძალებისა და წინააღმდეგობის ძალების თანაფარდობით. ყოველთვის სასურველია, რომ ძალების სიდიდეები კინემატიკურ წყვილებში იყოს რაც შეიძლება მცირე, მათი სიმტკიცისა და ხანგამდლეობის უკეთესი პირობების გამო. მეორეს მხრივ, ასევე მნიშვნელოვან ფაქტორს წარმოადგენს დანადგარის მუშაობის დროს აღმრული ინერციის ძალების ფუნდამენტზე გადაცემის პრობლემა. შესაბამისად, ინერციის ძალების გაწონასწორება შეიძლება დაიყოს ორ ძირითად ამოცანად: მანქანის კინემატიკურ წყვილებში ძალების გაწონასწორებად და მანქანის ფუნდამენტზე დაწოლის გაწონასწორებად. ამ ორი გარემოების ოპტიმალურ შეთანწყობაზეა მნიშვნელოვანწილად დამოკიდებული მთლიანად დანადგარის სტაბილური მუშაობა.

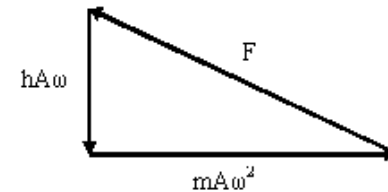
გავანალიზოთ 19.1 ტოლობა ძალური მრავალკუთხედის დახმარებით. ამისათვის, როგორც §3-ში გვქონდა, მივიღოთ, რომ დანადგარის მუშა ორგანიზე ამძრავის მხრიდან მოქმედებს აღმგზნები ძალა

$$F = F_0 \sin \omega t, \quad \text{ხოლო } \dot{F} = F_0 \omega \cos \omega t$$

$x = A \sin \omega t$ . შესაბამისად, მუშა ორგანოს სიჩქარე და აჩქარება

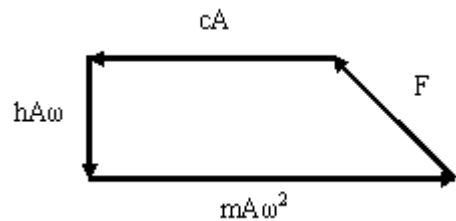
ტოლი იქნება  $x = hA \omega \cos \omega t$  და  $\dot{x} = -mA \omega^2 \sin \omega t$ . ავიღოთ მათი მაქსიმალური მნიშვნელობები. ე.ი. გვაძვს აღმგზნები ძალის სიდიდე  $F$ , ინერციის ძალების სიდიდე  $P_{ob} = mA\omega^2$ , დრეგადი აღმდგენი ძალების სიდიდე  $P = cA$ , წინააღმდეგობის ძალების სიდიდე  $P_f = hA\omega$ .

თუ მანქანის ტვირთმზიდ ორგანოს არ გააჩნია დრეგადი კავშირები, მაშინ რხევადი ნაწილების ინერციის ძალები არაფრით არ წონასწორდებიან და აღმგზნებ ძალას უნდა გააჩნდეს შესაბამისი შემდგენი, რათა დაძლიოს ეს ძალები. ამ შემთხვევაში ამძრავის კინემატიკურ წყვილებში მოქმედებენ საკმაოდ დიდი დატვირთვები. ძალური მრავალკუთხედით ეს გამოიყრება შემდეგნაირად:



ვიბრაციულ სატრანსპორტო მანქანაში თუ დრეგადი სისტემის საკუთარი სიხშირე ნაკლებია აღმგზნები ძალის სიხშირეზე, ანუ მანქანა მუშაობს რეზონანსს შემდგომ რეჟიმში, დრეგადი აღმდგენი ძალები მხოლოდ ნაწილობრივ გააწონასწორებენ ინერციის ძალებს. ასეთ რეჟიმში

კინემატიკურ წყვილებში ძალგები იქნება შედარებით მცირე და ძალური მრავალკუთხედით იგი გამოისახება შემდეგნაირად:

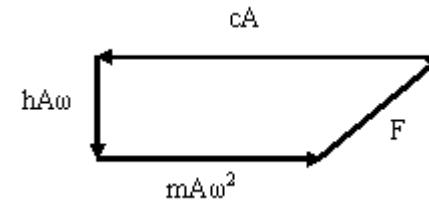


თუ გავზრდით მანქანის საკუთარ სიხშირეს ისე, რომ დრეკადი კავშირების აღმდგენი ძალები მთლიანად გააწონას წორებენ ინერციის ძალებს, მაშინ გვექნება მუშაობის რეზონანსული რეჟიმი. ამ დროს აღმგზნებ ძალას გააჩნია მინიმალური მნიშვნელობა, რაც საჭიროა მხოლოდ წინააღმდეგობის ძალების დასაძლევად, მაგრამ ამავე დროს ხდება ინტენსიური ზემოქმედება საყრდენ კონსტრუქციებზე. შესაბამისი მრავალკუთხედია:



თუ კიდევ უფრო გავზრდით დრეკადი სისტემის საკუთარ სიხშირეს, მაშინ დრეკადი აღმდგენი ძალები მეტი იქნება ინერციის ძალებზე. ასეთ შემთხვევაში ამმრავის კინემატიკურ წყვილებში ისევ დაიწყებს გაზრდას ძალგები, მაგრამ არა ინერციის ძალების ხარჯზე არამედ დრეკადი

აღმდგენი ძალების გავლენით. მრავალკუთხედი კი გამოიყურება შემდეგნაირად:



მაშასადამე, ანალიზიდან ჩანს, რომ ყველაზე ხელსაყრელი რეჟიმი კინემატიკურ წყვილებში ძალგების შესამცირებლად არის დანადგარის მუშაობის რეზონანსული რეჟიმი, მაგრამ ამ დროს მაქსიმალურია ინერციის ძალების გადაცემა ფუნდამენტზე, რაც მოითხოვს მისი ვიბროიზოლაციისთვის ტექნიკური საშუალებების გამოყენებას.

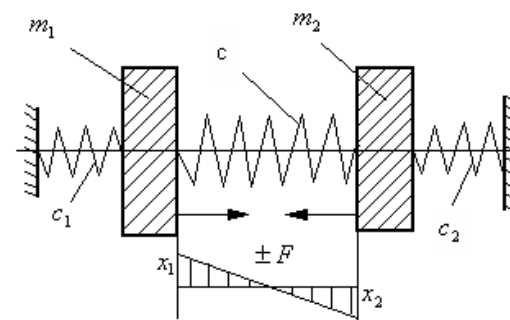
## §20. გიბრაციული მანქანები ორი თავისუფლების ხარისხით

გიბრაციული მანქანები ხშირ შემთხვევაში წარმოადგენენ რჩევით სისტემებს ორი, სამი და მეტი თავისუფლების ხარისხით.

ასეთი სისტემების მაგალითი წარმოდგენილია ნახ. 20.1-ზე. ორი  $m_1$  და  $m_2$  მასები დაკავშირებულია ერთმანეთთან  $c_1$  და  $c_2$  სიხისტის მქონე დრეპადი ელემენტებით (განსახილველ შემთხვევაში ზამბარებით) და შეუძლიათ გადაადგილდნენ ხახუნის გარეშე  $x$  დერმის გასწვრივ. თუ  $x_1$  და  $x_2$  კოორდინატები გადაიზომება წონასწორობის მდებარეობიდან, მაშინ ეს ორი კოორდინატა მთლიანად განისაზღვრება სისტემის კონფიგურაციით. ამრიგად, ამ სისტემას აქვს ორი თავისუფლების ხარისხი.

აღნიშნული სისტემის რჩევების ანალიზის დროს აუცილებლად საჭირო ხდება მისი მოძრაობის დიფერენციალური განტოლებების შედგენა და მათი ამოხსნა, რომელთა რაოდენობა ცვალებადი დამოუკიდებელი კოორდინატების რაოდენობის ტოლია. ასეთ სისტემაში თუ გავითვალისწინებთ გარეშე და შინაგანი წინააღმდეგობების ძალებს, განტოლებების ამოხსნა დაკავშირებულია საკმაოდ დიდ სირთულეებთან. ამის გამო, გამარტივების მიზნით შემოდებულია მეთოდი, რომლის არსი მდგომარეობს იმაში, რომ ორი თავისუფლების

ხარისხის მქონე სისტემა დაიყვანება სისტემაზე ერთი თავისუფლების ხარისხით. ასეთი სისტემა კი რჩევების ზოგად თეორიაში საკმაოდ დეტალურადაა შესწავლილი. დაყვანის აღნიშნული მეთოდის განხილვის შემთხვევაში რეალური მასების ნაცვლად შემოიტანება სისტემის ექვივალენტური მასა, ხოლო შინაგანი და გარეშე წინააღმდეგობის ძალების ნაცვლად მისი ექვივალენტური კოეფიციენტი. შესაბამისად, რჩევით სისტემას ჯერ ამარტივებენ და განიხილავენ, როგორც ორი მასისგან შედგენილ თავისუფლად იზოლირებულ სისტემას (ნახ. 20.1), ხოლო შემდგომ ამ სისტემას გარდასახავენ ერთმასიან სისტემად, როგორც ეს არის წარმოდგენილი ნახ. 1.1-ზე.



ნახ. 20.1

ვიხილავთ ნახ. 20.1-ზე წარმოდგენილ მექანიკურ რჩევით სისტემას. და ვუშვებთ, რომ თითოეულ მასაზე მოქმედებს სიდიდით ტოლი და ფაზებით საწინააღმდეგო აღმგზნები ძალები. ეს ძალები არიან მასებს შორის ურთიერთქმედების შინაგანი ძალები. წინააღმდეგობის შინაგანი ძალები, მაგალითად დრეპად ელემენტებში, ასევე სიდიდით არის ტოლი და

საწინააღმდეგოდ არიან მიმართულნი. გამარტივების მიზნით ვუშვებთ ასევე, რომ წინააღმდეგობის ძალები, როგორიცაა ტვირთის ტრანსპორტირებისას გადაადგილების წინააღმდეგობის ძალები, ერთნაირია ორთავე მასისათვის და ისინიც საწინააღმდეგოა ფაზებით. ნახ. 20.1-ზე  $c_1$  და  $c_2$  გარეშე დრეგადი კაგშირების წინააღმდეგობებია და მათი გავლენა უგულებელვყოთ. ასევე მისაღებია, რომ შინაგანი ძალები პროპორციულია დრეგადი ელემენტების დეფორმაციის სიჩქარის, ხოლო გარეშე ძალები, პროპორციულია რხევით მასების მოძრაობების სიჩქარის. აღნიშნული პირობების გათვალისწინებით შეიძლება დავწეროთ მოძრაობათა შემდეგი დიფერენციალური განტოლებები:

$$m_1 \ddot{x}_1 + k_1 \dot{x}_1 + h(x_1 - x_2) + c(x_1 - x_2) = + F \sin(\omega t + \varphi); \quad 20.1$$

$$m_2 \ddot{x}_2 + k_2 \dot{x}_2 - h(x_1 - x_2) - c(x_1 - x_2) = - F \sin(\omega t + \varphi),$$

სადაც  $m_1$  და  $m_2$ ,  $x_1$  და  $x_2$ ,  $k_1$  და  $k_2$  შესაბამისად მასები, ნეიტრალური მდებარეობიდან მათი გადაადგილებები და გარეშე ძალების წინააღმდეგობის კოეფიციენტებია;  $h$  — შინაგანი ძალების წინააღმდეგობის კოეფიციენტია;  $c$  — დრეგადი კაგშირების სიხისტის კოეფიციენტია;  $F$  და  $\omega$  — აღმგზები ძალის ამპლიტუდა და სიხშირეა;  $\varphi$  — მასებზე მოქმედი ძალის საწყისი ფაზაა.

აღნიშნულიდან გამომდინარეობს, რომ აღგზების ძალების, დრეგადი აღმდგენი ძალების და შინაგანი წინააღმდე-

გობების ძალების მყისიერი მნიშვნელობები თითოეული მასისთვის, დროის ნებისმიერ მომენტში სიდიდით ტოლია და საწინააღმდეგოდ არიან მიმართულნი.

შესაბამისად, თუ შევპრიბავთ 20.1 განტოლებებს, მივიღებთ

$$m_1 \ddot{x}_1 + k_1 \dot{x}_1 + m_2 \ddot{x}_2 + k_2 \dot{x}_2 = 0, \quad 20.2$$

ანუ თითოეულ მასაზე მოქმედი ინერციის ძალებისა და გარეშე წინააღმდეგობის ძალების მყისიერი მნიშვნელობები, დროის ნებისმიერ მომენტში ტოლია ნულის.

თუ იმასაც დაგუშვებთ, რომ ხახუნის გარეშე ძალები ასევე ტოლია სიდიდით და საპირისპიროა ფაზით, ანუ

$$k_1 \dot{x}_1 + k_2 \dot{x}_2 = 0, \quad 20.3$$

მივიღებთ

$$m_1 \ddot{x}_1 + m_2 \ddot{x}_2 = 0, \quad 20.4$$

ამრიგად დამყარებული იძულებითი რხევებისათვის 20.3 და 20.4 განტოლებები მოგვცემს

$$\frac{\ddot{x}_2}{\ddot{x}_1} = - \frac{k_1}{k_2} = - \frac{m_1}{m_2}. \quad 20.5$$

ეს კი ნიშნავს, რომ რხევითი სისტემის მასების გადაადგილებები ნეიტრალური მდებარეობის მიმართ უკუპროპორციულია თვით მასების სიდიდეებისა და წინააღმდეგობის გარეშე ძალების კოეფიციენტების. ამავე დროს თრი მასისგან შემდგარი სისტემის რხევის დროს დრეგადი

ელემენტის ერთი ფიზიკური წერტილი რჩება უძრავი. ეს უძრავი წერტილი კი წარმოადგენს სისტემის ინერციის ცენტრს ნახ. 20.1.

20.5 ტოლობების მხედველობაში მიღებით, ორი მასისგან შემდგარი თავისუფალი იზოლირებული სისტემის კვლევა შესაძლებელია დაყვანილი იქნას ამ სისტემის ერთი მასის მოძრაობაზე მეორე მასის მიმართ, ანუ

$$x + \frac{k+h}{m}x + \frac{c}{m}x = \frac{F}{m} \sin \omega t, \quad 20.6$$

სადაც  $x$  – ერთი მასის გადაადგილებაა მეორის მიმართ;  $m$  – სისტემის დაყვანილი მასაა;  $k$  – გარე წინააღმდეგობების დაყვანილი კოეფიციენტია.

წინა ტოლობების გათვალისწინებით ადვილია ვიპოვოთ, რომ წინააღმდეგობის დაყვანილი კოეფიციენტი და მასა შესაბამისად უდრის:

$$k = \frac{k_1 m_2}{m_1 + m} = \frac{k_2 m_1}{m + m_2}; \quad 20.7$$

$$m = \frac{m_1 m_2}{m_1 + m_2}. \quad 20.8$$

1.3 განტოლების გამოყენებით მივიღებთ:

$$\omega_0 = \sqrt{\frac{c}{m}} = \sqrt{\frac{c(m_1 + m_2)}{m_1 m_2}}. \quad 20.9$$

მხედველობაში უნდა იქნას მიღებული, რომ  $c = 19.9$  განტოლებაში წარმოადგენს დრეკადი სისტემის ჯამურ კოეფიციენტს და უდრის

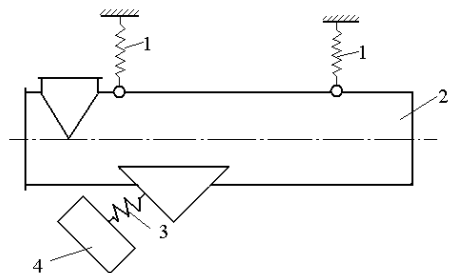
$$c = \frac{m_1 m_2}{m_1 + m_2} \omega_0^2. \quad 20.10$$

## §21. გიბრაციული მანქანის აწყობა რეზონანსულ რეჟიმში

მანქანის აწყობის საკითხებს გადამწყვეტი მნიშვნელობა აქვს რეზონანსულ გიბრაციულ მანქანებში. მათი ეფექტური მუშაობის უზრუნველსაყოფად განსაკუთრებით ზუსტად საჭიროებს აწყობას ვიბრომანქანები ელექტრომაგნიტური ვიბრომარავით, რადგან ასეთი ტიპის მანქანებს გააჩნიათ სიმძლავრის საქმიოდ შეზღუდული მარაგი. აღგზნების ძალის გაზრდა ელექტრომაგნიტურ ამპრავებში იწვევს გაბარიტებისა და წონის გაზრდას, რაც რა თქმა უნდა არამიზანშეწონილია. ანგიხილოთ რეზონანსული ელექტროვიბრაციული კონვეირის აწყობის ხერხი.

მანქანა შედგება ორი მასისაგან, აქტიური  $2$  ( $m_a$ ) და რეაქტიული  $4$  ( $m_r$ ) მასებისაგან, რომლებიც შეერთებულია

ერთმანეთთან დრეკადი 3 ელემენტებით (ნახ. 21.1). მზიდი კონსტრუქციისგან იზოლირება ხორციელდება 1 ამორტიზატორებით, რომელთა სიხისტეებს, მანქანის ძირითადი დრეკადი



ნახ.21.1

ელემენტის სიხისტეთან გაცილებით სიმცირის გამო, უგულებელვყოფთ. შესაბამისად, მანქანის მოყვანილი სტრუქტურული სქემა შეესაბამება ორი  $m_a$  და  $m_r$  მასებისგან შედგენილ თავისუფალ იზოლირებულ რხევით სისტემას, წარმოდგენილს ნახ. 1.1-ზე. მანქანა იქნება რეზონანსული თუ ამ სისტემის საკუთარი წრიული სიხშირე  $\omega_0$  ტოლი იქნება აღმგზები ძალის და სიხშირის. ამ პირობის შესასრულებლად აუცილებელია დრეკადი ელემენტებისათვის შევარჩოთ სიხისტე, ფორმულით:

$$c = \omega^2 \frac{m_a m_r}{m_a + m_r}. \quad 21.1$$

მასების რხევები აღიგზნება და შეინარჩუნება ორთავე მასებთან დაკავშირებული ელექტრომაგნიტური სისტემის

მექანიკური იმპულსებით. მანქანაში ელექტრომაგნიტის დუზა ხისტადაა დამაგრებული ერთ მასაზე, ხოლო გულანა მეორე მასაზე. დუზისა და გულანის მიზიდულობის ძალები გადაეცემა მასებს და დროის ნებისმიერ მომენტში გააჩნიათ ტოლი სიდიდეები, მაგრამ ისინი მიმართულნი არიან ერთმანეთის საწინააღმდეგოდ.

როგორც ნახ. 21.1-დან ჩანს ერთერთი მასა (აქტიური) არის მანქანის მუშა ორგანო, რომლის რხევა იწვევს სატრანსპორტო ტვირთის გადაადგილებას. გადაადგილებას კი განაპირობებს ჰორიზონტისადმი გარკვეული დახრის კუთხით მიწოდებული იმპულსების მიმართულების ჰორიზონტალური შემდგენი. ზოგადად, აქტიური მასა იზრდება გადასაადგილებელი ტვირთის ხარჯზე. აქტიური მასის ეს დამატებითი ნაწილი მიღებულია იწოდოს მიერთებული მასის  $m_b$  სახელწოდებით. შესაბამისად ჯამური მასა ტოლია:

$$m_{ab} = m_a + m_b, \quad 21.2$$

მიერთებული მასის სიდიდე შეიძლება გამოვსახოთ დამოკიდებულებით:

$$m_b = \xi m_M, \quad 21.3$$

სადაც  $\xi$  - მიერთების კოეფიციენტია, რომლის სიდიდე დამოკიდებულია დასამუშავებელი გარემოს წინააღმდეგობასა და კიბრომანქანის მუშაობის რეჟიმზე,  $m_M$  - მანქანის მუშა ორგანოზე არსებული მასალის მასაა.

როგორც აღრე ავღნიშნეთ, რეზონანსული მანქანები შეიძლება მუშაობდნენ რეზონანსთან ახლოს რეჟიმში, ანუ რეზონანსამდელ რეჟიმში, როცა  $\omega \leq \omega_0$  და რეზონანს შემდგომ რეჟიმში, როცა  $\omega \geq \omega_0$ . რეზონანსული რეჟიმი, რომელიც შეესაბამება შემთხვევას, როცა  $\omega = \omega_0$

არ გამოიყენება, რადგან იგი ხასიათდება მუშაობის არამდგრადობით და ღუზისა და გულანის აუცილებელი დარტყმებით, თუ აღმგნები ძალა და საპატიო დრეჩო ღუზასა და გულანას შორის შერჩეულია მანქანის მდგრადი მუშაობის პირობიდან.

მანქანის მუშაობის მდგრადობა განისაზღვრება რხევითი სისტემაზე გარეშე და შინაგანი წინააღმდეგობების ძალების ცვლილებისადმი მგრძნობიარობით, რაც გამოიხატება მასების რხევების ამპლიტუდების ცვლილებაში.

მუშა ორგანოს  $m_a$  მასითაა განპირობებული მისი რხევის  $A_a$  ამპლიტუდა, მოცემული სისირის დროს. თუ ორმასიანი მანქანისათვის შევარჩევთ რეაქტიულ  $m_r$  მასას, განისაზღვრება მისი რხევის ამპლიტუდის  $A_r$  სიდიდეც, რადგან ეს ორი პარამეტრი ერთმანეთთან დაკავშირებულია ტოლობით:

$$m_a A_a = m_r A_r \quad 21.4$$

თუ ცნობილია მასების რხევების ამპლიტუდები, ადვილი შესაძლებელია შევარჩიოთ ამძრავის ელექტრო-

მაგნიტურ სისტემაში ყველაზე უფრო ხელსაყრელი საპატიო დრეჩოს სიდიდე  $b$ , რომელმაც უნდა დააკავშიროს შემდგაი პირობა:

$$b \approx A_a + A_r \langle b \rangle \quad 21.5$$

21.5 გამოსახულებიდან გამომდინარეობს, რომ როდესაც  $m_a \langle m_r \rangle$  აუცილებელია ნაკლები, ხოლო როდესაც  $m_a \rangle m_r$  მეტი საპატიო დრეჩო. საპატიო დრეჩოს შემცირება ზრდის მაგნიტური ძალოვანი ნაკადის სიდიდეს, რასაც თან ახლავს დენის ძალის შემცირება და ელექტრომაგნიტის ნაკლები ტემპერატურული რეჟიმი. შესაბამისად მცირდება ელექტრო-ენერგიის დანაკარგები და იზრდება მანქანის მუშაობის მდგრადობა. აქედან გამომდინარე  $m_r$  მასის სიდიდის გაზრდა გარკვეულ ზღვრებამდე,  $m_a$  და  $A_a$  - ს მოცემული მნიშვნელობებისთვის, ზრდის მანქანის მდგრადობას, ჯამური წონის ზრდისა და საპატიო დრეჩოს შემცირების ხარჯზე. საბოლოოდ კი იზრდება მანქანის მარგი ქმედების კოეფიციენტი. აღნიშნულ შემთხვევაში  $m_r$  მასის მნიშვნელოვან ნაკლებ წარმოადგენს მისი ლითონტევადობის გაზრდა.

## §22. ვიბრაციული მანქანების ტექნოლოგიური პარამეტრების განსაზღვრა

ვიბრაციული მანქანების ტექნიკაში გამოყენების დროს განსაკუთრებით გავრცელებულ სახეს წარმოადგენს სატრანსპორტო ტექნოლოგიური ოპერაციების შესრულება. ამა თუ იმ გარემოზე ვიბრაციული მანქანების მუშა ორგანოთა ზემოქმედება ახდენს მათ ისეთ ტექნოლოგიურ დამუშავებას როგორიცაა: ტრანსპორტირება, შემჭიდროვება, ფორმირება, დახარისხება, შენჯლრევა და სხვა.

ვიბრაციული სატრანსპორტო ტექნოლოგიური მანქანების ერთეულთ ძირითად საექსპლუატაციო პარამეტრს წარმოადგენს მათი მწარმოებლობა, რომლის სიდიდე განისაზღვრება მანქანის მუშა ორგანოს ზედაპირზე სატრანსპორტო ტვირთის სიჩქარით და სატრანსპორტო მასალის განივავეთის ფართით.

მასალის ვიბრირებად ზედაპირზე გადაადგილება ხორციელდება მიკროხტომების საშუალებით. ეს უკანასკნელი კი მიიღება ვიბრაციული ამძრავის მატრანსპორტირებელ ზედაპირთან გარკვეული დახრის კუთხით ( $20^{\circ} - 30^{\circ}$ ) გადაცემული ძალის ვერტიკალური და ჰორიზონტალური შემდგენების წყალობით. მუშა ორგანოს ზემოთ და წინ მოძრაობის შედეგად სატრანსპორტო მასალის ნაწილაკები გადაადგილდებიან მუშა ორგანოსთან ერთად, ხოლო ქვემოთ და უკან მოძრაობის დროს კი ხდება მასალის მოწყვეტა

ზედაპირიდან. შესაბამისად, ხდება მასალის სატრანსპორტო ზედაპირზე ნახტომისებური გადაადგილება.

ვიბრაციული მანქანების მუშა ორგანოს სატრანსპორტო ზედაპირზე მასალის ჰორიზონტალური მიმართულებით გადაადგილების სიჩქარე განისაზღვრება ემპირიული ფორმულით:

$$V = 4Af \cos \alpha, \quad 22.1$$

სადაც  $V$  მასალის გადაადგილების სიჩქარეა  $\text{მ}/\text{მ}\cdot\text{ში}$ ,  $A$  – მასალით დატვირთული მუშა ორგანოს რხევის ამპლიტუდაა მეტრებში,  $f$  – მუშა ორგანოს რხევის სიხშირეა ჰერცებში,  $\alpha$  – ტრანსპორტირების ზედაპირთან ვიბრაციის დერძის დახრაა.

22.1 ფორმულის სიმარტივის მიუხედავად, ამ ფორმულით გამოვლილი ტრანსპორტირების სიჩქარე, მისი პრაქტიკული გამოყენების თვალსაზრისით, იძლევა საკმაოდ ზუსტ შედეგს და რაც მთავარია დასტურდება ექსპერიმენტულად.

მასალის ტრანსპორტირების სიჩქარის გამოვლის შემდეგ შესაძლებელია გამოვთვალოთ ვიბრაციული მანქანის მწარმოებლობა, შემდეგი გამოსახულებით:

$$Q = 36\gamma SV, \quad 22.2$$

სადაც  $Q$  – მანქანის მწარმოებლობაა ნ/სთ,  $\gamma$  – მასალის ხვედრითი წონაა ნ/მ<sup>3</sup>,  $S$  – სატრანსპორტო ზედაპირზე მასალის ფენის განივავეთის ფართობია მ<sup>2</sup>.

თავის მხრივ მასალის ფენის განივავეთის ფართობი  $S$  ტოლია:

$$S = K H B, \quad 22.3$$

150

სადაც  $K$  – სატრანსპორტო მასალით მუშა ორგანოს შევსების კოეფიციენტია, რომელიც ერთზე ნაკლები სიდიდეა და დამოკიდებულია სატრანსპორტო მასალის გვარობაზე,  $H$  და  $B$  შესაბამისად მუშა ორგანოს სიმაღლე და სიგანეა.

ვიბრაციული მანქანის გაანგარიშების დროს საჭიროა ასევე გათვალისწინებული იქნას აქტიურ მასაზე დამატებული მასა  $m_M$ . ეს არის სატრანსპორტო მასალის მასის ის ნაწილი, რომელიც იმყოფება გადამაადგილებელ ზედაპირზე. იგი გამოითვლება გამოსახულებით:

$$m_M = \gamma S L, \quad 22.4$$

სადაც  $L$  – მანქანის მუშა ორგანოს სატრანსპორტო ზედაპირის სიგრძეა.

ვიბროამძრავის მიერ მასალის ფენის ჰორიზონტალურ ზედაპირზე გადაადგილების წინააღმდეგობაზე დახარჯული სიმძლავრე შეიძლება ვიანგარიშოთ შემდეგი გამოსახულებით:

$$W = 4m_M Af \sin \alpha, \quad 22.5$$

სადაც  $W$  – მასალის გადაადგილებაზე დახარჯული სიმძლავრეა,  $m_M$  – მუშა ორგანოს სატრანსპორტო ზედაპირზე ერთდროულად არსებული მასალის მოცულობითი წონაა 6.

22.5 ფორმულა განსაზღვრავს ვიბრაციული მანქანის ამძრავის სიმძლავრეს მუშაობის დამყარებულ რეჟიმში; იგი ანიჭებს გადასაადგილებელ ტვირთს საშუალო სიჩქარეს. ამ ფორმულაში გათვალისწინებული არაა ის სიმძლავრე, რომელიც დამატებით საჭიროა მასალის ფენისათვის საწყისი

სიჩქარის მისანიშებლად. მიუხედავად ამისა სიმძლავრის ეს რაოდენობა გაცილებით მცირეა ძირითად სიმძლავრესთან შედარებით და ამიტომ იგი შეიძლება უგულებელვყოთ.

### §23. დრეკადი სისტემის პარამეტრების განსაზღვრა

ვიბრაციულ ტექნიკაში დრეკად სისტემად იწოდება დრეკადი ელემენტების ჯგუფი, რომლებიც გარკვეული სახით განლაგებულია ვიბრაციული მანქანის რხევად მასებს შორის, მათი ფორმისა და შინაარსის მიუხედავად. ვიბრაციულ მანქანებში დრეკადი სისტემები წარმოადგენენ ერთერთ ძირითად კვანძს, რომლებიც გამოიყენება რხევითი მოძრაობების გაძლიერებისა და სტაბილიზაციისათვის.

დრეკად სისტემაში ცალკეული ელემენტები ან ელემენტების სისტემა ერთიანდებიან ერთ მთლიან სისტემაში, რომელსაც გააჩნია სიხისტის დერძი და რომლის გასწვრივაც მიმართულია შემადგენელი ელემენტების დრეკადი აღმდგენი ძალების ტოლქედი. დრეკადი ძალების ტოლქედის ღერძის მიმართულება უთავსდება ვიბროამძრავიდან წამოსული აღმგზები ძალების ღერძის მიმართულებას. ეს საერთო ღერძი კი მიღებულია იწოდოს ვიბრაციის მიმართულებად. გამონაკლისს შეადგენენ ვიბრობუნკერებისა და ვიბროამწევების დრეკადი

ელემენტები, სადაც ისინი გამოიყენებიან მუშა ორგანოს მოძრაობის საჭირო ტრაექტორიის მისაღებად. რეზონანსში ან რეზონანსთან ახლოს რეჟიმებში მომუშავე ვიბრაციული მანქანების დრეკადი ელემენტები აწონასწორებენ მანქანების რჩვად მასებში აღმრულ ინერციის საკმაოდ დიდ ძალებს. დრეკადი სისტემის დახმარებით აღმგზნები ძალის შედარებით სუსტი მექანიკური იმპულსები გარდაიქმნება საკმაოდ დიდ ძალებად, რომლებიც ახდენენ ინტენსიურ ზემოქმედებას მანქანის მუშა ორგანოზე. დრეკადი სისტემების არსებული მრავალი სახეობისა და კონსტრუქციებიდან, შედარებით უფრო ფართო გავრცელება ჰპოვეს სისტემებმა, ცილინდრული ზამბარებით და ბრტყელი რესორებით. დრეკადი სისტემების სხვა სახეები, როგორიცაა: ტორსიონული, რგოლური, თეფშისებრი, რეზინის, რეზინომეტალის და სხვა, გამოიყენება შედარებით იშვიათად.

დრეკადი სისტემის დრეკადი თვისებები, უპირველეს ყოვლისა განისაძღვრება მისი სიხისტის კოეფიციენტით. სიხისტის კოეფიციენტი, როგორც ზემოთ გვქონდა აღნიშნული, წარმოადგენს მოქმედი ძალის შეფარდებას შესაბამის დეფორმაციასთან. ვინაიდან აღნიშნულ სიდიდეებს შორის, ცვლილებათა ფართო დიაპაზონში, არ არის წრფივი დამოკიდებულება, ანუ უფრო ზუსტად რომ ვთქვათ დამოკიდებულება არის არაწრფივი, კოეფიციენტიც იქნება არაწრფივი. ზოგადად, სიხისტის კოეფიციენტი ყოველთვის დამოკიდებულია დრეკადი სისტემის დეფორმაციაზე. მაგრამ, დრეკადი სისტემების დეფორმაციების გარკვეულ ზღვრებში, ამ

დეფორმაციების გავლენა სისტემის სიხისტეზე, მრავალ პრაქტიკულ შემთხვევაში, საკმაოდ მცირეა. ამიტომ, სიხისტე შეიძლება ჩავთვალოთ დეფორმაციისგან დამოუკიდებელი და წრფივი. ასეთი თვისებების მქონე დრეკადი სისტემები მიღებულია იწოდოს წრფივი სიხისტის მქონე სისტემებად, რაც ნიშნავს, რომ დრეკად სისტემაზე მოქმედ ძალასა და შესაბამის გადაადგილებას შორის დამოკიდებულება არის სწორხაზოვანი, ანუ წრფივი.

მეორე მნიშვნელოვან ფაქტორს დრეკადი სისტემის გაანგარიშების დროს წარმოადგენს დრეკადი ელემენტების სიმტკიცე. სიმტკიცე განისაზღვრება დეფორმირებადი სხეულის მასალის დასაშვები ძაბვებით.

სიმტკიცის პირობიდან გამომდინარე დგინდება დრეკად სისტემაზე მაქსიმალური დასაშვები დატგიროვა. შემდგომ, სიხისტისა და სიმტკიცის პირობიდან გამომდინარე დგინდება მაქსიმალური დასაშვები დეფორმაცია. დრეკადი სისტემის გაანგარიშების დროს ასევე მხედველობაში უნდა იქნას მიღებული სტატიკური დეფორმაციები, გამოწვეული მასების საკუთარი წონით და დეფორმაციები, გამოწვეული რხევითი მასებისგან ცვალებადი ძალებით. ამავე დროს, თუკი ცვალებადი ძაბვები საკმაოდ მაღალია, იმის გათვალისწინებით, რომ რხევითი სისტემა ექსპლუატაციის პირობებში იქნება სანგრძლივი ციკლური დატვირთვის რეჟიმში, საჭიროა სისტემა შემოწმდეს სანგამძლეობაზე, ანუ სისტემა უნდა გაითვალოს დაღლილობის სიმტკიცეზე.

მნიშვნელობის მიხედვით თუ შევაფასებთ, დრეკად სისტემაში მესამე მნიშვნელოვან საანგარიშო პარამეტრს წარმოადგენს ამ სისტემის დისიპატიური თვისებები. დისიპატია, ანუ ენერგიის გაბნევა ვიბრომანქანის ოხვით რეჟიმში, ხდება დრეკადი ელემენტის ჩამაგრების კვანძებში კონსტრუქციული პისტერეზისით და დეფორმირებადი მასალის შიდამოლექულური პისტერეზისით.

დრეკადი სისტემის დისიპატიის სიდიდე, როგორც ადრე ალგნიშნეთ, ხასიათდება დისიპატიის კოეფიციენტით. სისტემის გაანგარიშების გამარტივების მიზნით ეს კოეფიციენტი მიღებულია მოძრაობის სიჩქარის პროპორციული, უქვივალენტური სიდიდის შემოტანის ხარჯზე. დრეკადი სისტემა, რომელიც უზრუნველყოფს რხევითი რეჟიმის გაძლიერებასა და სტაბილიზაციას, უნდა ხასიათდებოდეს შედარებით მცირე დისიპატიური თვისებებით. მით უმეტეს ეს შეეხება რეზონანსულ რეჟიმზე აწყობილ ვიბრაციულ მანქანებს, რადგან ეს რეჟიმი განსაკუთრებით მგრძნობიარება დემპფირების მიმართ.

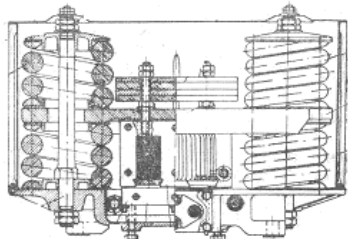
#### ცილინდრული ზამბარების გაანგარიშება

ცილინდრული ზამბარები მუდმივი ბიჯით საკმაოდ ფართოდ გამოიყენება ვიბრაციულ მანქანებში. ზამბარები არსებობს დახვეული და ამოჭრილი სახის.

დახვეული სახით ხრახნული ცილინდრული ზამბარებიანი დრეკადი ელექტროტები ვიბრაციული მანქანების ამძრავებში გამოიყენება მიმდევრობით-პარალელური შეთანწყობით. ცილინდრული ხრახნული ზამბარები იხვევა წრიული, კვადრატული და სწორკუთხოვანი განივევეთის მქონე დეროს ან მავთულისაგან. ამძრავების დრეკად ელემენტებში ძირითადად გვხვდება დეროს წრიული პროფილის მქონე ზამბარები. კვადრატული და სწორკუთხა პროფილის მქონე ზამბარები გამოიყენება იმ შემთხვევაში, როდესაც საჭირო ხდება დიდი სიხისტის მიღება. ზამბარების კონსტრუქცია და მათი დამაგრების სახე დამოკიდებულია დატერიტვის გვარობაზე. დატერიტვის გავრცელებულ სახეს წარმოადგენს ზამბარის გაჭიმვა-კუმშვა, როდესაც ზამბარა იღებს გრძივ დერძულ დატერიტვას ორთავე ნიშნით. ზამბარის მასებთან დამაგრება კი ხდება წინასწარი შეკუმშვით ისე, რომ ვიბროამძრავის რხევის მაქსიმალური ამპლიტუდით მუშაობის დროს, არ მოხდეს საყრდენი ზედაპირების მასებისგან მოწყვეტა. დახვეული ცილინდრული ზამბარების უარყოფით მხარეს წარმოადგენს ის, რომ თავისუფალ მდგომარეობაში მათი სიმაღლეები და ასევე სიხისტეები საკმაოდ განსხვავებულია სხვადასხვა ზამბარებისთვის. გარდა ამისა, ასეთი ტიპის ზამბარების ნაკლოვან მხარეს შეადგენს ვიბროამძრავის მუშაობის დროს მათი გაზრდილი ხმაური, რაც გამოწვეულია ზამბარის ბოლო ხვიების ერთმანეთზე შეჯახებით, მათი დაბალი დუნგითი სიხისტის გამო.

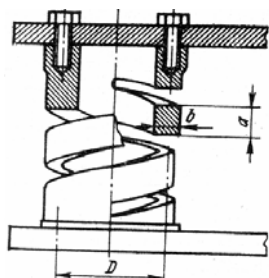
ზამბარებიანი დრეკადი ელემენტის მქონე ელექტრო-ვიბრაციული ამძრავი ნაჩვენებია ნახ. 23.1-ზე.

აღნიშნული ნაკლოვანებების აღმოსაფხვრელად დახვეული ცილინდრული გაჭიმვა-კუმშვის ზამბარების ნაცვლად ვიბრაციულ მაქნეანებში გამოიყენება ეწ. ამოჭრილი კონსტრუქციის ზამბარები. ეს უკანასკნელი წარმოადგენენ დრუ ცილინდრებს რომელთა კედვლში ამოჭრილია გამჭოლი ხრახნული



ნახ. 23.1

დრებო, ხვიის სწორკუთხოვანი კვეთით. ასეთი კონსტრუქციის წყალობით ზამბარის ბოლო ხვიები წარმოადგენენ მთლიან მილტუჩებს და მათი დამაგრება მასებზე შესაძლებელია ჭანჭიკებით, მილტუჩაში გაკეთებულ ხრახნულ ნახვრეტებში



ნახ. 23.2.

ცილინდრული ზამბარების ძირითადი პარამეტრების საინჟინრო გაანგარიშებები ხდება ქვემოთ მოყვანილი ფორმულების საშუალებით. კერძოდ, ზამბარის დეროს წრიული კვეთის შემთხვევაში  $c$  ხიხისტე იანგარიშება შემდეგი ფორმულით:

$$c = \frac{Gd^4}{8D^3i}, \quad 23.1$$

სადაც  $G$  - ზამბარის მასალის ძვრის მოდულია,  $d$  - ხვიის კვეთის დიამეტრია,  $D$  - ზამბარის საშუალო დიამეტრია,  $i$  - მუშა ხვიების რიცხვია.

კვადრატული და სწორკუთხოვანი კვეთებისთვის იგივე სიხისტის საანგარიშოდ გამოიყენება შემდეგი გამოსახულებები:

$$c = \frac{Ga^4}{5.56D^3i}; \quad c = \frac{Gb^4}{6D^3i}. \quad 23.2$$

სადაც  $a$  და  $b$  შესაბამისად, ხვიის კვეთის სიგანე და სიმაღლეა ( $a > b$ ).

ზამბარაზე მოქმედი ძალა სამივე კვეთისათვის იანგარიშება შემდეგი გამოსახულებებით:

$$P = \frac{\pi d^3[\tau]}{8D}; \quad P = 0.42 \frac{a^3[\tau]}{D}; \quad P = \frac{b^3[\tau]}{D\zeta}, \quad 23.3$$

სადაც  $\tau$  - გრეხვის ძაბვაა,  $\zeta$  - არის  $b/a$  - ზე დამოკიდებული კოეფიციენტი.

ზამბარის დერძული გადაადგილება (რხევის ამპლიტუდა) შეიძლება გამოვთვალოთ შემდეგი გამოსახულებებით:

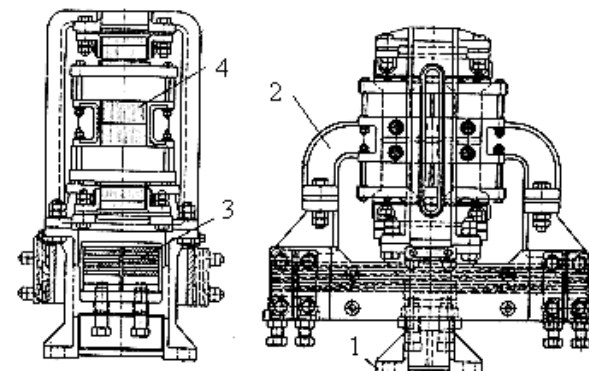
$$A = \frac{8FD^3i}{Gd^4}; \quad A = \frac{FD^3i}{Ga^4}; \quad A = \frac{FD^3i}{Gb^4}. \quad 23.4$$

გრეხვის ნორმალური ძაბვა ზამბარაში სამივე

შემთხვევისთვის იანგარიშება ფორმულებით:

$$\tau = \frac{8HD}{\pi d^3} \cdot \frac{4D + 2d}{4D - 3D}; \quad \tau = 2.4 \frac{HD}{a^3} \cdot \frac{4D + 2d}{4D - 3D}; \quad \tau = \xi \frac{HD}{a^3} \cdot \frac{4D + 2d}{4D - 3D}, \quad 23.5$$

სადაც  $H$  – ზამბარის სიმაღლეა.



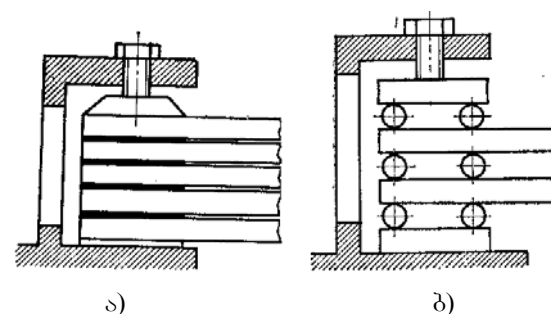
ნახ. 23.3

### ბრტყელრესორული დრეკადი სისტემის გაანგარიშება

ვიბრაციული მანქანების დრეკად ელემენტებში ფართო გამოყენება ჰქონა სწორკუთხა განივავთის მქონე ბრტყელრესორულმა დრეკადმა სისტემებმა. ეს ვაქტი განაპირობა იმან, რომ გარდა კონსტრუქციული სიმარტივისა, რესორის დერმული დეფორმაციის დროს, მის განივავეთში პრაქტიკულად არ მოქმედებს გამჭიმავი ძალები და შესაბამისად არ წარმოიქმნება არასიმეტრიული ძაბვები.

ბრტყელრესორებიანი დრეკადი ელემენტების მქონე ორმასიანი ვიბრაციული მანქანის კონსტრუქციული სქემა მოყვანილია ნახ. 23.3-ზე. სადაც 1 – აქტიური მასაა (მუშა ორგანო), 2 – რეაქტიული მასაა, 3 – რესორების პაკეტია, 4 – ელექტრომაგნიტი.

ბრტყელრესორული სისტემა წარმოადგენს ფოლადის ცალკეული რესორების ნაკრებს, რომელიც ბოლოებით არის ჩამაგრებული, ჩამაგრების ბუდეებში. რესორები ერთმანეთისგან განცალკევებულნი არიან შეასაფენებით ან ცილინდრული გორგოლაჭებით. ჩამაგრების ორთავე სახე ნაჩვენებია ნახ. 22.4 ა) და ბ) –ზე.



ნახ. 23.4

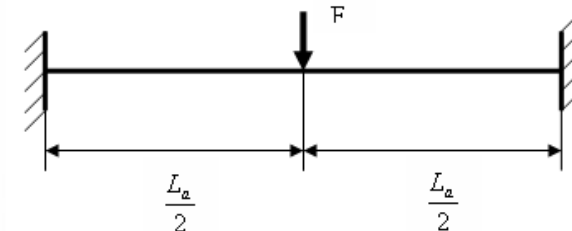
პირველ შემთხვევაში საფენები გამორიცხავენ რესორების ერთმანეთთან ხახუნს, შესაბამისად, მათი მუშაობის 160

პროცესში უკეთესი პირობებია რესორების გაგრილების თვალსაზრისით. მაგრამ რესორსა და საფენს შორის ხახუნის გამო არსებობს ენერგიის საქმაოდ დიდი დანაკარგები. მეორე შემთხვევა გაცილებით უკეთეს პირობებს ქმნის რესორების მუშაობისთვის, რადგან რესორების განცალკევებასთან ერთად ჩამაგრების ადგილებში ხახუნზე ენერგიის დანაკარგები გაცილებით მცირეა. სრიალის ხახუნი ამ შემთხვევაში იცვლება გორვის ხახუნით. ხახუნზე დანაკარგების შემცირებას განსაკუთრებით მნიშვნელობა აქვს რეზონანსულ რეჟიმში მომუშავე ვიბრაციული მანქანებისთვის. გარდა ამისა რესორების ასეთი პაკეტი ზრდის კონსტრუქციის საიმედობას და საშუალებას იძლევა გაიზარდოს რესორის სისქე და შემცირდეს მათი რიცხვი.

შეასაფენებიანი რესორული დრეპადი სისტემის პარამეტრების გაანგარიშება დაიყვანება სისტად ჩამაგრებული ერთმალიანი ძელის გაანგარიშებაზე. სქემატიურად იგი ნაჩვენებია ნახ. 23.5 – ზე. ასეთი ძელის განხილვის დროს, მის შუა ნაწილში ჩაღუნვა, სადაც მოდებულია შეკურსული გარეშე მოქმედი ძალა, იანგარიშება შემდეგი ფორმულით:

$$A = \frac{F(L_a \lambda)^3}{192EI}, \quad 23.6$$

სადაც  $F$  - არის გარეშე მოქმედი აღმგზნები ძალა,  $L_a$  - არის რესორული პაკეტის თავისუფალი სიგრძე,  $\lambda$  - არის ჩამაგრების კოეფიციენტი და მიიღება  $1,2 - 1,05$  ზღვრებში,  $E$  - დრეპადის მოდულია,  $I$  - რესორის განივევეთის ინერციის მომენტია.



ნახ. 23. 5

განხილული შემთხვევისთვის რესორული პაკეტის სიხისტე გამოითვლება შემდეგი გამოსახულებით:

$$c = \frac{F}{A} = \frac{192EI}{(L_a \lambda)^3}. \quad 23.7$$

თუ ჩავსვამთ  $I$ -ს მნიშვნელობას, სადაც

$$I = \frac{ba^3n}{12}, \quad 23.8$$

სადაც  $b$  - რესორის სიგანეა,  $a$  - რესორის სისქეა,  $n$  - რესორების რაოდენობაა პაკეტში, მივიღებთ:

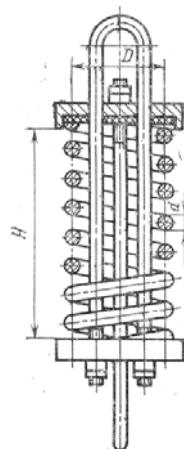
$$c = \frac{16Eba^3n}{(L_a \lambda)^3}. \quad 23.9$$

რესორების პაკეტში ძაბვების გამოსახულება: გამოიყენება შემდეგი გამოსახულება:

$$\sigma = \frac{12AaE}{(L_a \lambda)^3}. \quad 23.10$$

ვიბრომანქანის დაკიდების ამორტიზატორების გაანგარიშება

დრეკადი ამორტიზატორების გამოყენება ვიბრაციულ მანქანებში წარმოადგენს იზოლირების უფრო გავრცელებულ სახეს. ზოგადად ამორტიზატორები გამოიყენება იმისათვის, რომ მინიმუმდე იქნას დაყვანილი მავნე ვიბრაციების გადაცემა მზიდ კონსტრუქციებზე და შესაბამისად გარემოზე. ვიბრაციულ მანქანებში დრეკადი ამორტიზებორები გვხვდება როგორც დაკიდების კვანძებში ასევე მათ საყრდენ კონსტრუქციებში. ამჟამად არსებობს დრეკადი ამორტიზატორების კონსტრუქციების საკმაოდ მრავალსახეობა, რომლებიც იცავს ნაგებობებს და ფუნდამენტებს დინამიური დატვირთვებისაგან. კონსტრუქციული თვალსაზრისით ყველაზე მარტივ სახეს წარმოადგენს ამორტიზატორები, რომლებშიც გამოიყენება ცილინდრული ზამბარები. (ნახ. 23.6).



ნახ. 23.6

ცილინდრული ზამბარებიანი ამორტიზატორების პარამეტრების დასადგენად გამოიყენება გაანგარიშების მიახლოებითი მეთოდები, რომლებშიც ძირითადად აქცენტი გაკეთებულია სტატიკურ დატვირთვაზე. ამავე დროს მათში ნაწილობრივ გათვალისწინებულია დინამიკური დატვირთვებიც. როგორც პრაქტიკა უჩვენებს გაანგარიშების ასეთი მეთოდები საკმაო სიზუსტით ასახავს ამორტიზატორების მუშაობის პირობებს და საიმედოა ექსპლუატაციაში.

ვიხილავთ ვიბრაციულ მანქანას, რომელიც დაკიდებულია ოთხ დრეკად ამორტიზატორზე და დატვირთვებია სატრანსპორტო მასალით, ნახ. 23.7.

დატვირთვის რეაქციები ზამბარებში შეიძლება ვიანგარიშოთ შემდეგი გამოსახულებებით:

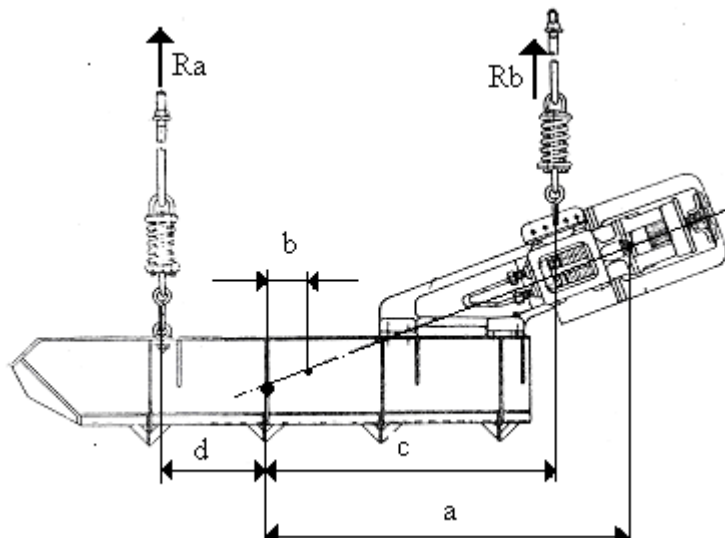
$$R_A = \frac{m_W c + m_M (c - b) - m_F (a - c)}{2(c + d)},$$

23.11

$$R_B = \frac{m_F (a + d) + m_M (b + d) + m_W d}{2(c + d)},$$

სადაც  $m_M$  - მუშა ორგანოზე არსებული მასალის მასაა,  $m_W$  - მუშა ორგანოს მასაა,  $m_F$  - ვიბროამძრავის მასაა.  $a, b, c, d$  - გეომეტრული ზომებია, რომლებიც ჩანს ნახაზიდან.

ოთხივე ამორტიზატორის ჯამური სიხისეზე იანგარიშება ფორმულით:



ნახ. 23.7

$$C_4 = m\omega_0^2,$$

23.12

სადაც მანქანის მოლიანი მასა  $m = m_M + m_W + m_F$ ,

ხოლო  $\omega_0 = 2\pi f_0$ ,  $f_0$  - ზამბარის საკუთარი სიხშირეა. აქევე უნდა ავლნიშნოთ, რომ ზამბარის საკუთარი წრიული სიხშირე  $\omega_0$  ნაკლები უნდა იყოს ვიბრომანქანის ძირითად მუშა და სიხშირეზე. თანაფარდობის მიღებული სიდიდეა  $\frac{\omega}{\omega_0} > 4$ .

ერთი ზამბარის სიხისტე შესაბამისად უდრის:

$$C_1 = \frac{C_4}{n},$$

23.13

სადაც  $n$  - ამორტიზატორების რაოდენობაა.

თუ შევარჩევთ ზამბარის პარამეტრებს, კერძოდ ხვის დ დიამეტრს და ზამბარის საშუალო  $D$  დიამეტრს, ასევე მუშა ხვიების რაოდენობა  $i = s$ , მაშინ ასეთი ზამბარის სიხისტე გამოითვლება ფორმულით:

$$C_1 = \frac{Gd^4}{8D^3i}.$$

ზამბარის მოქმედი ძალისგან დეფორმაცია იანგარიშება შემდეგი თანაფარდობით:

$$\rho = \frac{R_A}{C_1}.$$

დაბვა ზამბარაში შეიძლება ვიანგარიშოთ  
გამოსახულებით:

$$\tau = \frac{8D\rho C_1}{\pi d^3}.$$

უკანასკნელი ფორმულით ნაანგარიშევი სიდიდე ნაკლები უნდა იყოს ზამბარის მასალისთვის მიღებულ ძაბვის დასაშვებ სიდიდეზე.

## ვიბრაციული მანქანის მუშა ორგანოს მასის ცენტრის განსაზღვრა

ვიბრაციული სატრანსპორტო-ტექნოლოგიური მანქანების დაპროექტების დროს აუცილებელი ხდება ჩატარებული იქნას გაანგარიშებები მუშა ორგანოს სიმძიმის ცენტრის მოსაძებნად. სიმძიმის ცენტრის პოვნა უკავშირდება მისი კოორდინატების განსაზღვრას.

ნახ. 23.7 გამოსახული ვიბრაციული მანქანის მუშა ორგანოს სიმძიმის ცენტრის კოორდინატები შეიძლება განვსაზღვროთ შემდეგი ფორმულით:

$$X = \frac{\sum m_j x_j}{m}; \quad Y = \frac{\sum m_j y_j}{m}, \quad 23.17$$

სადაც  $m_j$  - მუშა ორგანოს ცალკეული ელემენტების მასებია,  $x_j$  და  $y_j$  მათი სიმძიმის ცენტრების კოორდინატები.  $m$  - მუშა ორგანოს მთლიანი მასაა.

მუშა ორგანოს მასის ცენტრის მოძებნის აუცილებლობა განპირობებულია იმ გარემოებით, რომ ვიბრაციის მიმართულება უნდა გადიოდეს აღნიშნულ ცენტრში. წინააღმდეგ შემთხვევაში წარმოიქმნება ძალის მომენტი ამ ცენტრის მიმართ რაც იწვევს ე.წ. გალაპირებას, ანუ წარმოქმნის პარაზიტულ რხევებს, რომლებიც უარყოფით გავლენას ახდენს მანქანის ძირითად მუშა რხევებზე.

## ვიბრაციული მანქანის გაანგარიშების მაგალითი

განვიხილოთ ვიბრაციული მანქანის გაანგარიშების რიცხობრივი მაგალითი. ტიპიურ მაგალითად ავიდოთ ვიბრაციულ ტექნიკაში საკმაოდ გავრცელებული და მრეწველობის მრავალ დრგში გამოყენებული ე.წ. ვიბრაციული მკვებავი. განსახილველ შემთხვევაში ვიბრაციული მკვებავი წარმოადგენს ორმასიან რხევით სისტემას, რომლის მასები დაკავშირებულია ერთმანეთთან რესორების შემცველი დრეკადი ელემენტით. მანქანა დაკიდებულია ზამბარებიან თოხ ამორტიზატორზე. მუშაობის რეჟიმი მკვებავისთვის ავიდოთ რეზონანს-თან ახლოს, რეზონანსის შემდგომი აწყობით.

უპირველეს ყოვლისა უნდა წინასწარ ვიცოდეთ თუ როგორი მწარმოებლობის გვინდა იყოს ვიბრაციული მკვებავი სატრანსპორტო მასალის გგარობიდან გამომდინარე. შატრანსპორტო მასალად შევარჩიოთ ქვიშა, რომლის მოცულობითი წონა  $\gamma = 150 \text{ N/m}^3$ . 22.2 ფორმულაში მწარმოებლობის განსაზღვრისათვის საჭიროა ვიცოდეთ ტრანსპორტირების სიჩქარე, რომელიც თავის მხრივ გამოითვლება 22.1 ფორმულით:

$$V = 4Af \cos \alpha.$$

სიჩქარის ფორმულაში შესარჩევი სიდიდეებია: მუშა ორგანოს რხევის ამპლიტუდა  $A$ . მივიღოთ იგი  $A = 5 \cdot 10^{-3}$  მ სიდიდის ტოლი, მუშა

ორგანოს რხევის სიხშირე  $f$ , რომელიც შეიძლება შევარჩიოთ ნებისმიერი სიდიდის, გამომდინარე ტექნოლოგიური პროცესიდან. გამარტივების მიზნით მკვებავისთვის ავიდოთ

ელექტრომაგნიტური გიბროამძრავი, რომელიც იპვებება ელექტრო ქსელიდან და შესაბამისად მისი რხევის სიხშირე იქნება  $f = 50$  ჰერცი. გიბრაციის მიმართულება, ანუ გიბროამძრავის დახრა პორიზონტალური მუშა ორგანოს მიმართ ავიდოთ  $20^0$ - იანი კუთხით, ანუ  $\alpha = 20^0$ . ამ მონაცემების ჩასმით სიჩქარის ფორმულაში მივიღებთ:

$$V = 45 \cdot 10^{-3} \cdot 50 \cos 20^0 = 0.94 \text{ მ/წმ.}$$

მასალის ტრანსპორტირების სიჩქარის განსაზღვრის შემდეგ შეგვიძლია გიანგარიშოთ ვიბრაციული მანქანის მწარმოებლობა  $22.2$  ფორმულით, თუ ცნობილია სატრანსპორტო ზედაპირზე გადასაადგილებელი მასალის შრის განივავთის ფართობი. შეგვიძლია მოვიქცეთ პირიქით, ანუ, როგორც ზემოთ ავღნიშნეთ, წინასწარ დავგეგმოთ მწარმოებლობა და ვიპოვოთ მასალის განივავეთის ფართობი. თუ მივიღებთ  $Q = 1000 \text{ ნ/სთ}$ , მაშინ  $22.2$  ფორმულიდან

$$S = \frac{Q}{36\gamma V} = \frac{1000}{36 \cdot 150 \cdot 0.376} = 0.2 \text{ ჰ}^2.$$

მუშა ორგანოზე გადასაადგილებელი მასალის განივავთის ფართობის განსაზღვრის შემდეგ  $22.3$  ფორმულიდან შეგვიძლია ვიპოვოთ მუშა ორგანოს ერთერთი გაბარიტული ზომა თუ დავუშებთ მეორეს. დარის ფორმის მუშა ორგანოს შემთხვევაში დაგუშვათ, რომ მისი სიმაღლეა  $H = 0.25 \text{ მ}$ , ხოლო მუშა ორგანოს შევსების კოეფიციენტი ავიდოთ  $K = 0.8$ , მაშინ მივიღებთ, რომ დარის სიგანე იქნება  $B = 1 \text{ მ}$ .

მასალის ტრანსპორტირებისათვის საჭირო სიმძლავრის გამოსათვლელად უნდა ვიცოდეთ მასალის მოცულობითი წონა, რომელიც ერთდროულად იმყოფება მუშა ორგანოს ზედაპირზე. იგი გამოითვლება  $22.4$  ფორმულით. თუ შევარჩევთ მუშა ორგანოს სიგრძეს  $L = 1.0 \text{ მ}$ , მაშინ მასალის წონა იქნება:

$$m_M = H \cdot B \cdot L \cdot \gamma = 0.25 \cdot 1 \cdot 1 \cdot 150 = 37.5 \text{ ნ.}$$

გარდა ამისა, როგორც ძირითად ტექსტში გვქონდა აღნიშნული, ვიბრაციული მანქანის გაანგარიშების დროს მისი რეალური მუშა რეჟიმის დასადგენად საჭირო ხდება გათვალისწინებული იქნას მუშა ორგანოზე ე.წ. მიერთებული მასა. ეს არის სატრანსპორტო მასალის ის ნაწილი, რომელიც ემატება მანქანის აქტიურ მასას. იგი იანგარიშება  $21.3$  ფორმულით. თუ შევარჩევთ მიერთების კოეფიციენტს  $\xi = 0.2$ , რაც შერჩეული მასალისათვის პრაქტიკული გამოცდილებიდან აიღება, მივიღებთ

$$m_b = \xi \cdot m_M = 0.2 \cdot 37.5 = 7.5 \text{ ნ.}$$

შესაბამისად, ვიბროამძრავის მასალის გადასაადგილებლად საჭირო სიმძლავრე  $22.5$  ფორმულის თანახმად იქნება

$$W = 4 \cdot 37.5 \cdot 5 \cdot 10^{-3} \cdot 2 \cdot 3.14 \cdot 50 \cdot 0.34 = 80 \text{ კატი.}$$

რადგან შერჩეული გვაქვს ვიბრომკვებავის მუშაობის რეზონანსული რეჟიმი, მასში აღძრული ინერციის ძალები და დრეკადი აღმდგენი ძალები ერთმანეთს აწონასწორებს და შესაბამისად მიღებული სიმძლავრე სხვა დანახარჯების გაუთვალისწინებლად იხარჯება მასალის ტრანსპორტირებაზე

მთლიანად მკვებავის მუშა რეჟიმისთვის საჭირო სიმძლავრე გადასაღილებელი მასალის შინაგანი წინააღმდეგობის ძალების გაუთვალისწინებლად ტოლი იქნება:

$$W = 4 \cdot 107.5 \cdot 5 \cdot 10^{-3} \cdot 2 \cdot 3.14 \cdot 50 \cdot 0.34 = 230 \text{ ვატი.}$$

ცხადია, თუ გავითვალისწინებთ სხვა წინააღმდეგობის ძალებს, როგორიცაა მასალის გადაადგილების დროს შინაგანი სახუნი, ხახუნი საკონტაქტო ზედაპირებში, პარამეტრის წინააღმდეგობა და სხვა, ვიბრამძრავის საჭირო სიმძლავრე იქნება მეტი.

როგორც აღნიშნული გვქონდა ორმასიანი რხევითი სისტემების რეზონანსზე აწყობის დროს შესაძლებელია მასები იყოს შემდეგი თანაფარდობით:

$$m_a = m_r; \quad m_a \rangle m_r; \quad m_a \langle m_r.$$

21.4 ფორმულის თანახმად პირველ შემთხვევაში მასებს ექნებათ ერთნაირი რხევების ამპლიტუდები, მეორე შემთხვევაში აქტიურ მასას ექნება ნაკლები რხევის ამპლიტუდა, ვიდრე აქტიურს და მესამე შემთხვევაში, პირიქით, აქტიურ მასას ექნება მეტი ამპლიტუდა ვიდრე რეაქტიულს. სამივე თანაფარდობა პრაქტიკულად გამოყენებადია და უკავშირდება მწარმოებლობას. დიდი მწარმოებლობისათვის რეკომენდებულია მესამე თანაფარდობა, ხოლო მცირე მწარმოებლობისათვის – მეორე.

შევარჩიოთ მასები მეორე თანაფარდობიდან და ავიდოთ ისინი  $m_a = 30$  კგ,  $m_r = 40$  კგ. რადგან მუშა ორგანოს ამპლიტუდა უკვე შერჩეული გვაქვს, ანუ  $A_a = 5 \cdot 10^{-3}$  მ, 21.4 ფორმულიდან ვიანგარიშებთ რეაქტიული მასის ამპლიტუდას

$$A_a = \frac{m_a A_a}{m_r} = \frac{30 \cdot 5 \cdot 10^{-3}}{40} = 3.75 \cdot 10^{-3} \text{ მ.}$$

საჭაერო დრეჩო, რომელიც საჭიროა მასების რხევების ამპლიტუდების ამოსაგსებად იანგარიშება 20.5 გამოსახულებით. შესაბამისად

$$b \approx A_a + A_r = 5 \cdot 10^{-3} + 3.75 \cdot 10^{-3} = 8.75 \cdot 10^{-3} \langle b,$$

$$\text{ანუ } \text{საჭაერო } \text{დრეჩო } \text{მივიღოთ } b = 10 \cdot 10^{-3} \text{ მ-ს } \text{ტოლი.}$$

რეზონანსულ რეჟიმში, როდესაც  $\omega = \omega_0$ , 23.1 ფორმულის თანახმად, დრეკადი სისტემის სიხისტე ტოლი იქნება:

$$c = (2\pi f)^2 \frac{m_a m_b}{m_a + m_b} = (2 \cdot 3.14 \cdot 50)^2 \frac{30 \cdot 40}{30 + 40} = 1690217 \text{ ნ/გ.}$$

ჩვენ გვინდა, რომ ვიბრაციული მკვებავის მუშაობის რეჟიმი იყოს რეზონანსის შემდგომი, ანუ  $\frac{\omega}{\omega_0} > 1$ . ავიღოთ ეს თანაფარდობა იყოს 1.2-ს ტოლი. სიდანაც  $\omega_0 = \frac{\omega}{1.2}$ .

შესაბამისად დრეკადი სისტემის სიხისტე ტოლი იქნება:

$$c = \left( 2 \cdot 3.14 \cdot \frac{50}{1.2} \right)^2 \frac{30 \cdot 40}{30 + 40} = 1173463 \text{ ნ/გ.}$$

იმისათვის, რომ საბოლოოდ დავაზუსტოთ სიხისტის მნიშვნელობა საჭიროა გავითვალისწინოთ მიერთებული მასა, ანუ დაგუმატოთ იგი აქტიურ მასას. რადგან მიერთებული მასა

$m_b = 7.5$  ნ, ჯამური მასა  $21.2$  ფორმულის თანახმად  
 $m_{ab} = m_a + m_b = 30 + 7.5 = 37.5$  ნ, შესაბამისად:

$$c = \left( 2 \cdot 3.14 \cdot \frac{50}{1.2} \right)^2 \frac{37.5 \cdot 40}{37.5 + 40} = 1325215 \text{ ნ/გ.}$$

შევირჩიოთ ბრტყელი რესორის სტანდარტული ზომები:  
სიგანგ  $b=0.06$  მ, სისქე  $a=8 \cdot 10^{-3}$  მ და თავისუფალი სიგრძე  $L_a=1.0$  მ. ჩამაგრების კოეფიციენტი  $\lambda$  ავიდოთ  $1.1$  – ის ტოლი, ანუ  $\lambda = 1.1$ . დრეკადობის მოდული ფოლადისათვის შეადგენს  $E=2.1 \cdot 10^{11}$  ნ/მ<sup>2</sup>. აღნიშნული სიდიდეების ჩასმით  $23.9$  გამოსახულებაში ვიანგარიშებთ რესორების რაოდენობას:

$$n = \frac{c(L_a \lambda)^3}{16Ea^3b} = \frac{1325215 \cdot (1.0 \cdot 1.1)^3}{16 \cdot 2.1 \cdot 10^{11} \cdot 8^3 \cdot 10^{-9} \cdot 0.06} = 17.1,$$

მივიღოთ რესორების რაოდენობა იყოს  $n = 17$ .

23.10 გამოსახულების თანახმად რესორებში ძაბვები ტოლი იქნება:

$$\sigma = \frac{12AaE}{(L_a \lambda)^3} = \frac{12 \cdot 5 \cdot 10^{-3} \cdot 8 \cdot 10^{-3} \cdot 2.1 \cdot 10^{11}}{(1.0 \cdot 1.1)^3} \approx 76 \cdot 10^6 \text{ ნ/მ}^2,$$

რაც ნაკლებია ფოლადისთვის დასაშვებ ძაბვაზე,  $[\sigma] = 10 \cdot 10^8$  ნ/მ<sup>2</sup>.

ვიბროამძრავის წევის ძალის საანგარიშოდ გამოვიყენოთ 3.10 განტოლება, საიდანაც:

$$F = cA \left( 1 - \frac{\omega^2}{\omega_0^2} \right) = 1325215 \cdot 5 \cdot 10^{-3} \cdot \left( 1 - \frac{1}{1.2} \right) = 1104 \text{ ნ.}$$

დრეკად ამორტიზატორების შევარჩიოთ ზამბარებიანი ამორტიზატორები, მათი რაოდენობა კი ავიდოთ 4. ზამბარების საკუთარი სიხშირე უნდა გაცილებით ნაკლები იყოს ძირითად მუშა სიხშირეზე. ავიდოთ  $f_0 = 4$  ჰერც, ანუ  $\omega_0 = 2\pi f_0 = 25.12$  რად/წ. გარდა ამისა საანგარიშოდ საჭიროა ვიცოდეთ მანქანის მთლიანი მასა

$$m = m_M + m_W + m_F = 37.5 + 30 + 40 = 107.5 \text{ ნ.}$$

ამ მონაცემებით 23.12 ფორმულიდან ზამბარების ჯამური სიხისტე უდრის:

$$C_4 = m\omega_0^2 = 107.5 \cdot 25.12^2 = 67834 \text{ ნ/გ.}$$

ერთი ზამბარის სიხისტე კი უდრის:

$$C_1 = \frac{C_4}{n} = \frac{67834}{4} = 16958 \text{ ნ/გ.}$$

შევარჩიოთ ზამბარის პარამეტრები. ხვის დიამეტრი  $d = 1 \cdot 10^{-3}$  მ, ზამბარის საშუალო დიამეტრი  $D = 1 \cdot 10^{-2}$  მ, მაშინ 21.14 ტოლობიდან ვიპოვით მუშა ხვისტის რაოდენობას, ანუ:

$$i = \frac{Gd^4}{8C_1 D^3} = \frac{8.5 \cdot 10^{11} \cdot 1 \cdot 10^{-12}}{8 \cdot 16958 \cdot 1 \cdot 10^{-6}} = 6.3,$$

მივიღოთ  $i = 6$ .

ზამბარის დეფორმაციის განსასაზღვრავად ჯერ ვიპოვოთ რეაქცია 23.11 ფორმულიდან. მასში შემავალი მასები უკვე ცნობილია. გეომეტრიული ზომები კი მიიღება მთლიანად

მუშა ორგანოსა და ვიბროამძრავის ზომების დაღვენის შემდეგ. ჩვენს შემთხვევაში ავირჩოთ ისინი შემდეგი მნიშვნელობებით:  
 $a = 0.4$  გ,  $b = 0.1$  გ,  $c = 0.3$  გ,  $d = 0.2$  გ. რიცხვითი სიდიდეების ჩასმით  
 23.11 ფორმულაში მივიღებთ:

$$R_A = \frac{m_w c + m_M(c-b) - m_F(a-c)}{2(c+d)} = \frac{300.3 + 375(0.3-0.1) - 4(0.4-0.3)}{2(0.3+0.2)} = 126.$$

$$R_B = \frac{m_F(a+d) + m_M(b+d) + m_w d}{2(c+d)} = \frac{4(0.4+0.2) + 375(0.1+0.2) + 300.2}{2(0.3+0.2)} = 416$$

ზამბარის დეფორმაცია  $\rho$  უდრის:

$$\rho_1 = \frac{R_A}{C_1} = \frac{12}{16958} = 7 \cdot 10^{-4} \text{ გ}, \quad \rho_2 = \frac{R_B}{C_1} = \frac{41}{16958} = 2.4 \cdot 10^{-3} \text{ გ}.$$

ძაბვა ზამბარაში ტოლი იქნება:

$$\tau_1 = \frac{8D\rho_1 C_1}{\pi d^3} = \frac{8 \cdot 1 \cdot 10^{-2} \cdot 7 \cdot 10^{-4} \cdot 16958}{3.14 \cdot (1 \cdot 10^{-3})^3} = 3 \cdot 10^8 \text{ გ/გ}^2 \langle [\tau] \rangle.$$

$$\tau_2 = \frac{8D\rho_2 C_1}{\pi d^3} = \frac{8 \cdot 1 \cdot 10^{-2} \cdot 2.4 \cdot 10^{-3} \cdot 16958}{3.14 \cdot (1 \cdot 10^{-3})^3} = 10 \cdot 10^8 \text{ გ/გ}^2 \langle [\tau] \rangle.$$

## გამოყენებული ლიტერატურა

1. პ. წელაია. რხევების გამოყენებითი თეორია. “ტექნიკური უნივერსიტეტი”. თბილისი, 2003. 96 გვ.
2. С.П. Тимошенко. Колебания в инженерном деле. Наука. Москва. 1967. 442 стр.
3. Вибрации в технике. Т.4. М. Машиностроение. 1981. 510 стр.
4. И.Ф. Гончаревич, П.А. Сергеев. Вибрационные машины в строительстве. Машгиз. Москва. 1984. 312 стр.

## ს ა რ ჩ ე ვ ი

შესავალი. . . . .	3
<b>I. რხევითი სისტემების თეორიის საფუძვლები და გაანგარიშების მეთოდები</b>	
§1. ერთი თავისუფლების ხარისხის მქონე ვიბრაციული სისტე- მების თავისუფალი რხევები. . . . .	6
§2. ვიბრაციული სისტემებში თავისუფალი რხევების ჩაქრობა სიჩქარის პროპორციული წინააღმდეგობის ძალების მოქმედების დროს. . . . .	14
§3. ვიბრაციული სისტემების იძულებითი რხევები . . . . .	29
§4. ვიბრაციული სისტემების იძულებითი რხევები დემპფირ- ბით . . . . .	37
§5. ორი თავისუფლების ხარისხის მქონე ვიბრაციული სისტემე- ბის თავისუფალი რხევები. . . . .	42
§6. ორი თავისუფლების ხარისხის მქონე ვიბრაციული სისტემე- ბის იძულებითი რხევები. . . . .	46
§7. ორი თავისუფლების ხარისხის მქონე ვიბრაციული სისტემე- ბის იძულებითი რხევები სიჩქარის პროპორციული წინააღმდე- გობის ძალების მოქმედების დროს. . . . .	50
§8. სამი თავისუფლების ხარისხის მქონე ვიბრაციული სისტემების თავისუფალი რხევები. . . . .	56
§9. არაწრფივი ვიბრაციული სისტემები ერთი თავისუფლების ხარისხით. . . . .	61
§10. ვიბრაციული სისტემების რხევები, რომელთა დრეკადობის მახასიათებელი შედგება ცალკეული წრფივი უბნებისაგან. . . . .	67

§11. ვიბრაციული არაწრფივი სისტემების იძულებითი რხევები	72
§12. ვიბრაციული სისტემების პარამეტრული რხევები . . . . .	80
§13. ვიბრაციული სისტემების ავტორჩევები . . . . .	89
§14. განაწილებული პარამეტრების მქონე ვიბრაციული სისტემების რხევები . . . . .	96
<b>II. ვიბრაციული მანქანების თეორიის საფუძვლები და გაანგარიშების მეთოდები</b>	
§15. ვიბრაციული სატრანსპორტო მანქანების მუშაობის პრინციპი და კლასიფიკაცია . . . . .	103
§16. ვიბრაციული მანქანები მშენებლობაში. . . . .	111
§17. ვიბრაციული მანქანების ამძრავები . . . . .	114
§18. ელექტრომაგნიტური ვიბრატორების კონსტრუქციები. . . . .	124
§19. ვიბრაციული მანქანები ერთი თავისუფლების ხარისხით. . . . .	134
§20. ვიბრაციული მანქანები ორი თავისუფლების ხარისხით. . . . .	139
§21. ვიბრაციული მანქანის აწყობა რეზონანსულ რეჟიმში. . . . .	144
§22. ვიბრაციული მანქანების ტექნოლოგიური პარამეტრების განსაზღვრა . . . . .	149
§23. დრეკადი სისტემის პარამეტრების განსაზღვრა . . . . .	152
ცილინდრული ზამბარების გაანგარიშება. . . . .	155
ბრტყელრესორული დრეკადი სისტემის გაანგარიშება. . . . .	159
ვიბრომანქანის დაკიდების ამორტიზორების გაანგარი შება. . . . .	163
ვიბრაციული მანქანის მუშა ორგანოს მასის ცენტრის განსაზღვრა . . . . .	167
ვიბრაციული მანქანის გაანგარიშების მაგალითი. . . . .	168